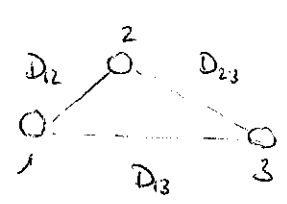
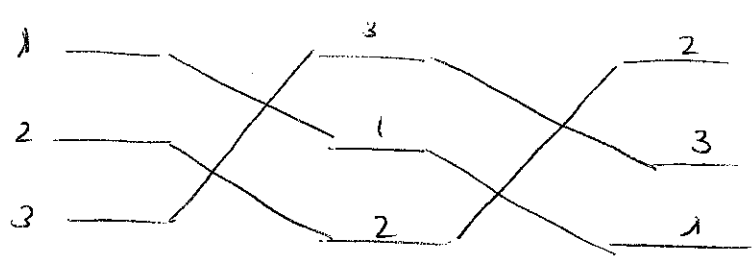


Tema 1  
Tutela de la línea



Produce un desequilibrio, autógicamente se recorta a una transposición de líneas. Practicamente la longitud de la línea en su totalidad en las partes iguales, permitiendo las líneas a cualquier que se equilibren.



Se hizo un error, en la parte de la línea se realiza la transposición que para apoyar nos ayuda incluso que los de cualquier, con lo que se asegura la estabilidad. Dado a realizar la transposición se produce un disturbio en forma de ondas que afectan a la comunicación.

Se produce de las transposiciones porque son puros y los coros conductores están desequilibrados.

La inductancia global se calcula:

$$L = \frac{\mu_0 \mu_r}{2\pi} \ln \frac{D_{eq}}{D_s}$$

Distancia media geométrica entre los conductores.

$$D_{eq} = \sqrt[3]{D_{12} \cdot D_{23} \cdot D_{31}}$$

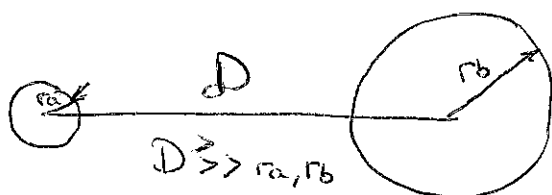
$$D_s = \begin{cases} \text{Simplex} : r' \\ \text{dúplex} : \sqrt{r' \cdot d} \\ \text{tríples} : \sqrt[3]{r' \cdot d^2} \\ \text{Cuadrúples} : \sqrt[4]{r' \cdot d^3} \end{cases}$$

Prácticos longitudinales, resistencia e inductancia.

Prácticos entre la línea y la tierra, transversales, el primer es la capacidad.

### Capacitancia

#### Línea asintótica (dos conductores)



$q$  : carga por unidad de longitud.

$$C_{ab} = \frac{q}{U_{ab}} = \frac{2\pi\epsilon}{\ln \frac{D^2}{r_a \cdot r_b}} \quad (\text{F/m})$$

En el caso de dos radios iguales. ( $r_a = r_b$ )

$$C_{ab} = \frac{\pi\epsilon}{\ln \frac{D}{r}} \quad (\text{F/m})$$

$\epsilon$  : constante dieléctrica, o permittividad del medio.

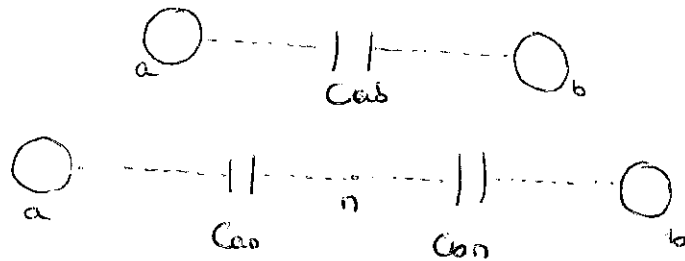
$$\epsilon = \epsilon_0 \cdot \epsilon_r$$

$\epsilon_0$  : Constante dieléctrica del vacío:  $8,85 \cdot 10^{-12} \text{ F/m}$

$\epsilon_r$  : Constant dieléctrica relativa del medio respecto del vacío.

$\epsilon_r$  : 1,00054 para el aire seco en la práctica se toma 1.

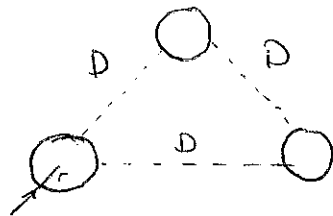
Se define la capacidad, a un punto neutro, a un punto fijo entre los dos conductores, y la capacidad total del conductor puede calcularse como la capacidad de  $C_{an}$  en serie con  $C_{nb}$ , el punto "n" siempre en el centro



$$C_{an} = C_{nb} = \frac{2\pi\epsilon}{\ln \frac{D}{r}} \text{ (F/m)} \quad (C_{an} = C_{nb} = 2C_{ab})$$

Capacidades al neutro de instalaciones trifásicas.

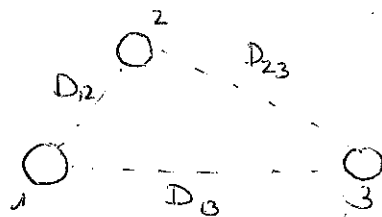
Línea trifásica, en triángulo equilateral



Con los tres conductores iguales.

$$C_n = \frac{2\pi\epsilon}{\ln \frac{D}{r}} \text{ (F/m)}$$

Línea trifásica en disposición asimétrica, transversa

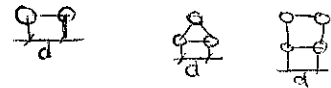


$$C_n = \frac{2\pi\epsilon}{\ln \frac{D_{eq}}{r}}$$

$$D_{eq} = \sqrt{D_{12} \cdot D_{23} \cdot D_{13}}$$

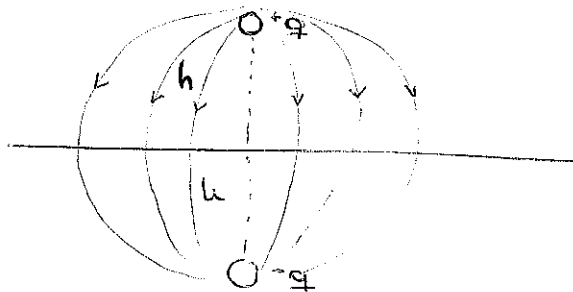
Cuando cada una de las fajas está compuesta por un  
un conductor.

$$C_n = \frac{2DE}{\ln \frac{D_{eq}}{\sqrt{r \cdot d}}}$$



### El efecto de la tierra

En estas expresiones estamos despreciando el efecto de la tierra, en  
líneas de voltaje donde el efecto de la tierra es importante por  
estar a menor altura 2' que en un lugar el cable de este  
efecto. sabemos que la tierra es una superficie equipotencial  
de la que parten perpendicularmente las líneas del campo  
eléctrico y que por tanto neutraliza el campo eléctrico  
producido por la línea.



Se invoca en el cable a una potencial  $V_0$  en el cable  
la carga  $q$  que crea la línea por de que  
contiene. Se obtiene utilizando el método de las potenciales  
de Maxwell.

## Conductancia

Es un efecto transversal, tiene en cuenta una pérdida de potencia activa en la línea, debido no a la corriente principal que circula por la línea, sino, debido a otros efectos.

(La resistencia es la principal causa de pérdida activa) pero existen otros dos causas de pérdida de potencia activa, el aislamiento no perfecto y el otro es por el efecto corona, cada uno de estos fenómenos lleva asociada una conductancia. La conductancia de aislamiento de las líneas, porque los aisladores no son perfectos. También hay entre la  $U$  y el aire muy pequeñas

$$G = \frac{P_g / l}{U^2} \quad \text{formulas no.}$$

Se realiza mediante ensayo

$P_g$ : pérdida de potencia activa debido al aislamiento

$l$ : longitud de la línea

$U$ : tensión de la línea

Según se ve en la consideración en línea con tensiones nominales superiores a 120 kV en instalaciones por debajo de desprecia

$S = \text{Siemens}$

$$G \begin{cases} a) 1 \sim 10 \cdot 10^{-8} \text{ S/km (tor fase) susiente sea} \\ b) 30 \cdot 10^{-8} \text{ S/km susiente línea.} \end{cases}$$

## efecto corona fórmula

El campo eléctrico ioniza el aire produciendo corona en torno al conductor produciendo una corona, factor auditive.

$$P_c = \frac{244}{\delta} (f + 25) \sqrt{\frac{r}{d}} (u - u_c)^2 \cdot 10^{-3}$$

$P_c$ : Perdida de potencia activa debida al efecto corona por unidad de longitud  $\text{KW/km}$

$u$ : tensión nominal simple. (de fase) en  $\text{kV}$

$u_c$ : tensión crítica del efecto corona en  $\text{kV}$

$f$ : frecuencia  $\text{Hz}$

$r$ : radio del conductor  $\text{cm}$

$d$ : distancia entre centros de conductores

$\delta$ : factor de densidad del aire.

$$u_c = 21,2 \cdot k_1 \cdot k_2 \cdot \delta \cdot r \cdot 2,3 \cdot \lg \frac{d}{r}$$

$k_1$ : factor de rugosidad del conductor (0,93-0,98)

$k_2$ : factor de colección (0,8-0,84)

$\delta$ : factor de densidad del aire

$$\delta = \frac{(273 + 20) \cdot P}{(273 + t) \cdot 760}$$

$P$ : Presión barométrica en  $\text{mmHg}$

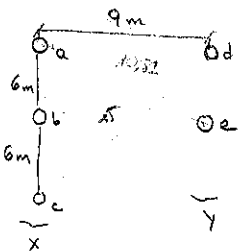
$t$ : temperature en  $^{\circ}\text{C}$

$n$ : factor meteorológico. toma el valor de 1 en tiempo seco y queda ir bajando hasta un valor de 0,8 en condiciones, de lluvia, nebl, u'ible.

# Problema 1

medio peritica.

monofásica  $\varnothing 0,25 \text{ cm}$   
 $\varnothing 0,5 \text{ cm}$



$$L = L_x + L_y$$

$$L_x = \frac{\mu_0}{2\pi} I_n \frac{D_m}{D_s} = 6,21 \cdot 10^{-7} \quad L_y = \frac{\mu_0}{2\pi} I_n \frac{D_m}{D_s} = 8,5 \cdot 10^{-7} \text{ H/m}$$

$D_m \rightarrow$  distancia media geométrica entre  $x$ .

$$D_m = \sqrt[6]{D_{ad} \cdot D_{ae} \cdot D_{bd} \cdot D_{be} \cdot D_{cd} \cdot D_{ce}} = \sqrt[6]{9 \cdot \sqrt{117} \cdot \sqrt{117} \cdot 9 \cdot 15 \cdot \sqrt{117}} = 10,74 \text{ m}$$

$D_s \rightarrow$  radio uniaxial peritica.

es el mismo en ambos.

$$D_{sx} = \sqrt[3]{D_{aa} \cdot D_{ab} \cdot D_{ba} \cdot D_{bb} \cdot D_{ca} \cdot D_{cb} \cdot D_{cc}} = 0,481 \text{ m}$$

$$D_{sy} = \sqrt[3]{D_{dd} \cdot D_{dc} \cdot D_{cd} \cdot D_{cc}} = 0,153 \text{ m}$$

Problema 2

Impedancia serie (Impedancia longitudinal)



$\phi = 14 \text{ mm}$

$R = 0,3066 \Omega/\text{km}$

$\mu_0 = 4\pi \cdot 10^{-7} \text{ H/m}$

(inductancia)

$$L = \frac{\mu_0 \ln}{2\pi} \frac{D}{D_s} = \frac{4\pi \cdot 10^{-7}}{2\pi} \ln \frac{2}{5,45 \cdot 10^{-3}} = 11,809 \cdot 10^{-7} \text{ H/m}$$

$D_s = r = r \cdot e^{-1/4} =$

$D_s = 7 \cdot e^{-1/4} = 5,15 \cdot 10^{-3} \text{ m}$

$\tilde{Z} = R + Xj$

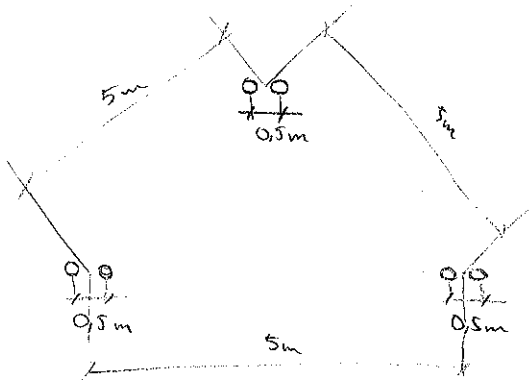
$X = L\omega = L2\pi f$

$X = 0,3710 \Omega/\text{km}$

pas. de inductancia a impedancia.

$Z = 0,3066 + 0,3710j \Omega/\text{km}$

### Problema 3



Linea

$$l = 200 \text{ km}$$

$$2000/\text{km} \quad r = 13,86 \text{ m}\Omega$$

$$R = 0,0748 \Omega/\text{km}$$

$$d = 0,5 \text{ m}$$

$$D = 5 \text{ m}$$

Resistencia

de conductores

$$R_{ca} = R_{cc} \left( 1 + \frac{1}{2} + \frac{1}{2} \right)$$

$\frac{1}{2}$  efecto piel

$$R_{ca} = 0,0748 \cdot 10^{-3} \Omega/\text{m}$$

La resistencia por fase es la mitad porque están en paralelo.

$$R_{ca, 200 \text{ km}} = \frac{15,1769 \Omega}{2} = 7,88 \Omega$$

$$C = \frac{\epsilon_0}{2\pi} \ln \frac{D}{D_s} = \frac{4\pi \cdot 10^{-9}}{2\pi} \ln \frac{5}{0,07346} = 8,4407 \cdot 10^{-9} \text{ F/m}$$

$$D_s = \sqrt{r \cdot d} = \sqrt{r \cdot e^{-1/4} \cdot 0,5} = 0,07346 \text{ m}$$

$$L_{200 \text{ km}} = 0,1688 \text{ H}$$

$$X = 6 \cdot 2\pi f$$

$$C_n = \frac{2\pi \epsilon}{\ln \frac{D_{eq}}{\sqrt{rd}}} = 1,3577 \cdot 10^{-11} \text{ F/m} \times 200.000 = 2,72 \text{ nF}$$

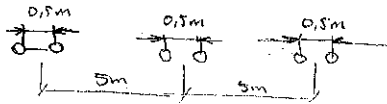
Hayle eskete samu leah. O apocin ovintra

# Problema 4

longitud 150 km

$$d = 30,42 \text{ mm} \quad r = \frac{30,42}{2} = 15,21 \text{ mm}$$

$$R' = 0,0506 \text{ } \Omega/\text{km}$$



$$\mu = 4\pi \cdot 10^{-7} \text{ H/m}$$

$$\epsilon = 8,85 \cdot 10^{-12} \text{ F/m}$$

## Resistencia

$$R_{CA} = R_{CC} (1 + \cancel{\gamma_s} + \cancel{\gamma_p}) = 0,0506 \text{ } \Omega/\text{km}$$

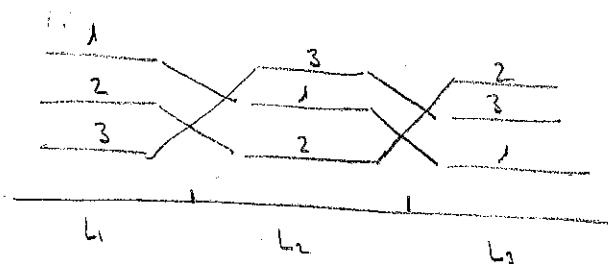
$$R_{CA,150\text{km}} = 0,0506 \text{ } \Omega/\text{km} \cdot 150 \text{ km} = 7,59 \text{ } \Omega$$

$$\frac{1}{R_T} = \frac{1}{R_{CA,150\text{km}}} + \frac{1}{R_{CA,150\text{km}}} \Rightarrow \frac{1}{R_T} = \frac{2}{R_{CA,150\text{km}}} \Rightarrow R_{CA,150\text{km}} = 2R_{T,150\text{km}} \Rightarrow R_{T,150\text{km}} = \frac{R_{CA,150\text{km}}}{2}$$

$$R_{T,150\text{km}} = \frac{7,59 \text{ } \Omega}{2} = 3,795 \text{ } \Omega$$

## Inductancia

Se dice que una línea está perfectamente transpuesta si los conductores son iguales.



$$\left. \begin{aligned} L_1 &= L_2 = L_3 = L \\ L_1 + L_2 + L_3 &= 150 \text{ km} \end{aligned} \right\} L = 50 \text{ km}$$

$$L = \frac{\mu}{2\pi} \ln \frac{D}{D_s}$$

$$D_s = r e^{-1/4} = 15,21 \cdot e^{-1/4} = 11,84 \text{ mm} \cdot \frac{1}{1000 \text{ mm}} = 0,0118 \text{ m}$$

$$D_{12} = D_{23} = 5 \text{ m}$$

$$D_{13} = 10 \text{ m}$$

$$D = \sqrt[3]{5 \cdot 10 \cdot 5} = 6,2996 \text{ m}$$

$$L = \frac{4\pi \cdot 10^{-7}}{2\pi} \ln \frac{6,2996}{0,0118} = 12,56 \cdot 10^{-7} \text{ H/m}$$

$$L_{100 \text{ km}} = \frac{12,56 \cdot 10^{-7} \text{ H}}{1 \text{ m}} \cdot \frac{1000 \text{ m}}{1 \text{ km}} \cdot 100 \text{ km} = 0,1256 \text{ H}$$

Reactancia inductiva

$$X_L = \omega \cdot L = 2\pi \cdot f \cdot L = 2\pi \cdot 50 \cdot 0,1256 = 39,4784 \Omega$$

Capacitad

$$C_n = \frac{2\pi \cdot \epsilon}{\ln \frac{D_{eq}}{r}} = \frac{2\pi \cdot \epsilon}{\ln \frac{D_{eq}}{r_{ca}}}$$

$$D_{eq} = \sqrt[3]{D_{12} \cdot D_{13} \cdot D_{23}} = \sqrt[3]{5 \cdot 10^{-5}} = 6,2996 \text{ m}$$

$$C_n = \frac{2\pi \cdot 8,85 \cdot 10^{-12}}{\ln \frac{6,2996}{\sqrt{15,21 \cdot 10^{-3} \cdot 0,5}}} = \frac{2\pi \cdot 8,85 \cdot 10^{-12}}{4,2799} = 12,99 \cdot 10^{-12} \text{ F/m}$$

$$\frac{12,99 \cdot 10^{-12} \text{ F}}{1 \text{ m}} \cdot \frac{1000 \text{ m}}{1 \text{ km}} \cdot 100 \text{ km} = 1,299 \text{ } \mu\text{F}$$

# Tema 3

## Modelos de líneas

### 1. Introducción

Atendiendo a la longitud de la línea nos vamos a encontrar.

- a) líneas largas  $\rightarrow l \geq 150 \text{ km}$
- b) líneas medias  $\rightarrow 40 \text{ o } 150 \text{ km}$
- c) líneas cortas  $\rightarrow l \leq 30 \text{ km}$

Cada uno de estos tipos de líneas los vamos a modelar de forma distinta.

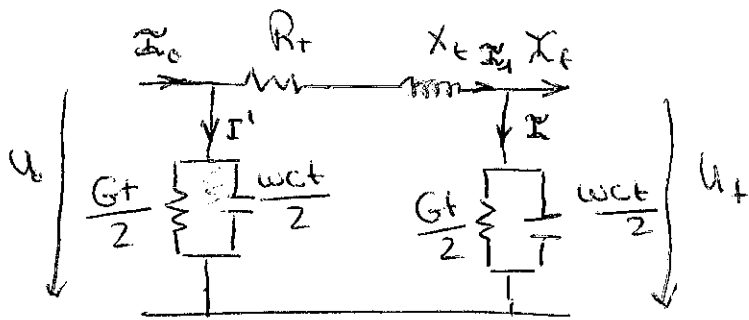
Las líneas de  $\geq 150 \text{ km}$  vamos a modelarlas en promedio distribuidas, y el efecto va está concentrado sino distribuido a lo largo de toda la línea.

Las líneas medias las modelaremos con un serie de promedios concentrados.

Las líneas cortas las modelaremos con promedios concentrados simplificados, dando de precisión la transversales y unas veces precisaremos de la resistencia frente a la reacción.

## 2. Modelos con parámetros concentrados.

### Modelo en $\pi$



Condutancia lateral  $\frac{G_t}{2}$

Susceptancia lateral  $\frac{\omega C_t}{2}$

} los potivos en los y ademas se al final  
y otro al principio de la linea

Los valores a seleccionar con una serie de matrices, matriz del cuadripolo.

$$\begin{bmatrix} U_0 \\ I_0 \end{bmatrix} = \begin{bmatrix} \quad \\ \quad \end{bmatrix} \cdot \begin{bmatrix} U_f \\ I_f \end{bmatrix}$$

Buscamos la matriz que relacione las magnitudes a la entrada con la salida.

Para ello usamos las leyes de Kirchhoff

aplicando la segunda ley de Kirchhoff

$$U_0 = U_f + Z_t \cdot I_L \quad \text{Siendo } Z_t = R_t + jX_t$$

$$I_L = I_f + I'' = I_f + U_f \frac{1}{Z_t} \quad \left. \begin{array}{l} \text{admitancia} \\ \frac{Y_t}{2} = \frac{G_t + j\omega C_t}{2} \end{array} \right\}$$

$$I_0 = I' + I_L =$$

$$U_0 = U_f + Z_t \left( I_f + U_f \frac{Y_t}{2} \right) = Z_t \cdot I_f + U_f \left( 1 + \frac{Z_t \cdot Y_t}{2} \right)$$

$$I_0 = U_0 \cdot \frac{1}{Z_t} + I_f + U_f \cdot \frac{Y_t}{2} = I_f + \frac{Y_t Z_t}{2} + U_f \left( \frac{Z_t \cdot Y_t^2}{2} \right) +$$

$$I_f + Y_f \cdot \frac{Y_t}{2}$$

$$= I_f \left( \frac{Y_t \cdot Z_t}{2} + 1 \right) + U_f \left( \frac{Z_t \cdot Y_t^2}{4} + Y_t \right)$$

Pues los expresamos en forma matricial.

$$\begin{bmatrix} U_o \\ I_o \end{bmatrix} = \begin{bmatrix} A & B \\ C & D \end{bmatrix} \cdot \begin{bmatrix} U_t \\ I_t \end{bmatrix}$$

$$A = 1 + \frac{Z_t \cdot Y_t}{2}$$

$$C = \frac{Z_t \cdot Y_t^2}{4} + Y_t$$

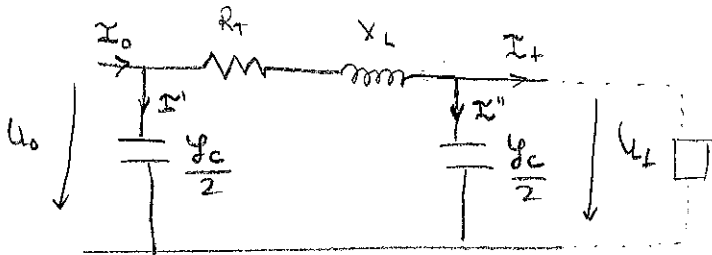
$$B = Z_t$$

$$D = \left( \frac{Y_t \cdot Z_t}{2} + 1 \right)$$

Se descomponen constantes complejas del modelo en  $\pi$  en realidad son tres porque A y D son iguales.

### Problema

Tenemos una línea trífase de 220 kV con tensión nivel de línea, tiene una longitud de 100 km y sus parámetros por unidad de longitud son:  $R = 0,072 \Omega/\text{km}$ ;  $X = 0,42 \Omega/\text{km}$  y  $Y_c = 2,64 \cdot 10^{-6} \text{ S}/\text{km}$  (WCA) y la conductancia se desprecia. Esta línea alimenta un ape que consume una potencia que consume  $S_f = 75 \text{ MVA}$  con un factor de potencia  $\cos \varphi = 0,8$ . Calcular:  $U_o$ ,  $I_o$ ,  $P_o$ ,  $Q_o$ ,  $S_o$ ,  $\cos \varphi_o$ ,  $\Delta P$ . Trabaja con un modelo en  $\pi$ .



$$U_t = \frac{220 \cdot 10^3}{\sqrt{3}} \angle 0^\circ \quad \text{Asignamos ángulo } 0^\circ$$

teniendo en cuenta

$$I_t = ? \rightarrow S_f = \sqrt{3} \cdot U_{t,c} \cdot I_t$$

$$I_t = \frac{S_f}{\sqrt{3} \cdot U_{t,c}} = \frac{75 \cdot 10^6}{\sqrt{3} \cdot 220 \cdot 10^3} = 196,8 \text{ A}$$

$$I_t = 196,8 \angle -36,87^\circ \quad \leftarrow \cos 0,8$$

$$\lambda = 1 + \frac{Z_t \cdot I_t}{2}$$

$$Z_t = R_t + j X_t = 0,072 \frac{\Omega \cdot 100}{\text{km}} + 0,42 \frac{\Omega}{\text{km}} \cdot 100 \text{ km} = 7,2 + 42j = 42,61 \angle 80,27^\circ$$

esd aguda, 90°

$$\lambda = 1 + \frac{42,61 \angle 80,27^\circ \cdot 2,64 \cdot 10^{-6} \cdot 100}{2} = 1,0056 \angle 170,29^\circ$$

$$B = 42,61 \angle 80,27^\circ$$

$$C = \frac{Z_t \cdot I_t^2}{4} + P_t$$

testán simple en cabesto de U<sub>0</sub> 130 y P<sub>0</sub>.

$$U_0 = 132,5 \cdot 10^3 \angle 2,5^\circ$$

$$I_0 = 177,71 \angle -28,15^\circ$$

testán del vectorio  
en rústica

$$S_0 = U_0 \cdot I_0^* \text{ (conjugado de } I_0)$$

$$\begin{cases} P_0 \text{ real} \rightarrow 3 \cdot \text{watts} = 60,73 \text{ MW} \\ Q_0 \text{ imaginario} \rightarrow 3 \cdot \text{varios} = 36,05 \text{ MVAR} \\ S_0 \rightarrow 3 \cdot \text{watts} = 70,6 \text{ MVA} \end{cases}$$

$$\cos \varphi = \frac{P_0}{S_0} = 0,86$$

$$\Delta P = P_0 - P_t = 60,73 - 75 \cdot 0,8 = 730 \text{ W}$$

MVA · cos φ

$$e = \frac{\epsilon_t \cdot C^2}{4} + \varphi_t = \frac{42,61 \angle 80,27^\circ \cdot (2,64 \cdot 10^{-6})^2}{4} + 2,64 \cdot 10^{-6} \angle 90^\circ = 7,4244 \cdot 10^{-11} \angle 27^\circ + 2,64 \cdot 10^{-6} \angle 90^\circ =$$

$$\left( -1,2548 \cdot 10^{-11} - 7,317 \cdot 10^{-11} j \right) + \left( 2,64 \cdot 10^{-6} \angle 90^\circ \right) = \left( -1,2548 \cdot 10^{-11} + 2,6439 \cdot 10^{-6} j \right) = 2,643 \angle 90^\circ$$

$$D = 1,0056 \angle 170,27^\circ$$

$$\begin{bmatrix} U_0 \\ I_0 \end{bmatrix} = \begin{bmatrix} 1,0056 \angle 170,27^\circ & 42,61 \angle 80,27^\circ \\ 2,643 \cdot 10^{-6} \angle 90^\circ & 1,0056 \angle 170,27^\circ \end{bmatrix} \begin{bmatrix} U_t \\ I_t \end{bmatrix}$$

$$U_0 = 1,0056 \angle 170,27^\circ \cdot U_t + 42,61 \angle 80,27^\circ I_t$$

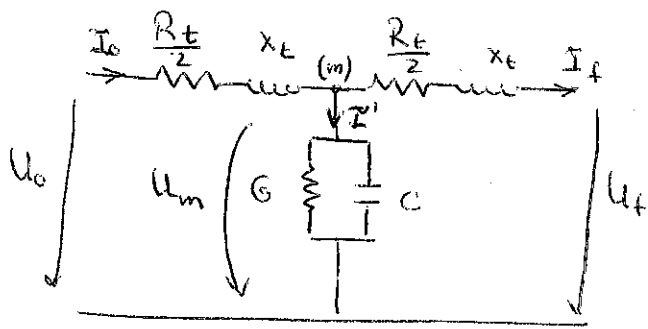
$$I_0 = 2,643 \cdot 10^{-6} \angle 90^\circ \cdot U_t + 1,0056 \angle 170,27^\circ I_t$$

$$U_0 = 1,0056 \angle 170,27^\circ \cdot 127 \angle 0^\circ + 42,61 \angle 80,27^\circ \cdot 196,8 \angle -36,27^\circ = 127,72 \angle 170,27^\circ + 8325,84 \angle 43,4^\circ =$$

$$\left( -127,88 + 21,58 j \right) + \left( 6092,79 + 5761,66 j \right) = \left( 5964,91 + 5783,24 j \right) = 7956,28 \angle 46,62^\circ$$



# Modelo en T



Aplicamos la segunda ley de Kirchhoff

$$U_0 = U_f + I_0 \left( \frac{1}{2} Z_t \right) + I_f \left( \frac{1}{2} Z_t \right)$$

$$I_0 = I_f + \underbrace{U_m \cdot Y_t}_{I'}$$

Substituye  $I_0$  en  $U_0$

$$U_0 = U_f + \frac{1}{2} Z_t \left( I_f + U_f \cdot Y_t + \frac{1}{2} I_f \cdot Y_t \cdot Z_t \right) + \frac{1}{2} Z_t \cdot I_f =$$

$$U_f \left( 1 + \frac{Z_t \cdot Y_t}{2} \right) + Z_t \left( Z_t + \frac{Z_t^2 \cdot Y_t}{4} \right)$$

$$I_0 = U_f \cdot Y_t + I_f \left( 1 + \frac{Z_t \cdot Y_t}{2} \right)$$

$$\begin{bmatrix} U_0 \\ I_0 \end{bmatrix} = \begin{bmatrix} A & B \\ C & D \end{bmatrix} \begin{bmatrix} U_f \\ I_f \end{bmatrix}$$

$$A = \left( 1 + \frac{Z_t \cdot Y_t}{2} \right)$$

$$B = \left( Z_t + \frac{Z_t^2 \cdot Y_t}{4} \right)$$

$$C = Y_t$$

$$D = \left( 1 + \frac{Z_t \cdot Y_t}{2} \right)$$

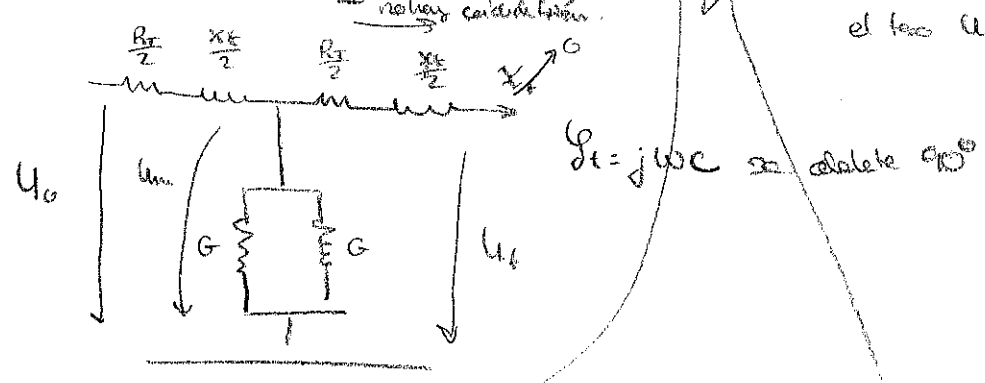
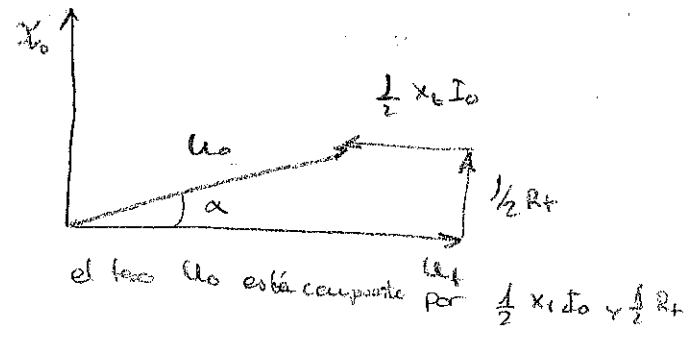
# Problema

Demstrar que trabajando en vacío, podemos hacer la siguiente

aproximación:  $\frac{U_f}{U_0} \approx \frac{1}{1 - \frac{1}{2} \omega^2 L_t \cdot C_t}$   $I_t = 0$  al estar en vacío.

$$U_0 = U_f + I_0 \left( \frac{1}{2} Z_t \right) + \phi$$

$$I_0 = \frac{I_1}{2} + \underbrace{U_m \cdot Y_t}_{I' \text{ no hay cálculo}} + \phi = U_t \cdot Y_t$$



$$U_0 = U_f + \frac{1}{2} (R_t + jX_t) I_0$$

efecto ferranti cuando trabajamos en vacío, el voltaje de la tensión en el final de la línea es mayor que en cabecera, se da en líneas, pero sobre todo en cables, y se produce por la inductancia y la capacitancia en equipos al final de la línea.

Despreciando el ángulo  $\alpha$ , suponemos que es muy pequeño, y  $U_0$  lo evaluamos sobre  $U_f$  y esto  $U_0 = U_f - \frac{1}{2} X_t \cdot I_0$

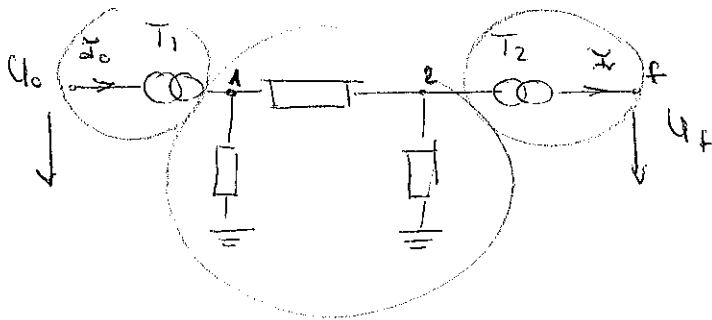
$$U_0 \approx U_f - \frac{1}{2} X_t \cdot I_0 = U_f - \frac{1}{2} (\omega L_t) \cdot U_f \cdot \omega C_t$$

$$U_0 \approx U_f - \frac{1}{2} U_f \cdot \omega^2 L_t \cdot C_t = U_f \left( 1 - \frac{1}{2} \omega^2 L_t C_t \right) \Rightarrow$$

$$\frac{U_f}{U_0} \approx \frac{1}{1 - \frac{1}{2} \omega^2 L_t \cdot C_t} > 1 \text{ (efecto ferranti)}$$

Problema 6

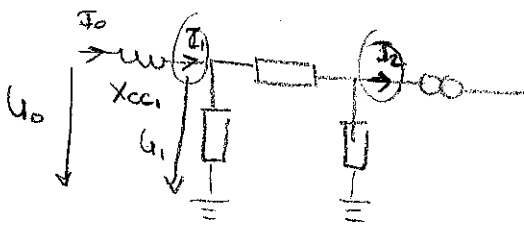
Justaposición de cuadrupoles y cascada es dividir una línea de Leyland alicata por medio con puntos reducidos en 4 más pequeños de la misma Leyland y estacione de tener concentrados, y cada entrada sobre la línea de la salida - entrada.



línea 50 km  
 $\epsilon = 0,1 + 0,35j \Omega/\text{km}$  (per loss)  
 $\gamma = 2,64 \cdot 10^{-5} j \text{ S/km}$   
 $T_1 = 200/66 \text{ kV}; 10 \text{ MVA}; E_{cc} 10\%$   
 $T_2 = 66/6,6 \text{ kV}; 10 \text{ MVA}; E_{cc} 10\%$   
 $U_f = 6,6 \text{ kV}; S_f = 7,5 \text{ MVA}, G = 9,8 \text{ in.}^*$

Trabajamos con tres cuadrupoles

Reducción de cuadrupole de un transformador. La representación como una línea



Trabaja los impedancias de modo real real a 66 kV  
 reducir los impedancias a modo real de entrada.

Reducción del cuadrupole para el caso del transformador.

$$\begin{cases} U_0 = U_1 + j X_{cc1} \cdot I_1 \\ I_0 = I_1 \end{cases} \Rightarrow \begin{bmatrix} U_0 \\ I_0 \end{bmatrix} = \begin{bmatrix} 1 & j X_{cc1} \\ 0 & 1 \end{bmatrix} \begin{bmatrix} U_1 \\ I_1 \end{bmatrix}$$

nos piden \$U\_0\$ e \$I\_0\$

Por calcular \$U\_1\$ e \$I\_1\$ hay que estar con la línea

$$\begin{bmatrix} U_1 \\ I_1 \end{bmatrix} = \begin{bmatrix} A & B \\ C & D \end{bmatrix} \begin{bmatrix} U_2 \\ I_2 \end{bmatrix}$$

$$\begin{bmatrix} U_2 \\ I_2 \end{bmatrix} = \begin{bmatrix} A & B \\ C & D \end{bmatrix} \begin{bmatrix} U_1 \\ I_1 \end{bmatrix}$$

live  $\Delta = 0,99$   $\perp$

$B = 10,20$   $\perp 74,05^\circ$

$\vec{c} = 13 \cdot 10^{-4}$   $\perp 90,1^\circ$

$D = A$

$$X_{cc1} =$$

$$E_{cc} = \frac{U_{cc,L}}{U_{N,L}} = \frac{\sqrt{3} \cdot I_{N1} \cdot Z_{cc1}}{U_{N,L}} \Rightarrow Z_{cc} = E_{cc} \cdot \frac{U_{N,L}}{\sqrt{3} \cdot I_{N1}} = \frac{U_{N,L}}{U_{N,L}} = \left( \frac{E_{cc} \cdot U_{N,L}^2}{S_N} \right)$$

teniendo de contexto venir que la unidad,

$$X_{cc1} = 0,1 \cdot \frac{(66 \cdot 10^3)^2}{10 \cdot 10^6} = 43,56 j \Omega \quad \text{reactancia del transformador 1}$$

$$X_{cc2} = 43,56 j \Omega \quad \text{transformador 2}$$

$$\begin{bmatrix} U_1 \\ I_1 \end{bmatrix} = \begin{bmatrix} 1 & jX_{cc1} \\ 0 & 1 \end{bmatrix} \begin{bmatrix} U_2 \\ I_2 \end{bmatrix} \quad \left\{ \quad \begin{bmatrix} U_1 \\ I_1 \end{bmatrix} = \begin{bmatrix} \Delta & \beta \\ e & 0 \end{bmatrix} \begin{bmatrix} U_2 \\ I_2 \end{bmatrix} \right.$$

Aplicar las leyes de Kirchhoff

$$\begin{aligned} U_0 &= U_1 + jX_{cc1} I_1 \\ I_0 &= I_1 \end{aligned}$$

Saca la matriz a partir de los cuádruplos.

$$\Delta = 1 + \frac{Z_t \cdot Y_t}{2} = 1 + \frac{Z_t \cdot Y_t}{2} \quad \text{// } Z_t = \text{por la ley de Ohm} = \frac{18,20 \angle 74,05^\circ \cdot 13 \cdot 10^{-4} \angle 90^\circ}{2} = 0,988 \angle 0,19^\circ = D$$

$$\beta = 18,20 \angle 24,05^\circ$$

$$e = 13 \cdot 10^{-4} \angle 94,1^\circ$$

$$\begin{bmatrix} U_2 \\ I_2 \end{bmatrix} = \begin{bmatrix} 1 & jX_{cc2} \\ 0 & 1 \end{bmatrix} \begin{bmatrix} U_t \\ I_t \end{bmatrix}$$

Multiplicar las matrices.

$$\begin{bmatrix} U_0 \\ I_0 \end{bmatrix} = \begin{bmatrix} 1 & jX_{cc1} \\ 0 & 1 \end{bmatrix} \begin{bmatrix} \Delta & \beta \\ e & 0 \end{bmatrix} \begin{bmatrix} 1 & jX_{cc2} \\ 0 & 1 \end{bmatrix} \begin{bmatrix} U_t \\ I_t \end{bmatrix}$$

Recordar sobre  $U_t$  e  $I_t$  - hacedlos con el vectorial y restad a 66 KV

$$\text{que solo } \frac{66 \cdot 10^3}{\sqrt{3}} = 38 \text{ KV}$$

Calculo de la intensidad

$$I_f^* = \frac{S}{\sqrt{3} \cdot U_f} = \frac{7,5 \cdot 10^4 \text{ VA} \angle 36,87^\circ}{\sqrt{3} \cdot 66 \cdot 10^3 \text{ V} \angle 0^\circ} = 65,61 \text{ A} \angle 36,87^\circ$$

Si se sabe

usar modelo con el ángulo negativo

$$I_f = 65,61 \angle -36,87^\circ \text{ A}$$

introducimos en la malla y tenemos.

$$\begin{bmatrix} U_o \\ I_o \end{bmatrix} = \begin{bmatrix} 40,06 \cdot 10^3 \angle 7,12^\circ \text{ V} \\ 50,76 \angle 15,44^\circ \text{ A} \end{bmatrix}$$

Para la malla y a los testes capacitivos.

$$U_o = 40,06 \cdot 10^3 \cdot \frac{20 \cdot 10^3 \text{ kV}}{66 \text{ kV}} \cdot \sqrt{3} = 21,03 \cdot 10^3 \angle 7,12^\circ \text{ V}$$

$\underbrace{\hspace{10em}}$  por ofrecer la tensión capacitiva variable  
 adaptada a 20 kV

$$I_o = 50,76 \angle 15,44^\circ \cdot \frac{66 \text{ kV}}{20 \cdot 10^3} = 167,51 \angle 15,44^\circ \text{ A}$$

$\underbrace{\hspace{10em}}$  Inverso de la relación de transformación

→ la intensidad va adelantada respecto a la tensión y por tanto tienen un comportamiento capacitivo en conjunto.

→ Para que aparezca el efecto ferranti lo posible por

$$\underline{U_o} \text{ con } U_f \quad U_o = 40,06 \cdot 10^3 > U_f = 39 \text{ kV} \text{ por lo tanto se produce el efecto ferranti.}$$

→

Problemas

Una línea trifásica de 5 kilómetros, construida por un cable de cobre de 9mm de diámetro dispuesta en triángulo equilátero con una distancia de 0,8 m entre toros. debe suministrar una potencia de 1 MVA con ~~cos~~ de  $\cos \phi = 0,7$  inductivo a un coste fijo al nivel de la línea. La tensión en el origen de la línea es de 6,6 kV. a) caída de tensión, b) caída de tensión relativa, c) desfase entre los tensiones en el origen y el final de la línea. d) pérdidas de potencia en la transmisión. e) potencia máxima que se puede suministrar si se admite una caída de tensión de 3%

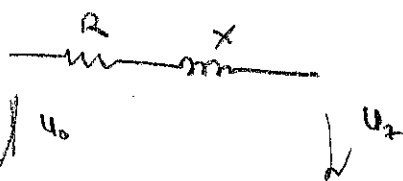
Dados los longitudes, despreciares los transitorios.

$$L = \frac{\mu_0}{2\pi} \cdot \ln \frac{D_g}{D_c} = \frac{4\pi \cdot 10^{-7}}{2\pi} \cdot \ln \frac{0,8}{2,5 \cdot 10^{-3}} = 1,08 \cdot 10^{-3} \text{ mH/km}$$

$$D_c = r' \cdot e^{-1/4} = 4,5 \cdot 10^{-3} \cdot e^{-1/4} = 3,5 \cdot 10^{-3}$$

$$R = \rho \cdot \frac{L}{S} = \frac{1,72}{56} \cdot \frac{5000}{(\pi \cdot 4,5 \cdot 10^{-3})^2} = 1,405 \Omega$$

$$X_L = 1,69 \Omega = 2\pi \cdot f \cdot L =$$



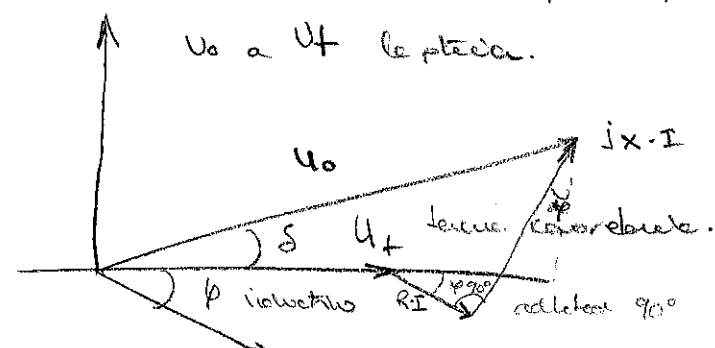
al estar en el nivel de la línea

Potencia  $\frac{1}{\sqrt{3}}$  MVA

Aplicamos Kirchhoff

$$U_0 = U_R + I(R + jX)$$

$U_0$  dividida a  $U_R$  por que voy de  $U_0$  a  $U_R$  la potencia.



## Hijo de la potencia activa

¿Va del nodo 70 al nodo 1?

$$P_f = S_f \cdot \cos \phi = 7,5 \cdot \cos \phi = 7,5 \cdot 0,8 = 6 \text{ MW}$$

⚠  $P_0 = P_{\text{linea}} + P_f =$  caso  $Z =$  resistencia.  
(fórmula simplificada) trabajar con el voltaje.  $U_{\text{base}} = 66 \text{ kV}$  porque la potencia es la misma

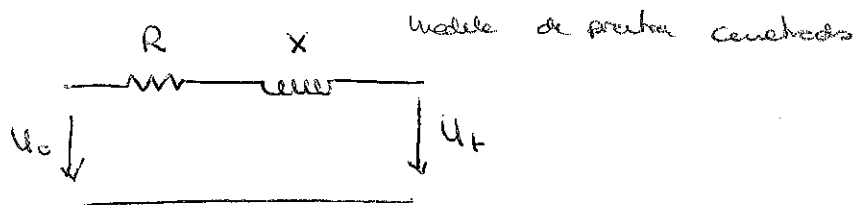
$$P_0 = 3 \cdot \frac{U_0^2}{Z_0} \cdot \cos \phi_0 = 3 \cdot 40,08 \cdot 50,76 \cdot (\cos(15,44 - 7,52))^\circ = 6,04 \text{ MW}$$

$\cos \phi_0 =$  distancia entre la línea e impedancia  
además también e impedancia y siempre es igual.

0,04 se resta en la demanda de la línea.

~~Let's check~~

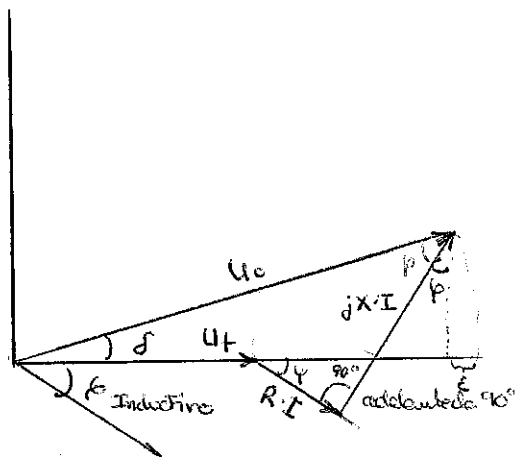
El sentido de la potencia activa  
el ángulo de los fasores de los extremos de la línea, es decir.  
porque el nodo que tiene a los dos adelantado. valor del  
nodo que se va a dar este "adelantado" al otro.



→ la potencia será  $\frac{1 \text{ MVA}}{\sqrt{3}}$  al al transfer en el wánotéico

→ Aplicamos las leyes de Kirchoff

$$U_0 = U_t + I(R + jX)$$



$U_0$  adelantado a  $U_t$  para que la potencia vaya de  $U_0$  a  $U_t$

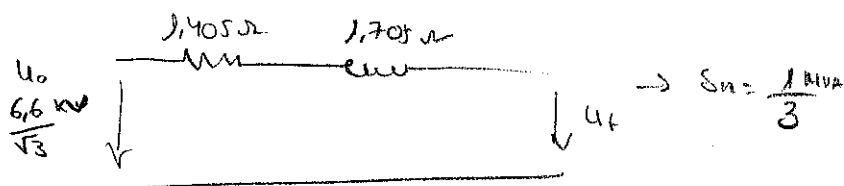
→ Para calcular la caída de tensión despreciamos el ángulo " $\delta$ " por ser muy pequeño.

→  $\Delta U = U_0 - U_t$  la distancia es la proyección del vector  $RI$  e  $jXI$  en el eje  $x$ ; por tanto: desprecia el ángulo  $\delta$

$$\Delta U = RI \cdot \cos \varphi + jXI \cdot \sin \varphi$$

$$\Delta U = R \cdot \cos \varphi + Xj \cdot \sin \varphi; 1,40 \cdot 0,7 + 1,69 \cdot 0,7j = 0,98 + 1,2j = 1,55 \angle 50,76^\circ$$

Valor tan pequeño despreciamos la potencia reactiva



$$U_0 = U_t + (R + jX)I$$

$$\Delta U = U_0 - U_f \approx R \cdot I \cdot \cos \varphi + X \cdot I \cdot \sin \varphi \quad \text{multiplicar y sumar por } U_f$$

$$I \cos \varphi \cdot \frac{U_f}{U_f} = \frac{S \cdot \cos \varphi}{U_f}$$

$$I \sin \varphi \cdot \frac{U_f}{U_f} = \frac{S \cdot \sin \varphi}{U_f} \quad \left\{ \begin{array}{l} = \frac{R \cdot S \cdot \cos \varphi}{U_f} + X \cdot \frac{S \cdot \sin \varphi}{U_f} \end{array} \right.$$

Multiplicar por  $U_f$  toda la expresión.

$$\frac{6,6}{\sqrt{3}} U_f - U_f^2 = 1,405 \cdot \frac{1}{3} \cdot 0,7 + 1,705 \cdot \frac{1}{3} \cdot 0,714 = 0,733 \Rightarrow U_f = 3,607 \text{ kV}$$

$S = 3 \cdot U_f \cdot \sin \varphi \cdot I$   
 $S = \sqrt{3} \cdot U_f \cdot \cos \varphi \cdot I$   
 $S_{\text{total}} = U_f \cdot I$

Caso tensión simple, tensión de fase

1 por cada multiplica por  $\sqrt{3}$

$$\Delta U = 6,6 \cdot \sqrt{3} \cdot 3,607 = 352 \text{ V} \quad \text{caída de tensión compuesta}$$

b) Calcular el factor de potencia relativo.

$$\frac{\Delta U}{U} \cdot 100 = \frac{352 \text{ V}}{6,6 \text{ kV}} \cdot 100 = 5,33\%$$

c) Calcular el valor real de  $\delta$ , de tensión en tensión

$$\delta = \arcsin \frac{X I \cos \varphi - R I \sin \varphi}{U_0} = 9,26^\circ$$

$$S = U_f \cdot I_f \Rightarrow I = \frac{S}{U_f} = 92,41 \text{ A}$$

d) Pérdidas de potencia

$$\Delta P = 3 \cdot I^2 \cdot R = 36 \text{ kW} \quad \text{pérdida activa}$$

e) Suponemos que el factor de potencia de la carga sea unitario, para una potencia activa relativa del 5,33%

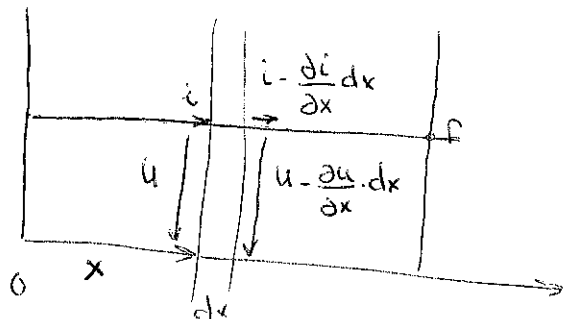
$$\Delta U_{\text{fase}} = U_0 - U_f = 0,03 \cdot \frac{6,6}{\sqrt{3}} = 0,1143 \text{ kV} \quad \text{caída de tensión máxima por fase}$$

$$\Delta U = R \cdot I \cdot \cos \varphi + X \cdot I \cdot \sin \varphi \Rightarrow I = \frac{\Delta U}{R \cdot \cos \varphi + X \cdot \sin \varphi} = \frac{1,143}{1,405 \cdot 0,7 + 1,705 \cdot 0,71} = 51,93 \text{ A}$$

$$S_{\text{max}} = \left( 0,97 \cdot \frac{6,6 \cdot 10^3}{\sqrt{3}} \cdot 51,93 \right) = 575,83 \text{ kVA}$$

## Modelos de líneas con parámetros distribuidos

Para ello consideramos el siguiente esquema de la línea.



Del embudoado o sale una línea hasta  $f$ . en vez de considerar las electos en distintos, en dos o tres sitios, los distribuidos, a la larga de la línea.

a la side de la línea viene a tener una corriente variable debido a las pérdidas transversales.

La longitud de propagación del tiempo, por tensión de la distancia, Por tanto la tensión y la intensidad están en función de la distancia y del tiempo.

aplicamos la <sup>segunda</sup> ~~primera~~ ley de kircho a la zona de " $dx$ ", donde

$$\left( u - \frac{\partial u}{\partial x} \cdot dx \right) - u = i R dx + L dx \frac{di}{dt}$$

$R$  resistencia por unidad de longitud

$L$  inductancia por unidad de longitud.

aplicamos la primera ley de kirchoff para ver la pérdida de corriente.

$$\left( i - \frac{\partial i}{\partial x} \cdot dx \right) - i = G dx \cdot u + C dx \frac{du}{dt}$$

$G$  = conductancia por unidad de longitud, pérdida de corriente por efecto corona.

$C$  = Efecto capacitivo

Simplificando las dos ecuaciones:

La pinta ecuación:

$$\begin{cases} -\frac{\partial u}{\partial x} = Ri + L \frac{\partial i}{\partial t} \\ -\frac{\partial i}{\partial x} = Gu + C \frac{\partial u}{\partial t} \end{cases}$$

Estos ecuaciones se derivan, ecuaciones parciales de primer orden, de los líneas que los relacionan las tensiones y las corrientes.

Este sistema de ecuaciones diferenciales y algebraicas puede resolverse, con lo que se utiliza una simplificación, así como una línea ideal, que matemáticamente puede hacer un simplificar, una línea ideal que lo hace posible: que puede que un tiene un  $R$  un  $G$  (capacitancia). con lo que

$$\begin{cases} -\frac{\partial u}{\partial x} = L \frac{\partial i}{\partial t} \\ -\frac{\partial i}{\partial x} = C \frac{\partial u}{\partial t} \end{cases}$$

La velocidad de la señal en la línea depende del  $x$  este relacionado con la velocidad con respecto del tiempo. Este sistema de ecuaciones de onda que fue resuelto, en 1946 por d'Alembert, que se aplican a los sistemas y derivado lo siguiente, que los valores de estas ecuaciones son:

$$\begin{cases} i = f_1(x-vt) - f_2(x+vt) \\ u = Z_0 f_1(x-vt) - Z_0 f_2(x+vt) \end{cases} \left\{ \text{cuando se da} \right.$$

$$Z_0 = \sqrt{\frac{L}{C}} \quad v = \frac{1}{\sqrt{LC}}$$

Demuestra que la impedancia, en wave case,  $i$  y  $u$  son de ondas que se están desplazando a la misma velocidad  $v = \frac{1}{\sqrt{LC}}$  que son de ondas  $f_1$  y  $f_2$ , y la impedancia se puede obtener como la suma de las ondas que se van por la línea con la misma impedancia y sentido opuesto.

La suma de las ondas es la suma de cada una de las ondas, por ser idénticas.

Para la tensión a lo largo para multiplicarla por  $z_0$  que es la impedancia característica de la línea.

Retomando la base de las líneas reales.

$$-\frac{\partial u}{\partial x} = R i + L \frac{\partial i}{\partial t}$$

$$-\frac{\partial i}{\partial x} = G \cdot u + C \frac{\partial u}{\partial t}$$

Consideramos que la línea está en régimen estacionario, por lo que podemos

poner un régimen permanente sinusoidal (traspaso en alterna).

Si trabajamos en régimen sinusoidal estacionario con la frecuencia  $\omega$  de la potencia del tiempo sobre de la distancia solo. por eso el vector tensión y el vector corriente dependen del tiempo.  $i$ ,  $i$ ,  $u$  puede el derivar formal el derivar temporal tener que:

$$-\frac{du}{dx} = R i + j\omega L i$$

$$-\frac{di}{dx} = G u + j\omega C u$$

Simplificada respecto a la  $Z$

$$-\frac{dU}{dx} = Z (R + j\omega L) \quad \text{impedancia compleja}$$

$$-\frac{di}{dx} = Y (G + j\omega C) \quad \text{admitancia compleja}$$

Derivada de fuerza respecto al tipo de  $x$  tener

$$\frac{d^2 U}{dx^2} = Z \cdot Y \cdot U$$

$$\frac{d^2 I}{dx^2} = Y \cdot Z \cdot I$$

y tener un sistema de ecuaciones diferenciales de segundo orden que se resuelve con ecuaciones de segundo orden de los circuitos, con la idea que la tensión y la corriente se separan para cada ecuación.

Resolver la solución de los circuitos ~~de segundo~~ de segundo orden, soluciones hiperbólicas:

$$U = U_0 \cdot \cosh \gamma x - Z_c I_0 \cdot \sinh \gamma x$$

$$I = I_0 \cdot \cosh \gamma x - \frac{1}{Z_c} U_0 \cdot \sinh \gamma x$$

Siendo:

$$Z_c = \sqrt{\frac{Z}{Y}} = \frac{\text{impedancia característica de una línea real, raíz cuadrada de la impedancia propia aditiva}}{\text{admitancia}}$$

$$Y_c = \frac{1}{Z_c} = \sqrt{\frac{Y}{Z}} \quad \text{si inversa } Y_c \text{ a admitancia característica de la línea}$$

$$\gamma = \sqrt{Z \cdot Y} = \text{raíz cuadrada de } Z \text{ por } Y, \text{ constante de proporción}$$

$$\gamma = \gamma \text{ un número complejo } \gamma = \gamma_1 + j\gamma_2$$

o le parte real  $\gamma_1$  e desouve constante de amortissement.

y la ~~parte~~  $\gamma_2$  constante de fase

$\gamma$  es dimensionado por se mide en radianes inversos por unidad de longitud.

$\Theta$  = es el producto de  $\gamma$  constante de amortissement por la longitud  $l$  y el angle característico de la línea e angle característico de la línea cuando  $l$  corresponde a  $x$ , y  $\gamma l$  parte real e hiperbólica

$$\Theta = \gamma \cdot l = \Theta_1 + j\Theta_2 \quad \gamma$$

$\Theta_1$  = bobina hiperbólica

$\Theta_2$  = bobina de fase.

Demostración del caso de ecuación de estado orden a los estados.

Para los dos terminos de un lado.

$$\left. \begin{aligned} \frac{d^2 u}{dx^2} - \gamma^2 u &= 0 \\ \frac{d^2 i}{dx^2} - \gamma^2 i &= 0 \end{aligned} \right\}$$

Ecuación diferencial de estado orden hiperbólica, por un lado tanto independiente.

$$a^2 - \gamma^2 = 0 \rightarrow a = \pm \sqrt{\gamma^2} = \pm \gamma \rightarrow \text{Solución de forma exponencial tipo } \left\{ e^{\gamma x}, e^{-\gamma x} \right\}$$

$$\left. \begin{aligned} u &= k_1 e^{\gamma x} + k_2 e^{-\gamma x} \\ i &= k_1' e^{\gamma x} + k_2' e^{-\gamma x} \end{aligned} \right\}$$

Poderemos fazer, que tenhamos os coeficientes que ficam no lado

Com  $k_1, k_2, k_1$  e  $k_2$ .

$$\frac{\Delta + B}{2} = k_1 \quad / \quad \frac{A - B}{2} = k_2 \quad / \quad \frac{C + D}{2} = k_1 \quad / \quad \frac{C - D}{2} = k_2$$

Multiplicar em  $\Delta, B, C$  e  $D$  de forma que nos queira que:

$$\left. \begin{aligned} u &= A \frac{e^{\delta x} + e^{-\delta x}}{2} + B \frac{e^{\delta x} - e^{-\delta x}}{2} \\ \mathcal{I} &= C \frac{e^{\delta x} + e^{-\delta x}}{2} + D \frac{e^{\delta x} - e^{-\delta x}}{2} \end{aligned} \right\}$$

Sabemos que

$$\cosh \delta x = \frac{e^{\delta x} + e^{-\delta x}}{2} \quad \sinh \delta x = \frac{e^{\delta x} - e^{-\delta x}}{2}$$

Multiplicar em  $\cosh$  e  $\sinh$ .

$$u = A \cdot \cosh \delta x + B \cdot \sinh \delta x$$

$$\mathcal{I} = C \cdot \cosh \delta x + D \cdot \sinh \delta x$$

De nos que devemos determinar as constantes, particularizar para o início da linha.

$$x=0 \text{ temos que } \cosh(x=0) = 1 \\ \sinh(x=0) = 0$$

$$u|_{x=0} = A \rightarrow A = u_0 \text{ tensão em el início da l. l.}$$

$$\mathcal{I}|_{x=0} = C \rightarrow C = \mathcal{I}_0 \text{ corrente em el início da l. l.}$$

Por isso  $B$  e  $D$  derivamos as expressões em relação a distância  $x$ :

$$\frac{du}{dx} = \cosh(\delta x) = \delta \sinh(\delta x)$$

$$\frac{d\mathcal{I}}{dx} = \sinh(\delta x) = \delta \cosh(\delta x)$$

$$\left. \begin{aligned} \frac{du}{dx} &= u_0 \cdot \gamma \cdot \sinh \gamma x + \beta \cdot \gamma \cdot \cosh \gamma x \\ \frac{dI}{dx} &= I_0 \cdot \gamma \cdot \sinh \gamma x + D \cdot \gamma \cdot \cosh \gamma x \end{aligned} \right\}$$

trouvé les de les équations de premier ordre

$$\left. \begin{aligned} \frac{du}{dx} &= -I \cdot \gamma \\ \frac{dI}{dx} &= -u \cdot \gamma \end{aligned} \right\} (1)$$

Particulièrement au pour  $x=0$

$$\left. \frac{du}{dx} \right|_{x=0} = \beta \cdot \gamma = \underbrace{-I \cdot \gamma}_N \rightarrow \beta = -\frac{I_0 \cdot \gamma}{\gamma} =$$

$$\left. \frac{dI}{dx} \right|_{x=0} = D \cdot \gamma = \underbrace{-\gamma \cdot u}_D = -\frac{u_0 \cdot \gamma}{\gamma} =$$

Particulièrement en la avec des signe avec

$$\gamma = \sqrt{z \cdot y}$$

$$\beta = -\frac{I_0 \cdot \gamma}{\sqrt{z} \cdot \sqrt{y}} = -I_0 \sqrt{\frac{z}{y}} = -I_0 \cdot \underbrace{\left(\frac{z}{y}\right)}_{\text{admittance caractéristique}}$$

$$D = -\frac{u_0 \cdot \gamma}{\sqrt{z} \cdot \sqrt{y}} = -u_0 \sqrt{\frac{y}{z}} = -u_0 \cdot \underbrace{\left(\frac{y}{z}\right)}_{\text{admittance caractéristique}}$$

Value des constantes de  $u$  et  $I$

$$\boxed{\begin{aligned} u &= u_0 \cdot \cosh \gamma x - I_0 \cdot \frac{z}{\gamma} \cdot \sinh \gamma x \\ I &= I_0 \cdot \cosh \gamma x - \frac{y}{\gamma} \cdot u_0 \cdot \sinh \gamma x \end{aligned}}$$

ahora que tenemos la solución, vamos a particularizar para obtener y hallar de líneas:

Problema  $x=0$

$xl = 0$

$U_p = U_0 \cdot \cosh \delta l - Z_c I_0 \sinh \delta l$

$I_p = I_0 \cosh \delta l - Y_c U_0 \sinh \delta l$

$U_f = U_0 \cdot \cosh \theta - Z_c I_0 \sinh \theta$

$I_f = I_0 \cdot \cosh \theta - Y_c U_0 \sinh \theta$

$$\begin{bmatrix} U_f \\ I_f \end{bmatrix} = \begin{bmatrix} A' & B' \\ C' & D' \end{bmatrix} \begin{bmatrix} U_0 \\ I_0 \end{bmatrix}$$

tenemos la matriz en función de los tramos de línea y nos interesa conocer los de inicio de línea que son los operadores  $p-1$

$$\begin{bmatrix} U_0 \\ I_0 \end{bmatrix} = \begin{bmatrix} A & B \\ C & D \end{bmatrix} \begin{bmatrix} U_f \\ I_f \end{bmatrix}$$

$A' = \cosh \theta$        $B' = -Z_c \cdot \sinh \theta$

$D' = \cosh \theta$        $C' = -Y_c \cdot \sinh \theta$

$[P]^{-1} = \frac{1}{|P|} \text{adj} [P]^t$

$Z_c \cdot Y_c = 1$

$|P| = \cosh^2 \theta - ((-Z_c \cdot \sinh \theta) \cdot (-Y_c \sinh \theta)) = \cosh^2 \theta - \sinh^2 \theta = 1$

$[P^t] = \begin{vmatrix} \cosh \theta & -Y_c \sinh \theta \\ -Z_c \sinh \theta & \cosh \theta \end{vmatrix} \text{adj} = \begin{vmatrix} \cosh \theta & Z_c \sinh \theta \\ Y_c \sinh \theta & \cosh \theta \end{vmatrix}$

$$\begin{bmatrix} U_0 \\ I_0 \end{bmatrix} = \begin{bmatrix} A'' & B'' \\ C'' & D'' \end{bmatrix} \begin{bmatrix} U_f \\ I_f \end{bmatrix}$$

Series y como hipotéticos de un solo cable.

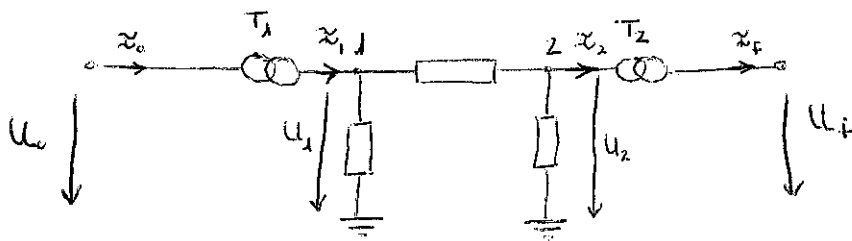
$\cosh \theta = \cosh \theta_1 \cdot \cos \theta_2 + j \sinh \theta_1 \cdot \text{sen} \theta_2$

$\sinh \theta = \sinh \theta_1 \cdot \cos \theta_2 + j \cosh \theta_1 \cdot \text{sen} \theta_2$

## Yustaposición de cuadrupolos

Consiste en dividir una línea de una longitud suficiente para trabajar con parámetros concentrados, para ella reducimos en 4 líneas más pequeñas de la misma longitud y la estaciones de tramo concentrada, cada entrada será la salida de la anterior.

### Problema



Datos:

Línea 50 km

$$Z = 0,1 + 0,35j \Omega/\text{km (tramo)}$$

$$Y = 2,64 \cdot 10^{-5} S/\text{km}$$

$$T_1 = 20/66 \text{ kV}; 10 \text{ MVA}; E_{cc} 10\%$$

$$T_2 = 66/6,6 \text{ kV}; 10 \text{ MVA}; E_{cc} 10\%$$

$$U_f = 6,6 \text{ kV}$$

$$S_f = 7,5 \text{ MVA}$$

$$\cos \varphi = 0,8 \text{ (inductivo)}$$

$$U_0 = ?$$

$$I_0 = ?$$

→ Trabajamos con tres cuadrupolos.

La relación de un cuadrupolo de un transformador lo representamos como una bobina.

→ Reducimos la impedancia de nuestra red real a la tensión de referencia de 66 kV, en magnitudes orientadas.

$$\rightarrow E_{cc,i} = \frac{U_{cc,l}}{U_{n,l}} = \frac{\sqrt{3} \cdot I_{n,l} \cdot Z_{cc,i}}{U_{n,l}} \Rightarrow Z_{cc,i} = E_{cc,i} \cdot \frac{U_{n,l}}{\sqrt{3} \cdot I_{n,l}} = \frac{U_{n,l}}{U_{n,l}} = \frac{E_{cc,i} \cdot \frac{U_{n,l}^2}{S_n}}{U_{n,l}}$$

\* También de características tener que la nominal.

$$\bullet X_{cc,1} = 0,1 \cdot \frac{(66 \cdot 10^3)^2}{10 \cdot 10^6} = 43,56j \Omega \text{ (reactancia del transformador 1)}$$

con los transformadores son iguales.

$$\bullet X_{cc,2} = 43,56j \Omega$$

Aplicamos las leyes de Kirchoff

$$U_0 = U_1 + j X_{cc,1} I_1$$

$$I_0 = I_1$$

→ Construimos la matriz

$$\begin{bmatrix} U_0 \\ I_0 \end{bmatrix} = \begin{bmatrix} 1 & jX_{cc1} \\ 0 & 1 \end{bmatrix} \begin{bmatrix} U_1 \\ I_1 \end{bmatrix}$$

→ Ahora construimos la matriz a partir de los conductores.

$$\begin{bmatrix} U_1 \\ I_1 \end{bmatrix} = \begin{bmatrix} A & B \\ C & D \end{bmatrix} \begin{bmatrix} U_2 \\ I_2 \end{bmatrix}$$

$$Z_L = 0,1 + 0,35j \Omega/\text{km} = 0,36 \angle 74,05^\circ \Omega/\text{km} \times 50 \text{ km} = 18,20 \angle 74,05^\circ \Omega$$

$$Y_t = 2,64 \angle 10^{-5} \text{ S}/\text{km} = 13 \cdot 10^{-4} \angle 90^\circ \text{ S}$$

$$A = 1 + \frac{Z_L \cdot Y_t}{2} = 1 + \frac{18,20 \angle 74,05^\circ \cdot 13 \cdot 10^{-4} \angle 90^\circ}{2} = 0,988 \angle 0,19^\circ$$

$$B = 18,20 \angle 74,05^\circ$$

$$C = 13 \cdot 10^{-4} \angle 90^\circ$$

$$D = A$$

→ Aplicamos las leyes de Kirchhoff para construir la matriz del transformador 2.

$$\begin{bmatrix} U_2 \\ I_2 \end{bmatrix} = \begin{bmatrix} 1 & jX_{cc2} \\ 0 & 1 \end{bmatrix} \begin{bmatrix} U_t \\ I_t \end{bmatrix}$$

→ Multiplicamos las matrices

$$\begin{bmatrix} U_0 \\ I_0 \end{bmatrix} = \begin{bmatrix} 1 & jX_{cc1} \\ 0 & 1 \end{bmatrix} \begin{bmatrix} A & B \\ C & D \end{bmatrix} \begin{bmatrix} 1 & jX_{cc2} \\ 0 & 1 \end{bmatrix} \begin{bmatrix} U_t \\ I_t \end{bmatrix}$$

→ Necesitamos saber  $U_t$  e  $I_t$ , trabajamos con el enunciado sabiendo a 66 kV que sea

$$U_t = \frac{66 \cdot 10^3}{\sqrt{3}} = 38 \text{ kV}$$

→ La intensidad será:

$$I_t^* = \frac{S_n}{\sqrt{3} \cdot U_t} = \frac{7,5 \cdot 10^6 \angle 36,87^\circ}{\sqrt{3} \cdot 66 \cdot 10^3 \angle 0^\circ} = 65,61 \angle 36,87^\circ \text{ A}$$

arcs 0,7

Esta intensidad es el conjugado de la intensidad

Si es lo simple, tenemos el mismo módulo con el argumento negativo

$$I_f = 65,61 \angle -38,87^\circ \text{ A}$$

→ Introducimos en la matriz y tenemos.

$$\begin{bmatrix} U_o \\ I_o \end{bmatrix} = \begin{bmatrix} 40,06 \cdot 10^3 \angle 7,52^\circ \text{ V} \\ 50,76 \angle 15,44^\circ \text{ A} \end{bmatrix}$$

→ Pasamos a tensión y a sus tensiones correspondientes

$$U_o = 40,06 \cdot 10^3 \cdot \frac{20 \cdot 10^3}{66 \cdot 10^3} \cdot \sqrt{3} = 21,03 \cdot 10^3 \angle 7,52^\circ \text{ V}$$

$\underbrace{\hspace{10em}}$   $\underbrace{\hspace{10em}}$   
 adaptamos a 20 kV      Para obtener la tensión aparente nominal

$$I_o = 50,76 \angle 15,44^\circ \cdot \frac{66 \cdot 10^3}{20 \cdot 10^3} = 162,71 \angle 15,44^\circ \text{ A}$$

$\underbrace{\hspace{10em}}$   
 Inversa de la relación de transformación

→ La intensidad va adelantada respecto a la tensión y por lo tanto tiene un comportamiento capacitivo en su conjunto

→ Para que aparezca efecto Ferranti, tiene que ser capacitivo por a su vez  $U_o$  tiene que ser mayor que  $U_f$ , en este caso, tenemos que  $U_o = 40,06 \cdot 10^3 \text{ V} > U_f = 30 \cdot 10^3 \text{ V}$ , por lo tanto no aparece el efecto Ferranti.

→ ¿Va al flujo de la potencia activa?

$$P_f = S_f \cdot \cos \varphi = 7,5 \cdot \cos \varphi = 7,5 \cdot 0,8 = 6 \text{ MW}$$

$$P_o = P_{\text{linea}} + P_f \quad P_{\text{linea}} \text{ es la que consume la resistencia.}$$

Tensión simple (trabajamos con el voltaje en referencia a 66 kV la potencia es la misma simple)

$$P_o = 3 \cdot U_o \cdot I_o \cdot \cos \varphi_o = 3 \cdot 40,06 \cdot 50,76 \cdot (\cos (15,44^\circ - 7,52^\circ)) = 6,04 \text{ MW}$$

$\cos \varphi_o$  = desfase entre la intensidad y la tensión.

Como vemos perdemos 0,04 MW que se pierden en la impedancia de la línea.

→ El sentido de la potencia activa va lo marca el valor sine lo marca el ángulo de las tensiones en los extremos de la línea, es decir, la potencia va de el modo que tiene el fase adelantado al otro.

## Problema

Una línea trífase de 5 kilómetros, construida por una varilla de cobre de 9 mm de diámetro dispuesta en triángulo equilateral con una distancia de 0,8 m entre fases, debe suministrar una potencia de  $S_f = 1 \text{ MVA}$  con  $\cos \varphi = 0,7$  inductivo a una carga situada al final de la línea, la tensión en el origen de la línea es de 6,6 kV. calcular: a) caída de tensión. b) caída de tensión relativas c) distorsión entre las tensiones en el origen y final de la línea. d) Pérdidas de potencia en la transmisión. e) Potencia máxima que se puede suministrar si se admite una caída de tensión del 3%.

→ Trabaja con los parámetros longitudinales, despreciamos los transversales.

$$L = \frac{\mu_0}{2\pi} \ln \frac{D_s}{D_c} = \frac{4\pi \cdot 10^{-7}}{2\pi} \ln \frac{0,8}{3,5 \cdot 10^{-6}} = 1,08 \cdot 10^{-3} \text{ H/km}$$

$$D_c = r \cdot e^{-1/4} = 4,5 \cdot 10^{-6} \cdot e^{-1/4} = 3,5 \cdot 10^{-6}$$

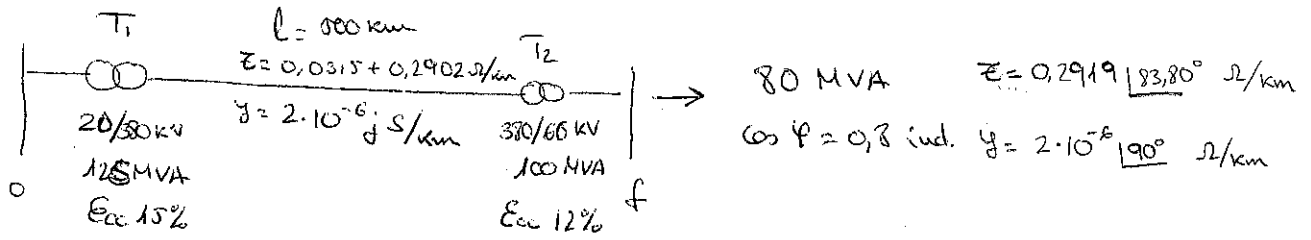
$$R' = \rho \cdot \frac{L}{S} = \frac{1,7 \text{ mm}^2}{56 \text{ m}} \cdot \frac{5000}{\pi (4,5)^2} = 1,405 \Omega$$

$$X_L = 1,69 \Omega$$



# Problema

Calcúlense la tensión y corriente en el cruce de líneas, en la cabeza del embudo de la subestación, de la siguiente red:



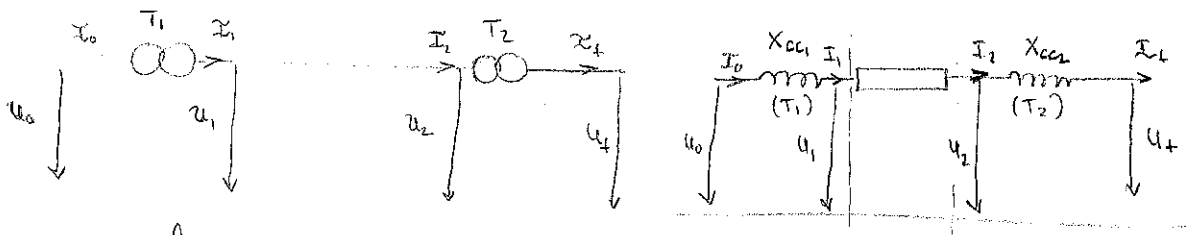
Tomaremos como tensión común del bloque de impedancias la tensión de línea 380 kV

Parámetros distribuidos.

También relativa de cortocircuitos.

$$X_{cc1} = E_{cc1} \cdot \frac{U_{n,l}^2}{S_{n1}} = 0,15 \cdot \frac{(380 \cdot 10^3)^2}{125 \cdot 10^6} = 173,28 \Omega \checkmark$$

$$X_{cc2} = E_{cc2} \cdot \frac{U_{n,l}^2}{S_{n2}} = 0,12 \cdot \frac{(380 \cdot 10^3)^2}{100 \cdot 10^6} = 173,28 \Omega \checkmark$$



→ Aplicando las leyes de Kirchoff

$$U_0 = U_1 + j X_{cc1} \cdot \tilde{I}_1$$

$$\tilde{I}_0 = \tilde{I}_1$$

$$\begin{bmatrix} U_0 \\ \tilde{I}_0 \end{bmatrix} = \begin{bmatrix} 1 & j173,28 \\ 0 & 1 \end{bmatrix} \begin{bmatrix} U_1 \\ \tilde{I}_1 \end{bmatrix}$$

→ Calcular la matriz para parámetros distribuidos.

$$\begin{bmatrix} U_1 \\ \tilde{I}_1 \end{bmatrix} = \begin{bmatrix} A & B \\ C & D \end{bmatrix} \begin{bmatrix} U_2 \\ \tilde{I}_2 \end{bmatrix}$$

$$A = \cosh \theta \quad B = Z_c \cdot \sinh \theta$$

$$C = Y_c \cdot \sinh \theta \quad D = \cosh \theta$$

$$\theta = \gamma \cdot l = \sqrt{Z \cdot Y} \cdot l = 7,64 \cdot 10^{-4} \angle 86,90^\circ \cdot 500 = 0,382 \angle 86,90^\circ = 0,02 + j0,38 \checkmark$$

$$Z_c = \sqrt{\frac{Z}{Y}} = \sqrt{\frac{0,2919 \angle 83,80^\circ}{2 \cdot 10^{-6} \angle 90^\circ}} = 382,034 \angle -3,1^\circ \checkmark$$

$$Y_c = \sqrt{\frac{Y}{Z}} = \sqrt{\frac{2 \cdot 10^{-6} \angle 90^\circ}{0,2919 \angle 83,80^\circ}} = 2,61 \cdot 10^{-3} \angle 3,1^\circ \checkmark$$

$$\begin{bmatrix} u_1 \\ i_1 \end{bmatrix} = \begin{bmatrix} 4 \cdot 10^3 & 5,74 \cdot 10^{-3} \\ 8,40 & 10^3 \end{bmatrix} \begin{bmatrix} u_2 \\ i_2 \end{bmatrix}$$

$$\text{Senk } \theta = \text{Senk } 0,02 \cdot \cos 0,38 + j \cos 0,02 \cdot \text{Senk } 0,38 = 10,021 \angle 18,26^\circ \checkmark$$

$$A = \text{Cosk } \theta = \cos 0,02 \cdot \cos 0,38 + j \text{Senk } 0,02 \cdot \text{Senk } 0,38 = 4,0001 \angle 0,007^\circ \checkmark$$

$$C = j\omega L \cdot \text{Senk } \theta = 382,034 \angle 3,1^\circ \cdot \text{Senk } \theta = 8,40 \angle 14,5^\circ \checkmark$$

$$B = Z_c \cdot \text{Senk } \theta = 2,61 \cdot 10^{-3} \angle 3,1^\circ \cdot \text{Senk } \theta = 5,74 \cdot 10^{-3} \angle 20,7^\circ \checkmark$$

→ Aplicando las leyes de Kirchoff

$$\begin{bmatrix} u_2 \\ i_2 \end{bmatrix} = \begin{bmatrix} 1 & 173,28 \\ 0 & 1 \end{bmatrix} \begin{bmatrix} u_f \\ i_f \end{bmatrix}$$

$$u_2 = u_f + jX_{cc2} \cdot i_f$$

$$i_2 = i_f$$

Yuxtaposición de los tres cuadrúpos.

$$\begin{bmatrix} u_0 \\ i_0 \end{bmatrix} = \begin{bmatrix} 1 & jX_{cc1} \\ 0 & 1 \end{bmatrix} \begin{bmatrix} A & B \\ C & D \end{bmatrix} \begin{bmatrix} 1 & jX_{cc2} \\ 0 & 1 \end{bmatrix} \begin{bmatrix} u_f \\ i_f \end{bmatrix}$$

$$u_f = \frac{380}{\sqrt{3}} \angle 0^\circ = 219,40 \text{ kV} \quad \text{que tomamos como origen de ángulos}$$

$$I = \frac{S}{\sqrt{3} u_f} = \frac{80 \cdot 10^3}{\sqrt{3} \cdot 380 \cdot 10^3} = 121,55 \text{ A} \quad X_f = 121,55 \angle -36,77^\circ$$

Inductivo  
- cos 0,8

$$\begin{bmatrix} u_0 \\ i_0 \end{bmatrix} = \begin{bmatrix} 203,99 \angle 12,14^\circ \text{ kV} \\ 175,70 \angle 65,17^\circ \text{ A} \end{bmatrix}$$

Referenciado al secundario del transformador con a 380

→ Referenciamos al primario lado de 20 kV

$$u_0(20 \text{ kV}) = 203,99 \cdot \left( \frac{20}{380} \right) \angle 12,14^\circ = 10,74 \angle 12,14^\circ \text{ kV}$$

$$i_0(20 \text{ kV}) = 175,70 \cdot \left( \frac{380}{20} \right) \angle 65,17^\circ = 3,34 \angle 65,17^\circ \text{ kA}$$

Tensión compuesta en cabecera

$$u_{0, \text{lim}} = 10,74 \cdot \sqrt{3} = 18,60 \text{ kV}$$

→ ¿Que caracter tiene en su conjunto (inductivo o capacitivo)?

Corriente adelantada respecto a la tensión caracter capacitivo.

→ Aparece efecto ferromagnético en el conjunto

$U_f = 219,4$      $U_0 = 203,99$  por lo tanto aparece el efecto ferromagnético al ser  
"mayor al nivel de línea que en cabecera", calculemos en el nivel de línea

# Cortocircuitos trifásicos Simétricos

## Problema 1

### Potencia base 1 MVA ( $S_b$ )

Tenemos dos zonas debido a la presencia de un transformador

- Zona 1 correspondiente a la parte aguas arriba del transformador con una tensión base de 20 kV ( $U_{b1}$ )
- Zona 2 zona de aguas abajo del transformador con una tensión base de 380 V ( $U_{b2}$ )

### Red

$U_n = 20 \text{ kV}$   
 $S_{cc} = 50 \text{ MVA}$   
 $\cos \varphi_{cc} = 0,1$

$$Z_{cc} = \frac{S_b}{S_{cc}(\text{p.u.})} = \frac{1}{\frac{50}{0,1}} = \frac{1}{500} = 2 \cdot 10^{-3}$$

$$Z_{cc} = r_{cc} + jx_{cc} = 2$$

$$Z_{cc} = 2 \cdot 10^{-4} + 2 \cdot 10^{-3} j$$

$$\begin{cases} r_{cc} = Z_{cc} \cdot \cos \varphi = 2 \cdot 10^{-3} \cdot 0,1 = 2 \cdot 10^{-4} \\ x_{cc} = Z_{cc} \cdot \sin \varphi = 2 \cdot 10^{-3} \end{cases}$$

### Línea

$L = 2,7 \text{ km}$   
 $r' = 0,2018 \Omega/\text{km}$   
 $x' = 0,127 \Omega/\text{km}$

$$Z_{b1} = \frac{U_{b1}^2}{S_b} = \frac{20^2}{1} = 400 \Omega$$

$$Z_1 = \frac{S_b}{Z_b} \cdot L \cdot (r' + jx') = \frac{1}{400} \cdot (0,2018 + 0,127j) = 1,36 \cdot 10^{-3} + 8,57 \cdot 10^{-4} j$$

### Transformador

$S_n = 1 \text{ MVA}$   
 $20 \text{ kV} / 380 \text{ V}$   
 $U_{cc} = 6\%$   
 $\cos \varphi_{cc} = 0,26$

$$Z_{cc}(\text{p.u.}) = Z_{cc} \cdot \frac{S_b}{S_n} = \frac{1}{1} = 0,6$$

$$r_{cc} = Z_{cc} \cdot \cos \varphi_{cc} = 0,6 \cdot 0,26 = 0,156$$

$$x_{cc} = Z_{cc} \cdot \sin \varphi_{cc} = 0,6 \cdot 0,9656 = 0,5794$$

$$Z_{cc} = 0,156 + 0,5794 j$$

### Generador

$S_n = 500 \text{ kVA}$   
 $U_n = 380 \text{ V}$   
 $X'_d = 12\%$

$$X_g = X'_d \cdot \frac{S_b}{S_n} = 0,12 \cdot \frac{1 \text{ MVA}}{500 \text{ kVA}} = 0,24 j$$

$$Z_g = 0,24 j$$

### Cable 1

$$L = 115 \text{ m}$$

$$r' = 0,0826 \text{ } \Omega/\text{km}$$

$$x' = 0,084 \text{ } \Omega/\text{km}$$

$$Z_{b2} = \frac{U_{b2}^2}{S_b} = \frac{380^2}{1 \text{ MVA}} = 0,1444$$

$$\bar{Z}_{c1} = \frac{S_b}{Z_b} \cdot L \cdot (r' + x'j) = \frac{1}{0,1444} \cdot 0,115 \cdot (0,0826 + 0,084j)$$

$$\bar{Z}_{c1} = 0,066 + 0,067j$$

### Cable 2

$$L = 35 \text{ m}$$

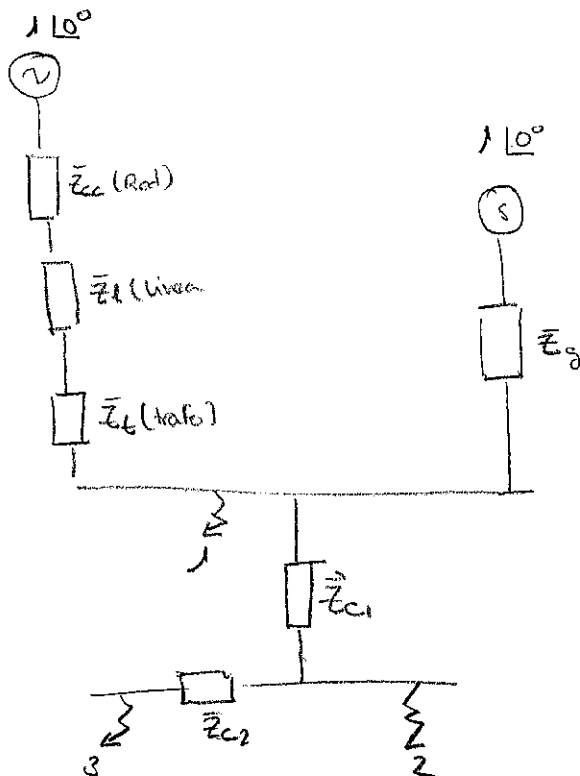
$$r' = 0,3892 \text{ } \Omega/\text{km}$$

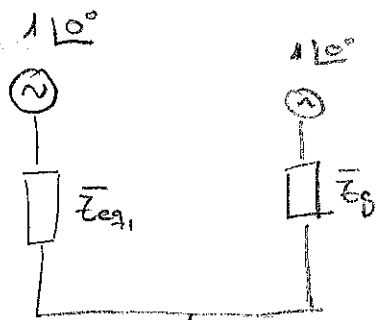
$$x' = 0,09 \text{ } \Omega/\text{km}$$

$$\bar{Z}_{c2} = \frac{S_b}{Z_c} \cdot L \cdot (r' + x'j) = \frac{1}{0,1444} \cdot 0,035 \cdot (0,3892 + 0,09j)$$

$$\bar{Z}_{c2} = 0,0946 + 0,0219j$$

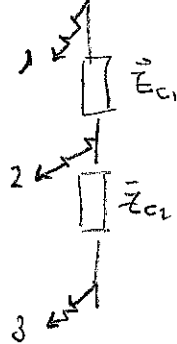
### Diagrama uiklar



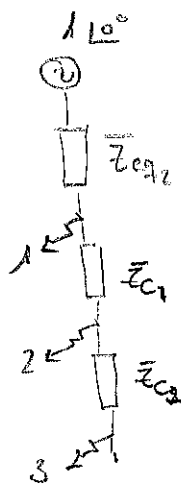


$$\bar{Z}_{eq1} = \bar{Z}_{ca} + \bar{Z}_1 + \bar{Z}_E =$$

$$\bar{Z}_{eq1} = 0,01716 + 0,0604j$$



$$\bar{Z}_{eq2} = \frac{1}{\bar{Z}_{eq1}} + \frac{1}{Z_g} = 0,05 \angle 77,48^\circ$$



Conductato en 1

$$\vec{I}_{cc1} = \frac{S_b}{Z_{eq2}} = 20 \angle -77,48 \text{ por } \omega d$$

multiplicar por el valor real de la corriente

$$I_{b2} = \frac{S_{b1}}{\sqrt{3} \cdot U_{b2}} = \frac{1 \cdot 10^6}{\sqrt{3} \cdot 380} = 1.519,34 \text{ A}$$

$$I_{cc1} = 1.519,34 \cdot 20 \angle -77,48 = 30386,8 \angle -77,48 \text{ A}$$

Circuito em 2

$$\bar{I}_{cc2} = \frac{S_b}{\bar{Z}_{eq2} + \bar{Z}_{c1}} = 7,20 \angle -56,42^\circ$$

$$\bar{I}_{cc2} = 1519,34 \cdot 7,20 \angle -56,42^\circ = 10939,25 \angle -56,42^\circ$$

Circuito em 3

$$\bar{I}_{cc3} = \frac{1}{\bar{Z}_{eq2} + \bar{Z}_{c1} + \bar{Z}_{c2}} = 4,54 \angle -38,95^\circ$$

$$\bar{I}_{cc3} = 1519,34 \cdot 4,54 \angle -38,95^\circ = 6906,09 \angle -38,95^\circ$$

Problema 2

gerador G<sub>1</sub>

$$U_n = 20 \text{ kV}$$

$$S_n = 15 \text{ MVA}$$

$$x_d = 15\%$$

$$\bar{X}_{g1} = X'_d \cdot \frac{S_b}{S_n} = 0,15 \cdot \frac{20}{15} = 0,2 \text{ j}$$

gerador G<sub>2</sub>

$$U_n = 26 \text{ kV}$$

$$S_n = 25 \text{ kVA}$$

$$X_d' = 15\%$$

$$\bar{X}_{g2} = X'_d \cdot \frac{S_b}{S_n} = 0,15 \cdot \frac{20}{25} = 0,12 \text{ j}$$

Transformador 1

$$20 \text{ kV} / 45 \text{ kV}$$

$$S_n = 15 \text{ MVA}$$

$$U_{cc} = 10\%$$

$$\cos \varphi = 0,1$$

$$\bar{Z}_{cc1} = E_{cc} \cdot \frac{S_b}{S_n} = 0,1 \cdot \frac{20}{15} = 0,133$$

$$r_{cc1} = \bar{Z}_{cc1} \cdot \cos \varphi_{cc1} = 0,133 \cdot 0,1 = 0,0133$$

$$x_{cc1} = \bar{Z}_{cc1} \cdot \sin \varphi_{cc1} = 0,133 \cdot \sin \varphi = 0,1326$$

$$\bar{Z}_{cc1} = 0,0133 + 0,1326 \text{ j}$$

Transformador 2

$$26 \text{ kV} / 45 \text{ kV}$$

$$S_n = 25 \text{ MVA}$$

$$U_{cc} = 7\%$$

$$\cos \varphi = 0,2$$

$$\bar{Z}_{cc2} = E_{cc} \cdot \frac{S_b}{S_n} = 0,07 \cdot \frac{20}{25} = 0,056$$

$$r_{cc2} = \bar{Z}_{cc2} \cdot \cos \varphi_{cc2} = 0,056 \cdot 0,2 = 0,0112$$

$$x_{cc2} = \bar{Z}_{cc2} \cdot \sin \varphi_{cc2} = 0,056 \cdot \sin \varphi_{cc2} = 0,0549$$

$$\bar{Z}_{cc2} = 0,0112 + 0,0549 \text{ j}$$

Linea 1

$L = 50 \text{ km}$

$Z' = 0,2 + 0,15j \ \Omega/\text{km}$

$$Z_{b1} = \frac{U_{b1}^2}{S_b} = \frac{(45 \cdot 10^3)^2}{20 \cdot 10^6} = 101,25 \ \Omega$$

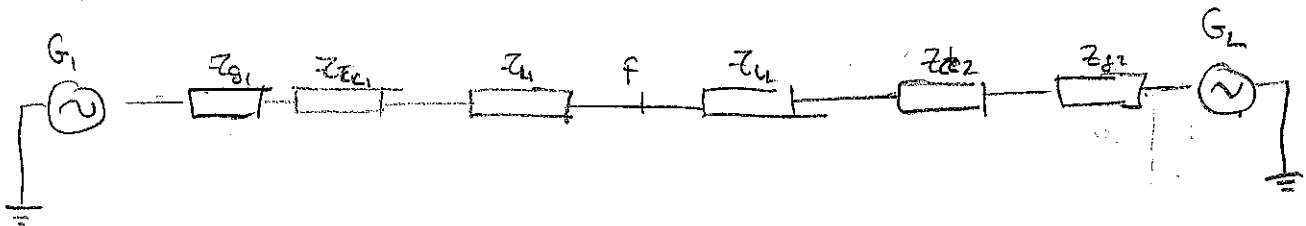
$$\bar{Z}_{L1} = \frac{1}{Z_b} \cdot L \cdot Z' = \frac{1}{101,25 \ \Omega} \cdot 50 \cdot (0,2 + 0,15j) = 0,0987 + 0,0741j$$

Linea 2

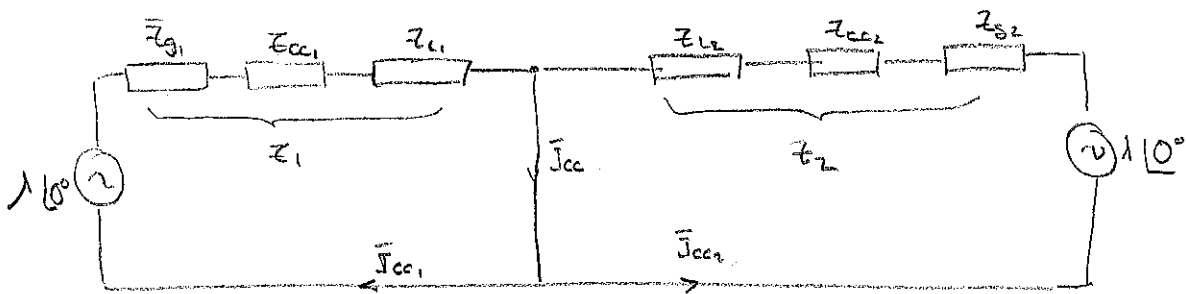
$L = 20 \text{ km}$

$Z' = (0,2 + 0,15j) \ \Omega/\text{km}$

$$\bar{Z}_{L2} = \frac{1}{Z_b} \cdot L \cdot Z' = \frac{1}{101,25} \cdot 20 \cdot (0,2 + 0,15j) = 0,0383 + 0,0291j$$



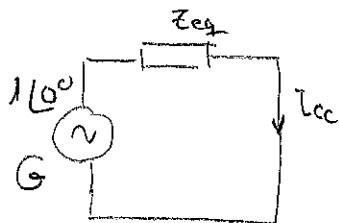
Corriente de falla



$$Z_1 = Z_{g1} + Z_{cc1} + Z_{L1} = 0,1123 + 0,4067j$$

$$Z_2 = Z_{g2} + Z_{cc2} + Z_{L2} = 0,1495 + 0,244j$$

Simplificamos la parte en paralelo



$$Z_{eq} = \frac{\bar{Z}_1 \cdot \bar{Z}_2}{(\bar{Z}_1 + \bar{Z}_2)} =$$

$$I_{cc} = \frac{U_b}{Z_{eq}} = \frac{1}{\frac{Z_1 + Z_2}{\bar{Z}_1 + \bar{Z}_2}} = 5,842 \angle -65,01^\circ$$

$$\text{Intensidad en la zona} = I_b = \frac{S_b}{\sqrt{3} \cdot U_{b1}} = \frac{20 \cdot 10^6}{\sqrt{3} \cdot 45 \cdot 10^3} = 256,6 \text{ A}$$

$$I_{cca} = 256,6 \cdot 5,842 \angle -65,01^\circ = 1490 \angle -65,01^\circ$$

Corriente por las líneas y por los generadores.

Por el divisor de admitancia.

$$\bar{I}_{cc1} = \bar{I}_{cc} \cdot \frac{\bar{Z}_2}{\bar{Z}_1 + \bar{Z}_2} = \frac{0,2861 \angle 58,50}{(0,2618 + 0,6507j)} = \frac{0,2861 \angle 58,50}{0,7014 \angle 69,00} \cdot 0,842 \angle -65,01 = 2,3829 \angle -74,54^\circ$$

$$i_{cc2} = i_{cc} \cdot \frac{\bar{Z}_1}{\bar{Z}_1 + \bar{Z}_2} = 3,508 \angle -58,55^\circ$$

La magnitud real

$$I_{cc1} = I_b \cdot i_{cc1} = 256,6 \cdot 2,3829 \angle -74,54^\circ = 611,48 \angle -74,54^\circ$$

$$I_{cc2} = I_b \cdot i_{cc2} = 256,6 \cdot 3,508 \angle -58,55^\circ = 900,15 \angle -58,55^\circ$$

La intensidad en la rama de la generadora.

$$I_{b(s1)} = \frac{S_b}{\sqrt{3} U_{b(s1)}} = \frac{20 \cdot 10^6}{\sqrt{3} \cdot 20 \cdot 10^3} = 557,35 \text{ A}$$

$$I_{b(s2)} = \frac{S_b}{\sqrt{3} \cdot U_{b(s2)}} = \frac{20 \cdot 10^6}{\sqrt{3} \cdot 26 \cdot 10^3} = 444,12 \text{ A}$$

Por tanto la corriente en la generadora

$$I_{cc(s1)} = I_{cc1} \cdot I_{b(s1)} = 1875,87 \angle -7,45^\circ$$

$$I_{cc(s2)} = I_{cc2} \cdot I_{b(s2)} = 1557,898 \angle -58,55^\circ$$

Tensión en las líneas

### Problema 3

$$S_b = 15 \text{ MVA}$$

Tensões de base na esq. e direita  $U_{b1} (20 \text{ kV})$  e  $U_{b2} (380 \text{ V})$

Gerador 1

$$U_n = 20 \text{ kV}$$

$$S_n = 15 \text{ MVA}$$

$$X'd = 15\%$$

$$\bar{X}_{g1} = X'd \cdot \frac{S_b}{S_n} = 0,15 \cdot \frac{15}{15} = 0,15j \checkmark$$

Gerador 2

$$U_n = 20 \text{ kV}$$

$$S_n = 25 \text{ MVA}$$

$$X'd = 15\%$$

$$\bar{X}_{g2} = X'd \cdot \frac{S_b}{S_n} = 0,15 \cdot \frac{15}{25} = 0,09j \checkmark$$

Linea 1

$$L = 20 \text{ km}$$

$$z' = 0,2 + 0,15j \Omega/\text{km}$$

$$Z_{b1} = \frac{U_{b1}^2}{S_b} = \frac{(20 \cdot 10^3)^2}{15 \cdot 10^6} = 26,66 \Omega$$

$$\bar{Z}_{L1} = \frac{1}{Z_b} \cdot L \cdot z' = \frac{1}{26,66} \cdot 20 \cdot (0,2 + 0,15j) = (0,15 + 0,1125j) \checkmark$$

Linea 2

$$L = 10 \text{ km}$$

$$z' = 0,2 + 0,1j \Omega/\text{km}$$

$$Z_{b1} = \frac{U_{b1}^2}{S_b} = \frac{(20 \cdot 10^3)^2}{15 \cdot 10^6} = 26,66$$

$$\bar{Z}_{L2} = \frac{1}{Z_b} \cdot L \cdot z' = \frac{1}{26,66} \cdot 10 \cdot (0,2 + 0,1j) = (0,075 + 0,0375j) \checkmark$$

Transtovador

$$S_n = 1 \text{ MVA}$$

$$20 \text{ kV} / 380 \text{ V}$$

$$E_{cc} = 10\%$$

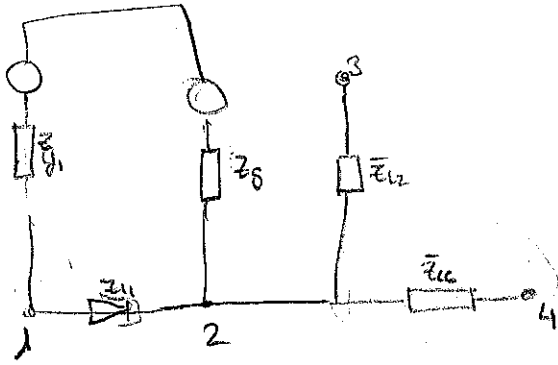
$$\cos \varphi = 0,1$$

$$Z_{cc} (\text{p.u.}) = E_{cc} \cdot \frac{S_b}{S_n} = 0,1 \cdot \frac{15}{5} = 0,3$$

$$X_{cc} = Z_{cc} \cdot \cos \varphi = 0,3 \cdot 0,1 = 0,03$$

$$X_{cc} = Z_{cc} \cdot \sin \varphi = 0,3 \cdot 0,985 = 0,2955$$

$$\bar{Z}_{cc} = (0,03 + 0,2955j) \checkmark$$



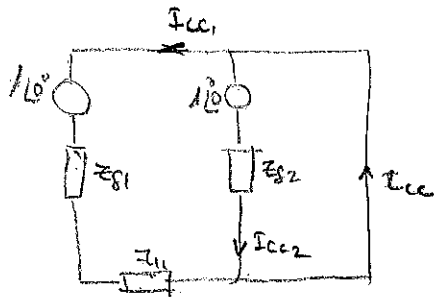
Zona 1  $U_{b1} = 20 \text{ kVA}$

$$I_{b1} = \frac{S_b}{\sqrt{3} U_{b1}} = \frac{15 \cdot 10^6}{\sqrt{3} \cdot 20 \cdot 10^3} = 433 \text{ A} \quad Z_{b1} = \frac{U_{b1}^2}{S_b} = \frac{(20 \cdot 10^3)^2}{15 \cdot 10^6} = 26,67 \Omega$$

Zona 2  $U_{b2} = 380 \text{ V}$

$$I_{b2} = \frac{S_b}{\sqrt{3} U_{b2}} = \frac{15 \cdot 10^6}{\sqrt{3} \cdot 380} = 22790,1 \text{ A} \quad Z_{b2} = \frac{U_{b2}^2}{S_b} = \frac{(380)^2}{15 \cdot 10^6} = 0,0098 \Omega$$

en el punto 1



$$\bar{I}_{cc1} = \frac{1 \angle 0^\circ}{Z_{12} + Z_{11}} = \frac{1 \angle 0^\circ}{0,15j + (0,15 + 0,1125j)} = \frac{1 \angle 0^\circ}{(0,15 + 0,2625j)}$$

$$\bar{I}_{cc1} = \frac{1 \angle 0^\circ}{0,3023 \angle 60,26^\circ} = 3,30 \angle -60,26^\circ$$

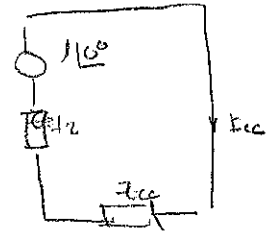
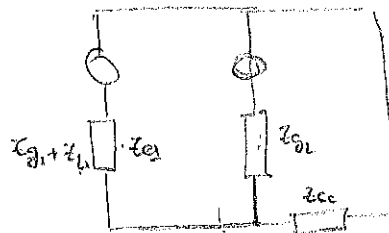
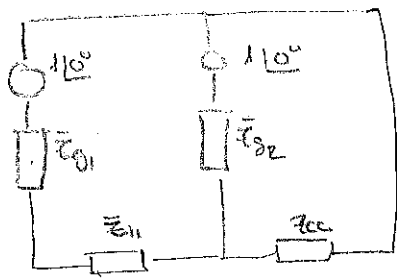
$$\bar{I}_{cc2} = \frac{1 \angle 0^\circ}{0,09j} = 11,11 \angle -90^\circ$$

$$I_{cc} = I_{cc1} + I_{cc2} = 14,08 \angle -83,21^\circ$$

Como esto en la zona 1

$$I_{cc} = 433 \cdot 14,08 = 6096,64 \angle -83,21^\circ$$

# Corriente en el nodo 4



$$I_{cc} = \frac{1}{z_{e1} + z_{cc}} = \frac{1}{0,0883 + 0,8685j} = 2,7 \angle -84,04^\circ$$

$$I_{cc} = I_{b2} \cdot I_{cc} = 22790,1 \cdot 2,7 \angle -84,04^\circ = 61,53 \angle -84,04 \text{ kA}$$

## Problema 4

Tenemos 3 zona debido a la presencia de 2 transformadores.

Zona 1  $U_{b1} = 3 \text{ kV}$

Zona 2  $U_{b2} = 6 \text{ kV}$

Zona 3  $U_{b3} = 45 \text{ kV}$

$$I_{b3}^* = \frac{S_b}{\sqrt{3} \cdot U_{b3}} = \frac{15 \cdot 10^6}{\sqrt{3} \cdot 45 \cdot 10^3} = 192,45 \text{ A} \quad z_{b3}^* = \frac{U_b^2}{S_b} = 135 \Omega$$

Diagrama de impedancias en unidades unitarias.

Generador 1

$U_n = 3 \text{ kV}$   
 $S_n = 5 \text{ MVA}$   
 $X'_d = 10\%$

$$X_{s1}^* = X'_d \cdot \frac{S_b}{S_n} = 0,1 \cdot \frac{15}{5} = 0,3j$$

Generador 2

$U_n = 6 \text{ kV}$   
 $S_n = 10 \text{ MVA}$   
 $X'_d = 15\%$

$$X_{s2}^* = X'_d \cdot \frac{S_b}{S_n} = 0,15 \cdot \frac{15}{10} = 0,225j$$

Linea 1

$L = 20 \text{ km}$

$Z' = 0,05 + 0,15j \text{ } \Omega/\text{km}$

Linea 2

$L = 15 \text{ km}$

$Z' = 0,07 + 0,2j \text{ } \Omega/\text{km}$

Transformador 1

$3 \text{ kV} / 45 \text{ kV}$

$S_n = 5 \text{ MVA}$

$E_{cc} = 10\%$

$\cos \varphi = 0,1$

Transformador 2

$6 \text{ kV} / 45 \text{ kV}$

$S_n = 10 \text{ MVA}$

$E_{cc} = 10\%$

$\cos \varphi = 0,1$

$Z_{b3} = \frac{U_{b3}^2}{S_b} = \frac{(45 \cdot 10^3)^2}{15 \cdot 10^6} = 135 \Omega$

$Z_{L1} = \frac{1}{Z_{b3}} \cdot L \cdot Z' = \frac{1}{135} \cdot 20 \cdot (0,05 + 0,15j) = 0,0074 + 0,0222j \checkmark$

$Z_{L2} = \frac{1}{Z_{b3}} \cdot L \cdot Z' = \frac{1}{135} \cdot 15 \cdot (0,07 + 0,2j) = 0,0077 + 0,0222j \checkmark$

$Z_{cc1} = E_{cc} \cdot \frac{S_b}{S_n} = 0,1 \cdot \frac{15}{5} = 0,3$

$r_{cc} = Z_{cc} \cdot \cos \varphi = 0,3 \cdot 0,1 = 0,03$

$X_{cc} = Z_{cc} \cdot \sin \varphi = 0,3 \cdot \sin \varphi = 0,298$

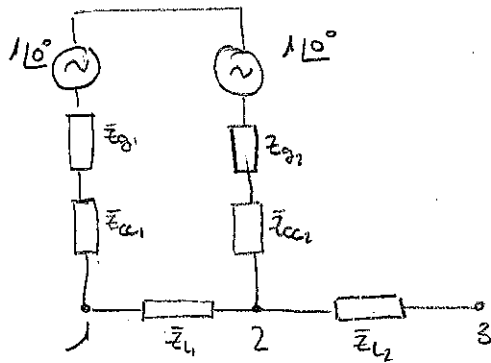
$Z_{cc1} = r_{cc} + X_{cc}j = (0,03 + 0,298j) \checkmark$

$Z_{cc2} = E_{cc} \cdot \frac{S_b}{S_n} = 0,1 \cdot \frac{15}{10} = 0,15$

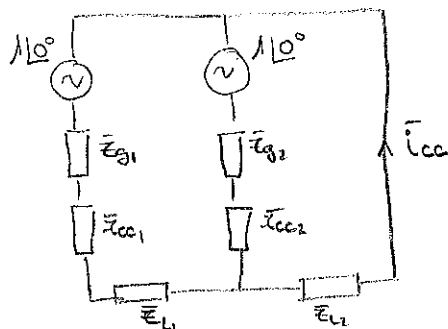
$r_{cc} = Z_{cc} \cdot \cos \varphi = 0,15 \cdot 0,1 = 0,015$

$X_{cc} = Z_{cc} \cdot \sin \varphi = 0,15 \cdot \sin \varphi = 0,1492$

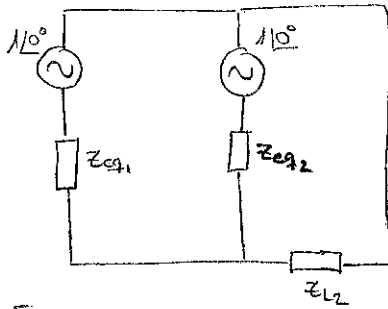
$Z_{cc2} = r_{cc} + X_{cc}j = (0,015 + 0,1492j) \checkmark$



Cortecircuito en el nodo 3

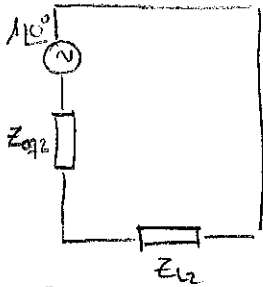


Simplifico el circuito



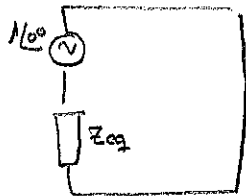
$$\bar{Z}_{eq1} = \bar{Z}_{R1} + \bar{Z}_{cc1} + \bar{Z}_{L1} = 0,3j + (0,03 + 0,298j) + (0,0074 + 0,0222j) = (0,0374 + 0,6202j) = 0,6213 \angle 86,50^\circ$$

$$\bar{Z}_{eq2} = \bar{Z}_{R2} + \bar{Z}_{cc2} = 0,225j + (0,015 + 0,1492j) = (0,015 + 0,3742j) = 0,3745 \angle 87,70^\circ$$



$$\bar{Z}_{eq3} = \frac{\bar{Z}_{eq1} \cdot \bar{Z}_{eq2}}{\bar{Z}_{eq1} + \bar{Z}_{eq2}} = \frac{0,6213 \angle 86,50^\circ \cdot 0,3745 \angle 87,70^\circ}{(0,0524 + 0,9942j)} = \frac{0,2327 \angle 174,2^\circ}{0,9956 \angle 86,98^\circ} = 0,2337 \angle 87,22^\circ$$

$$\bar{Z}_{eq3} = (0,0113 + 0,2334j)$$



$$\bar{Z}_{eq} = \bar{Z}_{eq3} + \bar{Z}_{L2} = (0,0113 + 0,2334j) + (0,0077 + 0,0222j) =$$

$$\bar{Z}_{eq} = (0,019 + 0,2556j) = 0,2563 \angle 85,74^\circ$$

$$0,4599 \angle 80,70^\circ$$

$$\bar{I}_{cc3} = \frac{110}{\bar{Z}_{eq}} = \frac{110}{0,2563 \angle 85,74^\circ} = 3,90 \angle -85,74^\circ$$

$$I_{b3} = \frac{S_b}{\sqrt{3} \cdot U_{b3}} = \frac{15 \cdot 10^6}{\sqrt{3} \cdot 45 \cdot 10^3} = 192,45 \text{ A}$$

$$I_{cc3} = \bar{I}_{cc3} \cdot I_{b3} = 750 \angle -85,74^\circ \text{ A}$$



## PROBLEMAS

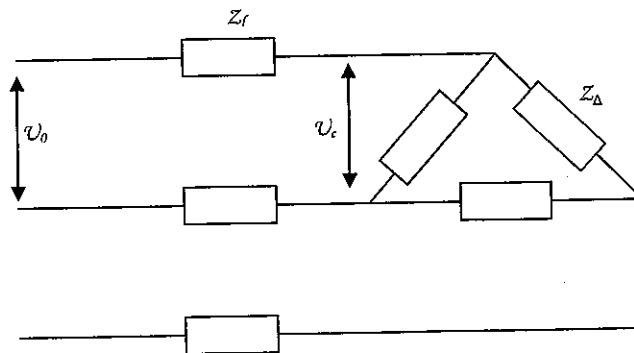
### PROBLEMA 1

Una carga de impedancia por fase  $Z_{\Delta} = 60 \angle 30^{\circ} \Omega$  está conectada en conexión triángulo a una línea de impedancia  $Z_f = 1,4 \angle 75^{\circ} \Omega$  siendo la tensión en final de línea de 4,4 kV ( $v_c$ ). Se pide calcular:

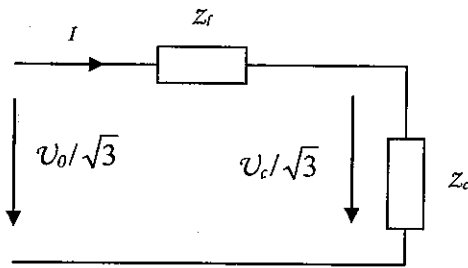
- Tensión de línea en cabecera.
- Potencia consumida en la carga y pérdidas de activa y reactiva en la línea.
- Realizar los cálculos anteriores en magnitudes unitarias. Tómese como valores base los siguientes: Tensión 4,4 kV, potencia 1.000 kVA.

### Solución

El esquema de la conexión se indica en la figura:



- Trabajaremos con el circuito equivalente monofásico que se muestra en la figura siguiente.



Siendo

$$Z_l = 1,4 / 75^\circ \Omega$$

$$Z_c = 60/3 / 30^\circ \Omega = 20 / 30^\circ \Omega$$

De aquí: 
$$I = \frac{v_c / \sqrt{3}}{Z_c} = \frac{4.400 / \sqrt{3} / 0^\circ}{20 / 30^\circ} = 127 / -30^\circ \text{ A}$$

Luego

$$\frac{v_0}{\sqrt{3}} = I \cdot Z_l + \frac{v_c}{\sqrt{3}} = 127 / -30^\circ \times 1,4 / 75^\circ + 4.400 / \sqrt{3} = 2.669 / 2,70^\circ \text{ V} \Rightarrow U_0 = 4,622 \text{ kV}$$

b) La potencia compleja en la carga la calculamos a partir del circuito equivalente monofásico:

$$S_c = \frac{v_c}{\sqrt{3}} \times I^* = \frac{4,4 \cdot 10^3}{\sqrt{3}} \times 127 / 30^\circ = 322,623 / 30^\circ \text{ kVA}$$

Potencias (trifásicas) de la carga: 
$$P_c = 3 \cdot S_c \cdot \cos 30^\circ = 838,2 \text{ kW}$$
  

$$Q_c = 3 \cdot S_c \cdot \sin 30^\circ = 483,9 \text{ kVAr}$$

Pérdidas de activa y reactiva en la línea:

$$\Delta P_{\text{línea}} = 3 \cdot I^2 \cdot R_1 = 3 \cdot 127^2 \cdot 1,4 \cdot \cos 75^\circ = 17,53 \text{ kW}$$

$$\Delta Q_{\text{línea}} = 3 \cdot I^2 \cdot X_1 = 3 \cdot 127^2 \cdot 1,4 \cdot \sin 75^\circ = 65,43 \text{ kVAr}$$

c) A partir de la tensión y potencia bases:  $U_b = 4,4 \text{ kV}$  y  $S_b = 1.000 \text{ kVA}$

Calculamos la intensidad e impedancia bases:

$$I_b = \frac{S_b}{\sqrt{3}U_b} = 131,21 \text{ A} \quad Z_b = \frac{U_b^2}{S_b} = 19,36 \Omega$$

Y podemos obtener las magnitudes por unidad:

$$u_c = \frac{4,4}{4,4} = 1 \quad z_c = \frac{20}{19,36} = 1,033 \quad z_l = \frac{1,4}{19,36} = 0,0723$$

y de aquí: 
$$i = \frac{u_c}{z_c} = \frac{1}{1,033} = 0,968 \text{ p.u.}$$

- Potencias consumidas en la carga. De la potencia aparente

$$s_c = u_c \cdot i = 1 \times 0,968 = 0,968 \text{ p.u.}$$

podemos obtener las potencias en magnitudes unitarias:

$$p_c = s_c \cdot \cos 30^\circ = 0,968 \times \cos 30^\circ = 0,838 \text{ p.u.}$$

$$q_c = s_c \cdot \sin 30^\circ = 0,968 \times \sin 30^\circ = 0,484 \text{ p.u.}$$

por lo que las potencias reales son:

$$P_c = p_c \cdot S_b = 0,838 \cdot 1000 = 838 \text{ kW}$$

$$Q_c = q_c \cdot S_b = 0,484 \cdot 1000 = 484 \text{ kVAr} \quad (\text{c.q.d.})$$

- Pérdidas de potencias activa y reactiva en la línea en magnitudes unitarias:

$$\Delta p_{\text{línea}} = i^2 \cdot r_l = 0,968^2 \cdot 0,0723 \cdot \cos 75^\circ = 0,0175 \text{ p.u.}$$

$$\Delta q_{\text{línea}} = i^2 \cdot x_l = 0,968^2 \cdot 0,0723 \cdot \sin 75^\circ = 0,0654 \text{ p.u.}$$

potencias reales:

$$\Delta P_{\text{línea}} = \Delta p_{\text{línea}} \cdot S_b = 0,0175 \cdot 1000 = 17,5 \text{ kW}$$

$$\Delta Q_{\text{línea}} = \Delta q_{\text{línea}} \cdot S_b = 0,0654 \cdot 1000 = 65,4 \text{ kVAr} \quad (\text{c.q.d.})$$

## **PROBLEMA 2**

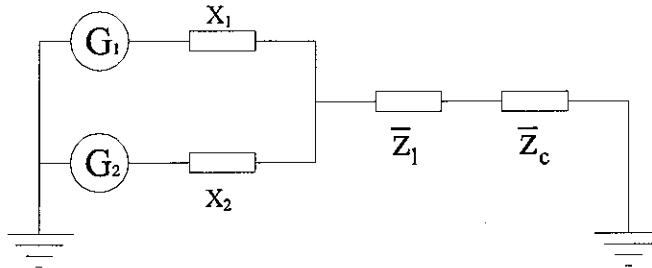
Dos generadores de potencias nominales 2 MVA y 3 MVA, de tensiones nominales 15 kV, están conectados en paralelo para alimentar una carga conectada en estrella cuya impedancia por fase es:  $Z_c = 36 + 27j \Omega$ . La línea que conecta los generadores con la carga tiene una impedancia por fase:  $Z_l = 0,45 + 2,2j \Omega$ . Los generadores se consideran fuentes ideales de tensión en serie con una reactancia cuyo valor es el 10% con respecto a los valores base del generador. Se pide calcular en magnitudes unitarias:

- Corriente absorbida por la carga.
- Corriente inyectada por cada generador.
- Balance de potencias en todo el circuito.
- Tensión en la carga y en el nudo de generación.

Valores base:  $U_b = 15 \text{ kV}$        $S_b = 5 \text{ MVA}$

Solución

El esquema unifilar en magnitudes unitarias de la red se indica en la figura:

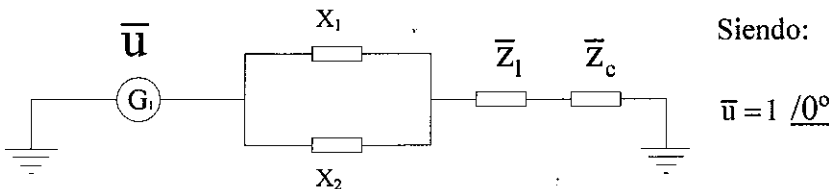


Siendo:

$$x_1 = 0,1 \cdot \frac{5}{2} = 0,25 \text{ p.u.} \quad x_2 = 0,1 \cdot \frac{5}{3} = 0,1667 \text{ p.u.}$$

$$\bar{z}_1 = \frac{0,45 + 2,2j}{45} = 0,01 + 0,049j \text{ p.u.} \quad \bar{z}_c = \frac{36 + 27j}{45} = 0,8 + 0,6j \text{ p.u.}$$

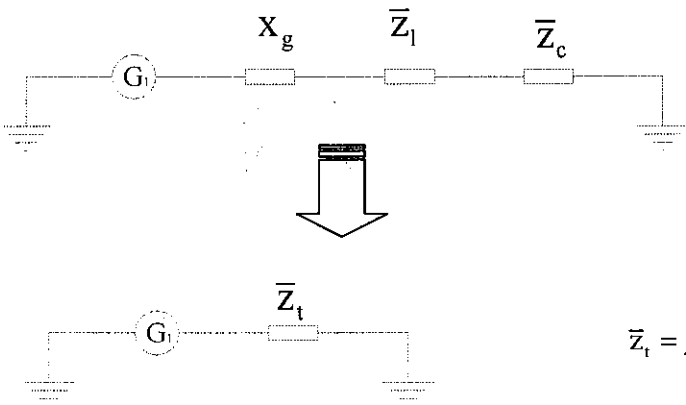
Al trabajar en fase los generadores, podemos simplificar el anterior esquema del modo:



Siendo:

$$\bar{u} = 1 \angle 0^\circ$$

Simplificaciones sucesivas llevan a:



$$x_g = \frac{jx_1 \cdot jx_2}{jx_1 + jx_2} = 0,1 \text{ p.u.}$$

$$\bar{z}_t = jx_g + \bar{z}_1 + \bar{z}_c = 0,81 + 0,749j \text{ p.u.}$$

a) Corriente por la carga: 
$$\bar{i} = \frac{\bar{u}}{\bar{z}_t} = \frac{1}{0,81 + 0,749j} = 0,906 \angle -42,76^\circ \text{ p.u.}$$

b) Corriente en los generadores: por el divisor de intensidad tenemos

$$\bar{i}_{g1} = \bar{i} \cdot \frac{jx_2}{jx_1 + jx_2} = 0,36 \angle -42,76^\circ \text{ p.u.} \quad \bar{i}_{g2} = \bar{i} \cdot \frac{jx_1}{jx_1 + jx_2} = 0,54 \angle -42,76^\circ \text{ p.u.}$$

c) Potencias consumidas por la carga: 
$$p_c = \bar{i}^2 \cdot r_c = 0,906^2 \cdot 0,8 = 0,6567 \text{ p.u.}$$
  

$$q_c = \bar{i}^2 \cdot x_c = 0,906^2 \cdot 0,6 = 0,4925 \text{ p.u.}$$

Pérdida de potencia en la línea: 
$$\Delta p_1 = \bar{i}^2 \cdot r_1 = 0,906^2 \cdot 0,01 = 0,0082 \text{ p.u.}$$
  

$$\Delta q_1 = \bar{i}^2 \cdot x_1 = 0,906^2 \cdot 0,049 = 0,0402 \text{ p.u.}$$

Potencias en el generador: 
$$p_g = p_c + \Delta p_1 = 0,6649 \text{ p.u.}$$
  

$$q_g = q_c + \Delta q_1 + \Delta q_g = 0,6148 \text{ p.u.}$$

Siendo  $\Delta q_g$  la pérdida de potencia reactiva en el generador, calculada por:

$$\Delta q_g = \bar{i}^2 \cdot x_g = 0,906^2 \cdot 0,1 = 0,0821 \text{ p.u.}$$

d) Tensión en la carga:

$$\bar{u}_c = \bar{u} - (\bar{i} \cdot (\bar{z}_1 + x_g)) = 1 \angle 0^\circ - (0,906 \angle -42,76^\circ) \cdot (0,01 + 0,049j + 0,1j) = 0,906 \angle -5,89^\circ \text{ p.u.}$$

Tensión en el nudo de generación:

$$\bar{u}_g = \bar{u} - \bar{i} \cdot x_g = 0,941 \angle -4,06^\circ \text{ p.u.}$$

### PROBLEMA 3

Dos cargas están conectadas en paralelo y demandan las siguientes potencias activas y reactivas:

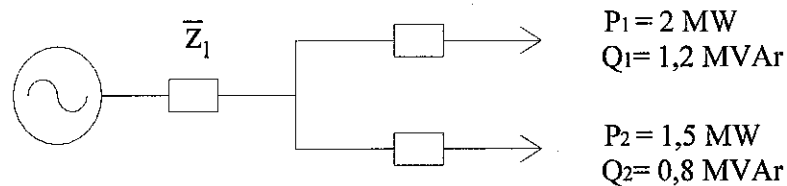
$$P_1 = 2 \text{ MW} \quad P_2 = 1,5 \text{ MW}$$

$$Q_1 = 1,2 \text{ MVar} \quad Q_2 = 0,8 \text{ MVar}$$

Estas cargas están unidas a la subestación mediante una línea de impedancia en magnitudes unitarias  $\bar{Z}_1 = 0,05 / 75^\circ$ . Calcular la tensión en la subestación si la corriente por la línea es de 1 p.u. Tómese como valores base:  $U_b = 15\text{kV}$  y  $S_b = 4\text{MVA}$ .

Solución

El esquema de la conexión se indica en la figura:



Referimos los datos a los valores de base:  $U_b: 15\text{kV}$      $S_b: 4\text{MVA}$

$$p_1 = \frac{P_1}{S_b} = \frac{2}{4} = 0,5\text{p.u.} \qquad p_2 = \frac{P_2}{S_b} = \frac{1,5}{4} = 0,375\text{p.u.}$$

$$q_1 = \frac{Q_1}{S_b} = \frac{1,2}{4} = 0,3\text{p.u.} \qquad q_2 = \frac{Q_2}{S_b} = \frac{0,8}{4} = 0,2\text{p.u.}$$

Ahora, calculamos la potencia total que consumen los receptores, por unidad:

$$\left. \begin{array}{l} \bar{s}_1 = 0,5 + 0,3j \\ \bar{s}_2 = 0,375 + 0,2j \end{array} \right\} \bar{s} = \bar{s}_1 + \bar{s}_2 = 0,875 + 0,5j = 1,008 / 29,74^\circ$$

Con estos datos podemos hallar la pérdida de potencia en la línea:

$$\left\{ \begin{array}{l} \Delta p_1 = r_1 \cdot i^2 = 1^2 \cdot 0,05 \cdot \cos 75^\circ = 0,0129\text{p.u.} \\ \Delta q_1 = x_1 \cdot i^2 = 1^2 \cdot 0,05 \cdot \sin 75^\circ = 0,0483\text{p.u.} \end{array} \right.$$

Las potencias del generador son la suma de las potencias que llegan a la carga y las pérdidas en la línea:

$$\left\{ \begin{array}{l} p_g = p_c + \Delta p_1 = 0,875 + 0,0129 = 0,8879\text{p.u.} \\ q_g = q_c + \Delta q_1 = 0,5 + 0,0483 = 0,5483\text{p.u.} \end{array} \right.$$

Y la potencia aparente total suministrada por el generador:

$$s_g = \sqrt{p_g^2 + q_g^2} = \sqrt{0,8879^2 + 0,548^2} = 1,044 \text{ p.u.}$$

A partir de esta expresión podemos calcular el valor de la tensión del generador:

$$u_g = \frac{s_g}{i} = \frac{1,044}{1} = 1,044 \text{ p.u.}$$

Y multiplicando por el valor de la tensión base obtendremos el valor real de la tensión en el generador:

$$U_g = u_g \cdot U_b = 1,044 \cdot 15 \cdot 10^3 = 15,66 \text{ kV}$$

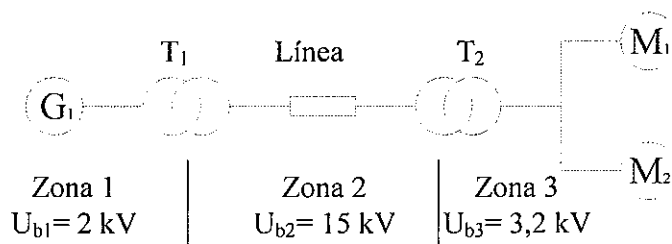
#### PROBLEMA 4

Un generador trifásico de 300 kVA y 2 kV tiene una reactancia del 10%. El generador alimenta dos motores síncronos a través de una línea de transmisión de 6,4 km con una impedancia serie de 0,5  $\Omega$ /km, con transformadores en los dos extremos. Los motores tienen una tensión nominal de 3,2 kV y sus potencias son 200 kVA y 100 kVA. En ambos motores la reactancia es de  $X = 20\%$ . El transformador trifásico T1 tiene una potencia nominal de 350 kVA, una relación de transformación de 15/2 kV y una reactancia de dispersión del 10%. El transformador T2 consiste en un banco de transformadores monofásicos, cada uno de ellos con potencias nominales de 100 kVA, y relación de transformación 8,66/1,85 kV, con una reactancia de dispersión del 10%. Se pide:

- Obtener el diagrama unifilar en magnitudes unitarias.
- Si los motores demandan unas potencias de 120 kW y 60 kW a 3,2 kV, ambos operan con factor de potencia de 0,9, y tienen un rendimiento  $\eta = 0,9$ , calcular la tensión en bornes del generador.

#### Solución

El esquema se indica en la figura:



$$S_b = 300 \text{ kVA}$$

$$\begin{array}{l}
 G \left\{ \begin{array}{l} 300 \text{ kVA} \\ 2 \text{ kV} \\ x_g = 0,1 \text{ p.u.} \end{array} \right. \quad
 T_1 \left\{ \begin{array}{l} 350 \text{ kVA} \\ 15/2 \text{ kV} \\ x_{t1} = 0,1 \text{ p.u.} \end{array} \right. \quad
 T_2 \left\{ \begin{array}{l} 3 \times 100 \text{ kVA} \\ 8,66/1,85 \text{ kV} \\ x_{t2} = 0,1 \text{ p.u.} \end{array} \right. \\
 \\
 M1 \left\{ \begin{array}{l} 200 \text{ kVA} \\ 3,2 \text{ kV} \\ x_{m1} = 0,2 \text{ p.u.} \end{array} \right. \quad
 M2 \left\{ \begin{array}{l} 100 \text{ kVA} \\ 3,2 \text{ kV} \\ x_{m2} = 0,2 \text{ p.u.} \end{array} \right. \quad
 \text{Línea} \left\{ \begin{array}{l} Z_L = 0,5 \ \Omega/\text{km} \\ \text{long.} := 6,4 \text{ km} \end{array} \right.
 \end{array}$$

- a) Las impedancias en magnitudes unitarias de los elementos de la red para las magnitudes base elegidas son:

$$x_g = 0,1 \text{ p.u.}$$

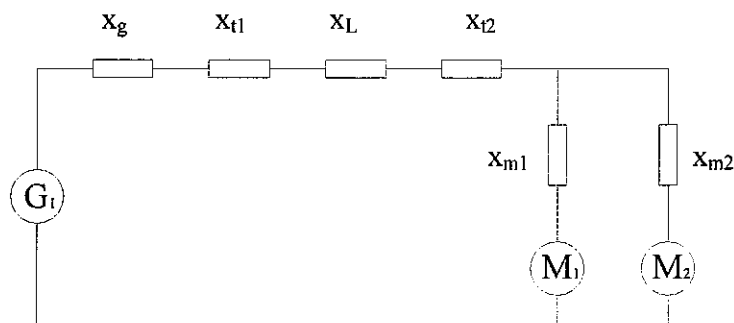
$$x_{t1} = 0,1 \cdot \frac{300}{350} = 0,0857 \text{ p.u.} \quad x_{t2} = 0,1 \text{ p.u.}$$

$$x_{m1} = 0,2 \cdot \frac{300}{200} = 0,3 \text{ p.u.} \quad x_{m2} = 0,2 \cdot \frac{300}{100} = 0,6 \text{ p.u.}$$

para la línea, como la impedancia base de la zona 2 es:  $Z_{b2} = \frac{U_{b2}^2}{S_b} = 750 \ \Omega$

nos queda:  $x_L = \frac{0,5 \cdot 6,4}{750} = 0,00426 \text{ p.u.}$

Siendo el diagrama unifilar en magnitudes unitarias el siguiente:



- b) Tensión en el generador. En primer lugar calculamos las potencias activa y reactiva (en valores por unidad) consumidas por los motores (ambos trabajan con un  $\cos\phi$  de 0,9):

$$p_1 = \frac{P_1}{S_b} = \frac{120}{300} = 0,4 \text{ p.u.}$$

$$p_2 = \frac{P_2}{S_b} = \frac{60}{300} = 0,2 \text{ p.u.}$$

$$p_m = p_1 + p_2 = 0,6 \text{ p.u.}$$

$$q_m = p_1 \cdot \operatorname{tg} \varphi + p_2 \cdot \operatorname{tg} \varphi = 0,2906 \text{ p.u.}$$

y las potencias aparentes:

$$s_1 = \frac{p_1}{\cos \varphi} = 0,44 \text{ p.u.}$$

$$s_2 = \frac{p_2}{\cos \varphi} = 0,22 \text{ p.u.}$$

Como los motores tienen el mismo  $\cos \varphi$ :  $s_m = s_1 + s_2 = 0,66 \text{ p.u.}$

Luego la corriente es:  $i = \frac{s_m}{u_m} = \frac{0,66}{1} = 0,66 \text{ p.u.}$

Las potencias en el generador son:

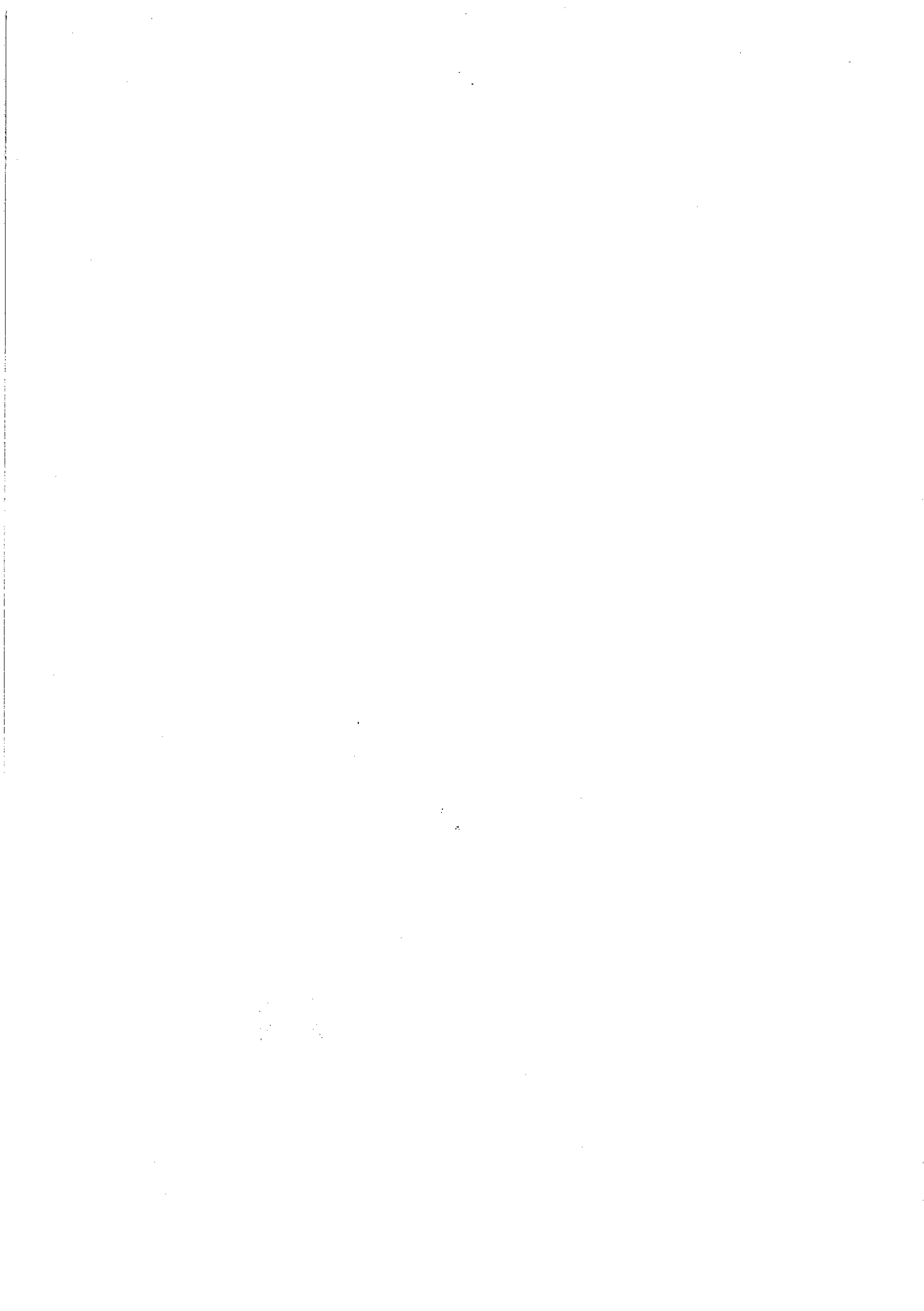
$$p_g = p_m = 0,6 \text{ p.u.}$$

$$q_g = q_m + (i^2 \cdot (x_L + x_{l1} + x_{l2})) = 0,37 \text{ p.u.}$$

por tanto la potencia aparente es:

$$s_g = \sqrt{p_g^2 + q_g^2} = 0,71 \text{ p.u.}$$

y la tensión:  $u_g = \frac{s_g}{i} = 1,071 \text{ p.u.} \Rightarrow U_g = u_g \cdot U_{b1} = 2,14 \text{ kV}$



## Tema 4

### Cálculo de cortocircuitos asimétricos o desequilibrados

Atención al número de fases afectadas tenemos:

- Cortocircuito monofásico;
- Cortocircuito entre dos fases o bifásico;
- Cortocircuito entre dos fases y la tierra que es bifásico a tierra;

#### 1. Introducción a los transitorios.

En el funcionamiento normal tenemos el régimen permanente, tenemos otro régimen el transitorio que dura poco en el tiempo pero pueden llevar al sistema a estados de emergencia, tenemos que ocurre en el sistema por causas externas.

Atención al tiempo de duración de estos fenómenos los podemos dividir en tres partes subos.

a) Transitorios ultrarápidos: duran muy poco por debajo de  $10^{-4}$  segundos, debido a los fenómenos, variaciones de creación o desaparición en alta tensión, elementos de la red de transporte, o bien, los descargas atmosféricas. Fenómenos de muy alta frecuencia, que se propagan a la velocidad próxima a la de la luz, rebota en los extremos y se amortiguan rápidamente, que se obtiene con alto voltajes.

Para el cálculo de estos fenómenos siempre debemos calcular en términos distribuidos, comparando la longitud de la línea con la longitud de la onda que se produce.

(b) Rápido: son debidos a cambios o descargas en la estructura de la red, es decir cortocircuitos,

c) Lentos: son debidos a cambios más o menos bruscos de los campos o de la permeabilidad.

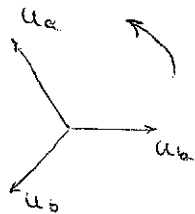
\*

## 2. Teoría de los componentes simétricas.

Tenemos un red desequilibrada, un estado desequilibrado se puede calcular con un método tradicional, pero en el caso de tener red ocurren acoplamientos entre las distintas fases, con lo que no podemos aplicar métodos tradicionales.

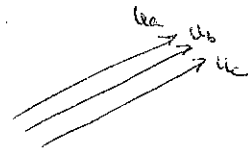
Como que aplicamos al método de los componentes simétricos que se basa en la descomposición de un sistema desequilibrado de vectores, en dos sistemas de vectores equilibrados e independientes.

### Sistema equilibrado



Mismo módulo y los ángulo que forman entre si son iguales,  $120^\circ$

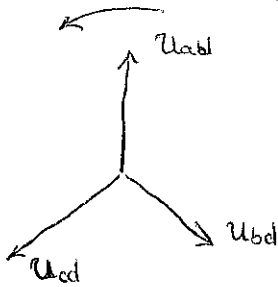
### Sistema de vectores equilibrado



Mismo módulo y ángulo igual  $0^\circ$

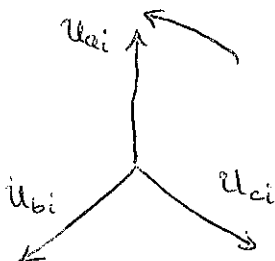
Como uno de los los componentes equilibrados es desbalanceado. "componentes simétricos"

### Sistema de secuencia directa, secuencia positiva



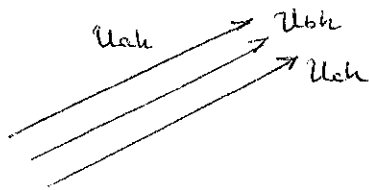
En el cual los tres fases anticorren un sentido horario "directo", en alguna bibliografía pueden encontrar en vez de "d". (la secuencia de ascenso de fases es (a, b, c))

### Sistema de secuencia inversa o negativa



Utilizar el subíndice "i" o "2"  
ascenso de fases (a, c, b)

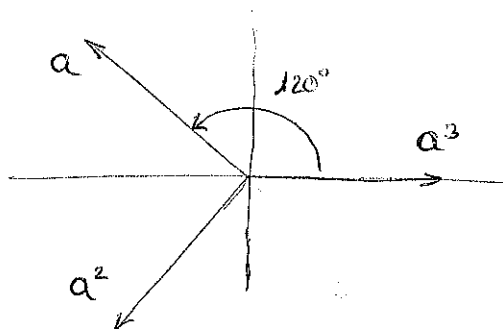
## Sistemas de secuencia homopolar o secuencia cero



Se utiliza el subíndice "h" y a veces "0"

Utilizaremos un operador vector  $a$  que tiene módulo la unidad y argumento  $120^\circ$ .

$$a = 1 \angle 120^\circ \quad a^2 = 1 \angle 240^\circ \quad a^3 = 1 \angle 0^\circ$$



La única función que realza el vector  $a$  a  $a^2$  es  $120^\circ$ .

$$a + a^2 + a^3 = 0$$

## Representación de sistemas en función de $a$ los fasas $a$ y $b$

### Sistema directo

$$U_{bd} = a^2 \cdot U_{ad}$$

$$U_{cd} = a \cdot U_{ad}$$

### Sistema inverso

$$U_{bi} = a \cdot U_{ai}$$

$$U_{ci} = a^2 \cdot U_{ai}$$

### Sistema homopolar

$$U_{bh} = U_{ch} = U_{ah}$$

a la componente  $a$  de cada uno de los sistemas se le va a denominar como "componentes simétricas" ( $U_{ad}, U_{ai}, U_{ah}$ ).

## Teorema de Fortescue

Cualquier sistema trifásico de vectores desequilibrados, puede descomponerse, en la suma de tres sistemas equilibrados, uno de secuencia directa, otro de secuencia inversa y otro de secuencia homópola.

$$\left. \begin{aligned} V_a &= V_{ah} + V_{ad} + V_{ai} \\ V_b &= V_{bh} + V_{bd} + V_{bi} \\ V_c &= V_{ch} + V_{cd} + V_{ci} \end{aligned} \right\}$$

Ponemos en función de sus componentes simétricas.

$$V_a = V_{ah} + V_{ad} + V_{ai}$$

$$V_b = V_{ah} + a^2 V_{ad} + a \cdot V_{ai}$$

$$V_c = V_{ah} + a V_{ad} + a^2 \cdot V_{ai}$$

Sumamos las tres ecuaciones.

$$V_a + V_b + V_c = 3 V_{ah} + \underbrace{V_{ad}(1 + a + a^2)}_0 + \underbrace{V_{ai}(1 + a + a^2)}_0$$

$$\boxed{V_{ah} = \frac{1}{3} (V_a + V_b + V_c)} \quad \text{componente homópola.}$$

Sumamos la primera más la segunda por  $a$  y la tercera por  $a^2$

$$V_a + a V_b + a^2 V_c = V_{ah} \underbrace{(1 + a + a^2)}_0 + \underbrace{V_{ad}(1 + a^3 + a^3)}_3 + \underbrace{V_{ai}(1 + a^2 + a^4)}_0$$

$$\boxed{V_{ad} = \frac{1}{3} (V_a + a V_b + a^2 V_c)} \quad \text{componente directa.}$$

Sumamos la primera ecuación multiplicada por  $a^2$  y la tercera multiplicada por  $a$

$$V_a + a^2 V_b + a \cdot V_c = V_{ah} \underbrace{(1 + a^2 + a^2)}_0 + \underbrace{V_{ad}(1 + a^2 + a^4)}_0 + \underbrace{V_{ai}(1 + a^3 + a^3)}_3$$

$$\boxed{V_{ai} = \frac{1}{3} (V_a + a^2 V_b + a V_c)} \quad \text{componente inversa}$$

Expreses en forma matricial las expresiones anteriores

$$\begin{bmatrix} V_{ah} \\ V_{ad} \\ V_{ai} \end{bmatrix} = \frac{1}{3} \begin{bmatrix} 1 & 1 & 1 \\ 1 & a & a^2 \\ 1 & a^2 & a \end{bmatrix} \cdot \begin{bmatrix} V_a \\ V_b \\ V_c \end{bmatrix} \quad (2)$$

$[A]^{-1}$

Expreses de forma inversa porces

$$\begin{bmatrix} V_a \\ V_b \\ V_c \end{bmatrix} = \begin{bmatrix} 1 & 1 & 1 \\ 1 & a^2 & a \\ 1 & a & a^2 \end{bmatrix} \begin{bmatrix} V_{ah} \\ V_{ad} \\ V_{ai} \end{bmatrix} \quad (1)$$

$[A]$

En la relación (1) porces por las constantes reales y en la (2) las componentes simétricas.

hallamos de las componentes simétricas  $V_h, V_d$  y  $V_i$  sin el abinencia  $a$  que es en relación con  $V_a$ .

## 2.1. Potencia de un sistema trifásico asimétrico.

Vamos a demostrar que la potencia compleja de un sistema trifásico desequilibrado es igual a la suma de las potencias complejas de los sistemas directo, inverso y los modos independientes. (sin relación entre los distintos sistemas)

$$\vec{S} = U \cdot I^* \quad (\text{si hablamos de un sistema monofásico})$$

$$\vec{S} = 3 \cdot V \cdot I^* \quad (\text{sistema trifásico equilibrado, tensión de fase})$$

$$\vec{S} = U_a \cdot I_a^* + U_b \cdot I_b^* + U_c \cdot I_c^* \quad (\text{sistema trifásico desequilibrado})$$

$$\left. \begin{aligned} U_a &= U_h + U_d + U_i \\ U_b &= U_h + a^2 U_d + a U_i \\ U_c &= U_h + a U_d + a^2 U_i \end{aligned} \right\}$$

$$\left. \begin{aligned} I_a &= I_h + I_d + I_i \\ I_b &= I_h + a^2 I_d + a I_i \\ I_c &= I_h + a I_d + a^2 I_i \end{aligned} \right\} \begin{aligned} I_a^* &= I_h^* + I_d^* + I_i^* \\ I_b^* &= I_h^* + a I_d^* + a^2 I_i^* \\ I_c^* &= I_h^* + a^2 I_d^* + a I_i^* \end{aligned}$$

$$(a^2)^* = a \quad a^* = a^2$$

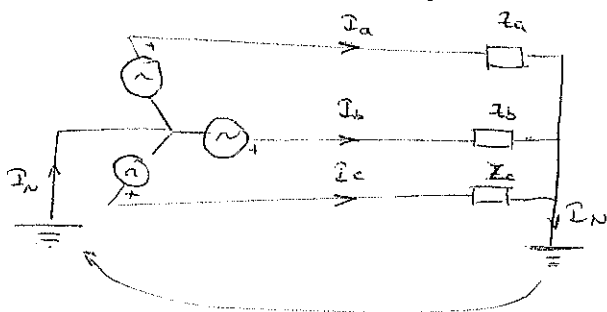
Substituye en la fórmula de la potencia.

$$\begin{aligned} S &= (u_d + u_i + u_u)(I_d^* + I_i^* + I_h^*) + (a^2 u_d + a u_i + u_u)(a I_d^* + a^2 I_i^* + I_h^*) + (a u_d + a^2 u_i + u_u)(a^2 I_d^* + a I_i^* + I_h^*) \\ &= u_d(I_d^* + a^3 I_d^* + a^3 I_d^*) + u_d(I_i^* + a^4 I_i^* + a^2 I_i^*) + u_d(I_h^* + a^2 I_h^* + a I_h^*) + u_i(I_i^* + a^3 I_i^* + a^2 I_i^*) \\ &+ u_i(I_d^* + a^2 I_d^* + a^4 I_d^*) + u_i(I_h^* + a I_h^* + a^2 I_h^*) + u_h(I_h^* + I_h^* + I_h^*) + u_u(I_d^* + a I_d^* + a^2 I_d^*) \\ &+ u_h(I_i^* + a I_i^* + a I_i^*) \end{aligned}$$

$$S = 3 u_d I_d^* + 3 u_i I_i^* + 3 u_u I_h^*$$

La directa + la inversa + la homopolar sin relación entre ellos.

## 2.2 Corriente de neutro



$$Z_a \neq Z_b \neq Z_c$$

Sistema desequilibrado de corriente

A la corriente que sale por el neutro se le llame corriente del neutro y represente por la  $I_N$ .

Aplicamos Kirchhoff

$$I_N = I_a + I_b + I_c$$

Como:

$$I_h = \frac{1}{3} (I_a + I_b + I_c)$$

si elegimos como expresión:

$$I_h = \frac{1}{3} I_N$$

la corriente homopolar es un tercio de la corriente de neutro

Si no tenemos viento en un sistema desequilibrado  $I_N = 0$  por lo tanto  $I_u$  es 0.

"Si tiene la particularidad de que su suma es 0 no tiene un sistema de tres rios de uno porque el horno padre es 0."

Un sistema de tres vectores desequilibrado, dividido en tres equilibrado, y particularmente por su suma = 0 el sistema horno padre no existe.

$$I_N = I_a + I_b + I_c = 0$$

$$I_u = \frac{1}{\sqrt{3}} I_N = 0$$

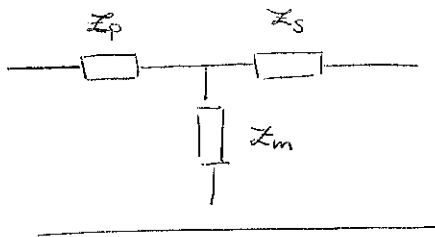
### 2.3 Impedancias de secuencia.

La denominada impedancia de secuencia es la impedancia que un equipo presenta al paso de corrientes de una determinada frecuencia.

Por lo tanto tenemos una impedancia de secuencia inversa, otra de la directa y otra a la horno padre.

En función de las impedancias a los distintos tipos de secuencia tenemos como tipos:

- Cargas estáticas: reactancia positiva inductiva, bobinas, capacitores, etc. en estrella o triángulo. No presentan ninguna conexión positiva u negativa impedancia para los tres secuencias.
- Lineas (y cables): el comportamiento a la secuencia inversa es muy distinto, depende de los corrientes transcurridas y de depende del terreno. La inversa y la directa son iguales. a efectos prácticos, como se reconoce la existencia del terreno, se desprecia y se consideran las impedancias iguales.
- Máquina generadoras: no es la misma al comportamiento a un sistema de secuencia directa que a la secuencia inversa. Se consideran impedancias distintas en un sistema horno padre no se produce pte. precedida simultánea.
- Tránses:



$Z_p$  = impedancia primaria.

$Z_s$  = impedancia de secundario referida al primario.

$Z_m$  = impedancia de magnetización.

### Parámetros longitudinales

$Z_p = R_{scap} + jX_{scap} = R_{scap}$  resistencia debido a las espiras del cable del primario.

$X_{scap}$ : representa el flujo de pérdidas del devanado primario, flujo de dispersión.

$$Z_s = R_{ccs} + jX_{ccs}$$

$R_{ccs}$ : resistencia debido a las espiras del secundario.

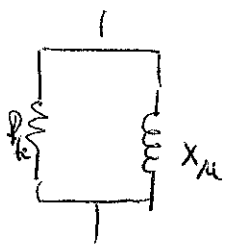
$X_{ccs}$ : flujo de dispersión del secundario.

Con el ensayo en cortocircuito se obtienen los parámetros longitudinales, la  $Z_m$ , se obtiene la reactancia de cortocircuito y la intensidad de corte.

Los parámetros longitudinales ( $R_{cc}$ ,  $X_{cc}$ ) se derivan parámetros de cortocircuito, que son  $R_{cc}$  la suma de las del primario y secundario y lo mismo para  $X_{cc}$ .

El ensayo en cortocircuito se cortocircuita el secundario y se reduce la tensión al primario hasta llegar a la intensidad nominal, un 1% - 3% de la tensión nominal.

### Parámetros transversales



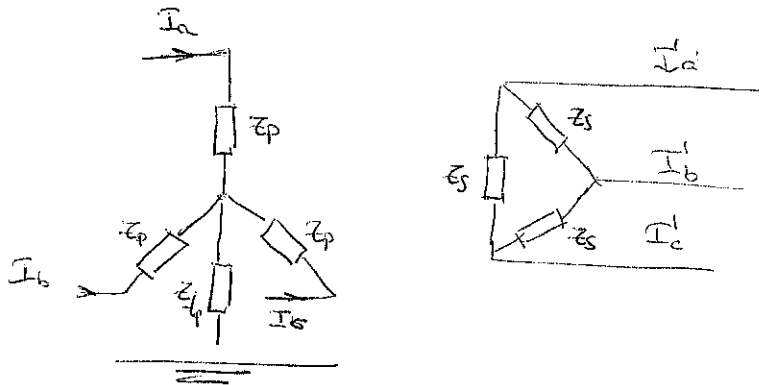
$R_{fe}$  = Pérdida de potencia activa que se produce en el núcleo, por los corrientes de Foucault. Una corriente que intenta oponerse al campo magnético que provoca calentamiento, también tiene en cuenta los corrientes de histéresis.

$X_{\mu}$  = reactancia de magnetización, existe por la creación del campo magnético, en la configuración del transformador.

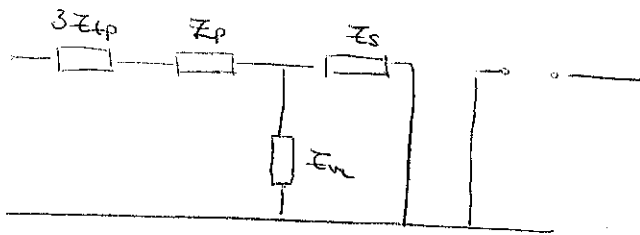


Primer caso

1) Debucado en estrella a tierra y de otro en triángulo (  $\star$   $\triangle$  )

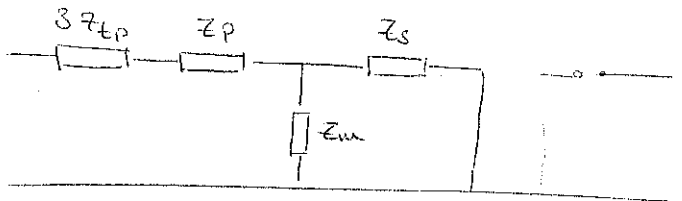


Aplicamos un sistema de tensiones lineales.

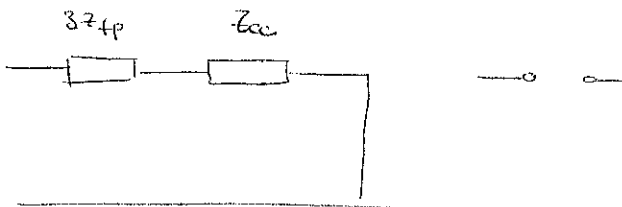


Dea colera le impedancia lineal se representa 3 veces le impedancia de tierra del primario

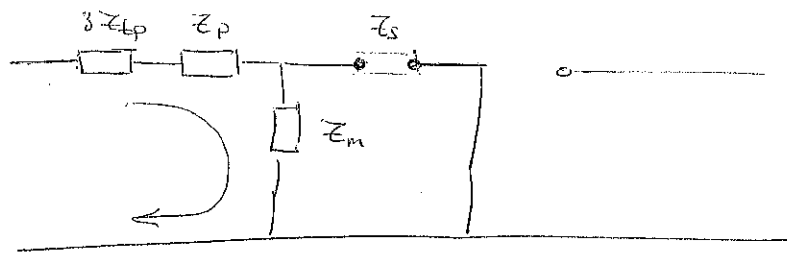
Simplificamos el circuito.



Depreda  $Z_m$  por ser muy grande



2) Potencia de cavidad en estrella con neutro y otra en estrella con neutro aislado.



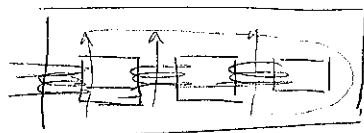
No puede tener en el punto un corriente neutro por que con lo que le  $Z_s$  se convierte en infinita, porque lo que sale del lado de estrella tiene que ser 0 y no puede pasar corriente neutro.

En este caso  $Z_s$  es mejor dejar que  $Z_m$  con lo que analizamos el circuito y es en este caso cuando el neutro negativo juega un papel, dependiendo de la velocidad del ciclo negativo y los encadenamientos de partes fijas de transformadores, atendiendo a niveles homopolares:

1) a) transformadores con 3 núcleos magnéticos independientes y b) tramos de 40T Columnas.

a) no tenemos problemas porque existe la corriente homopolar y la creación de un campo magnético homopolar.

b) cuando tenemos una bobina o quilibra cualquier otro dispositivo para que retorne el campo magnético homopolar.



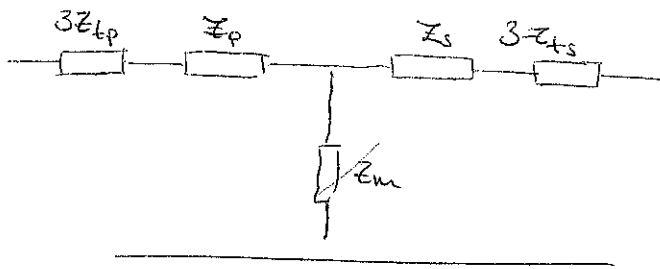
No tenemos en ambos casos a y b por los retornos de los campos homopolares.

2º) familia transformador de 3 columnas: obligamos que el campo magnético se cierre por el material que rodea por el lienzo de la cuba, es decir por todas las aleaciones metálicas que producen pérdidas.

En la práctica si estamos en el caso de la primera familia el valor de  $Z_m$  es muy elevado, por lo tanto la impedancia homopolar es inhibida por lo tanto no hay corriente e tensión homopolar en el primario.

Por el segundo tipo de familias, en este caso  $Z_m$  es bastante más pequeña, con lo cual en este caso puede haber un flujo de corriente homopolar por el primario. "si en la práctica se hubiera usado despreciables  $Z_m$  al no haberse usado el núcleo del transformador."

3) Tercera conexión los dos estremos a tierra. puede circular corriente o tensión homopolar tanto como por el primario como por el secundario.



Causa  $Z_m$  es muy opor a lo simplificado es que  
 $\frac{Z_p + Z_s}{3Z_t}$   $\frac{Z_p + Z_s}{Z_c}$   
 $3Z_t$   $Z_c$

### 3. Aplicación de los teoremas de sistemas desequilibrados.

#### 3.1. Fuentes de tensión desequilibradas y corrientes equilibradas.

Tenemos un sistema equilibrado en corrientes, ilustrado por un sistema desequilibrado de tensiones, que nos va a dar  $I_p$  a un sistema desequilibrado de corrientes. Por el teorema que fortaleza podemos descomponer estos sistemas tanto de tensiones como de corrientes en tres sistemas equilibrados, uno de servicio directo, otro indirecto y otro homopolar, independientes entre sí, de modo que cada servicio se

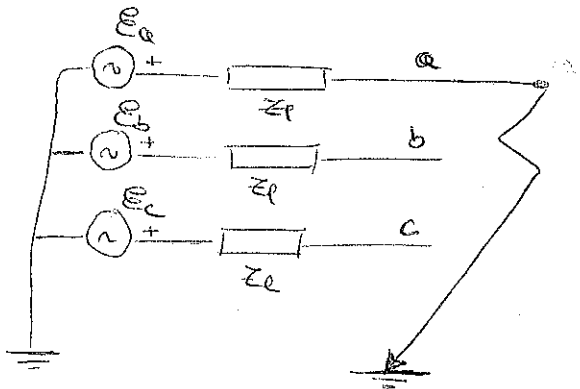
análisis independiente y potencias calcula por tanto la corriente inversa, directa y homopolar. Y la corriente total la calculamos como la suma de las corrientes independientes afectadas por el operador  $a$ .

### 3.2. Sistema trifásico con cargas desequilibradas y fuentes equilibradas.

Sistema desequilibrado en cargas que alimentamos por un sistema equilibrado de fuente de tensión directa, con el cual lo que se equilibra al estar la carga desequilibrada produce un sistema desequilibrado que por el fenómeno de Fortescue produce descomponer en tres sistemas equilibrados, uno de tensión directa, otro inversa y un tercero homopolar, con lo cual tener una tensión de fase directa que de debe a corriente de tensión directa, inversa y homopolar, con lo cual se pierde la independencia que tenemos en el caso anterior. No podemos estudiar las corrientes de forma separada sino que se tienen que relacionar.

### 4. Estudio de defectos asimétricos

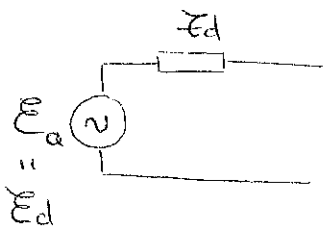
Particularización del método general mencionado en el punto 3.2.



#### 4.1 cortocircuito unofásico, llamado fase tierra o también IPT. (1 polo a tierra)

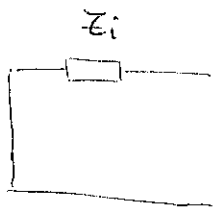
Suponemos que la fase  $a$  se conecta a tierra, cuando ocurre el defecto aparece que ya no hay carga porque el estado que se produce al fallo es un solo valor, con lo cual podemos decirlo.

• Consideramos la red de secuencia.

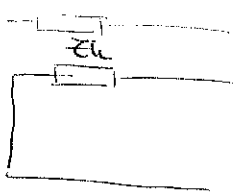


SD

Secuencia directa, fuente de potencia en la red de secuencia directa.



SI



SH

Están conectados a la fuente o defecto u tierra.

Si no hay líneas de tierra  $Z_0 = Z_i$

• Para el defecto, espécificamos para cada caso según el voltaje, los cuales nos darán información acerca de cómo conectar las tres redes de secuencia.

Ecuaciones de defecto para cortocircuito simétrico a tierra

$$(3) I_a = 0$$

$$(1) I_b = 0$$

$$(2) I_c = 0$$

Para pasar las ecuaciones de defecto a las simétricas:

$$(1) I_n + a^2 I_d + a I_i$$

$$(2) I_n + a I_d + a^2 I_i$$

$$(2) - (1) = \underbrace{(a - a^2)}_{\rightarrow -1} I_d + \underbrace{(a^2 - a)}_{\rightarrow 1} I_i = 0 \Rightarrow I_d = I_i$$

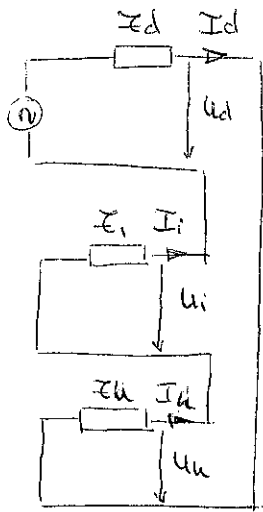
Substituyendo en la ecuación (1)

$$I_n + I_d (a^2 + a) = 0$$

$\rightarrow$

$$I_d = I_i = -I_n$$

Los tres corrientes son iguales como que las redes se conectaron en serie.

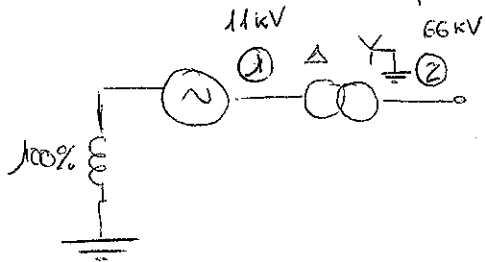


$$(3) = U_d + U_i + U_u = 0$$

Para estudiar un cortocircuito unidimensional  $(0)$  que ocurre en cualquier lugar de la red de potencia en serie.

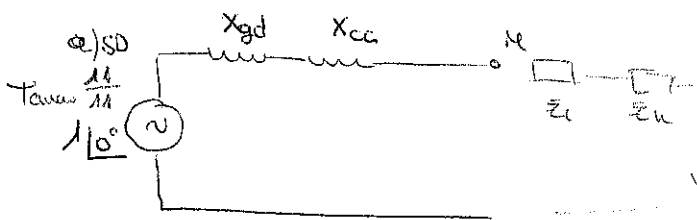
Problema

→ Para la siguiente red, calcular la corriente que pasa por la línea en el caso de un corto en el punto  $w$ . Tomamos como potencia base  $37,5 \text{ MVA}$ .



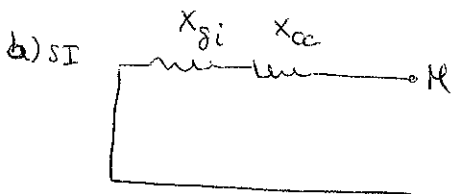
Generador	Tracto
11 kV	11 / 66 kV
37,5 MVA	25 MVA
$X_d = 20\%$	$E_{cc} = 10\%$
$X_i = 15\%$	
$X_u = 5\%$	

Dibujamos las tres redes de secuencia dadas cuando ocurre el defecto

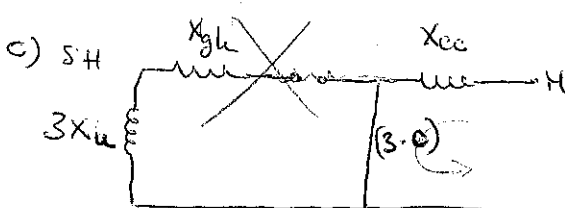


20% de 37,5 por que es la que tiene base.

$$X_{cc} = 0,1 \text{ a } 37,5 \text{ MVA}$$



$$X_{cc i} = X_{cc d}$$



$$I_0 = \frac{1}{E-E}$$

$$U_{b1} = 11 \text{ kV}$$

$$U_{b2} = 66 \text{ kV}$$

Secuencia directa

adimensional por ser unitario.

$$X_{gd} = 0,2 j \checkmark$$

$$X_{cc} = 0,1 \cdot \frac{37,5}{25} = 0,15 j \checkmark$$

Secuencia inversa

$$X_{gi} = 0,15 j \checkmark$$

$$X_{cc} = 0,1 \cdot \frac{37,5}{25} = 0,15 j \checkmark$$

Secuencia homopolar

$$X_{gh} = 0,05 j \checkmark$$

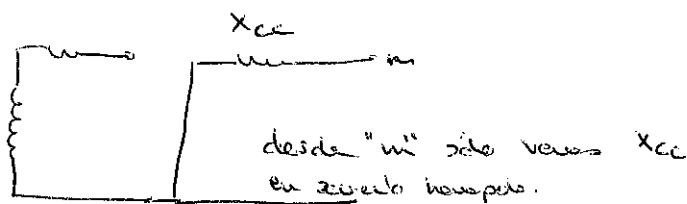
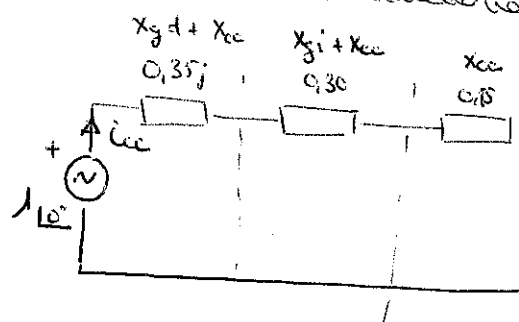
$3X_n =$  impedancia homopolar = 3 veces impedancia de neutro

$X_n =$  puesta a tierra del generador = 100% por tanto 1  $\checkmark$   
tráto

El primario se comporta como un circuito abierto y el secundario estrella puesta a tierra rigida con lo que vale 0 la impedancia de puesta a tierra.

Es valido para cualquier cortocircuito, haremos referencia a los tres sucesos.

Cortocircuito fase tierra, conectamos los tres sucesos en serie



$$i_{cc} = \frac{1}{\sum Z} = \frac{1}{(0,35 + 0,30 + 0,15)} = \frac{1}{0,8} = 1,25$$

$$i_d = i_i = i_h = i_{cc} = 1,25$$

$$I_{d(2)} = i_d \cdot I_{b2} = 1,25 \cdot 328,04 = 410,05 \text{ A}$$

Eje 2

$$I_{b2} = \frac{S_b}{\sqrt{3} U_{b2}} = \frac{37,5 \cdot 10^6}{\sqrt{3} \cdot 66 \cdot 10^3} = 328,04 \text{ A}$$

Porque  $I_d = I_i = I_u$

$$I_a = I_d + I_i + I_u = 3I_d$$

$$I_a = 3I_d = 3 \cdot 410,05 = 1230,15 \text{ A}$$

Calcule  $I_a$  en la zona 1, a partir de  $I_d$  en la zona 1

$$I_{d(1)} = i_d \cdot I_{b,1} = 1,25 \cdot 1968,24 = 2460,3 \text{ A}$$

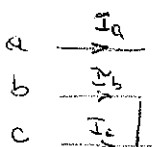
$$I_{b,1} = \frac{S_b}{\sqrt{3} \cdot U_{b,1}} = \frac{37,5 \cdot 10^6}{\sqrt{3} \cdot 11 \cdot 10^3} = 1968,24 \text{ A}$$

$$I_{a(1)} = 3 \cdot I_{d(1)} = 7,38 \text{ kA}$$

→ "la corriente en la fase b y c es 0 porque solo aparece en la fase a"

#### 4.2 Cortocircuito entre fases (2p)

Vamos a suponer que el cortocircuito aparece entre las fases b y c



Tenemos que plantear las he ecuaciones de defecto, que nos dan información de como cae las voltajes de fase.

#### ① Ecuaciones de defecto.

(1)  $I_a = 0$

(2)  $I_b = -I_c$

(3)  $U_b = U_c$

#### ② Ecuaciones de defecto en función de dos corrientes simétricas.

(1)  $I_d + I_i + I_u = 0$

(2)  $I_b = a^2 I_d + a I_i + I_u$

(3)  $I_c = a I_d + a^2 I_i + I_u$

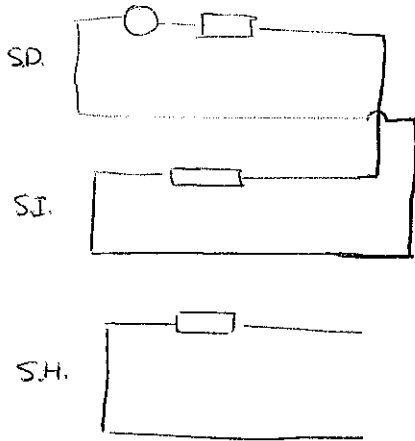
$$\left. \begin{array}{l} (2) \\ (3) \end{array} \right\} \begin{array}{l} I_b + I_c = I_d(a^2 + a) + I_i(a^2 + a) + 2I_u = 0 \quad (2) \\ I_d + I_i = 2I_u \end{array}$$

$$I_d + I_i = -I_u \quad (1)$$

$$I_d + I_i = 2 I_u \rightarrow I_u = 0$$

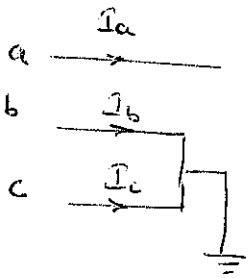
No hay corriente porque no hay cortocircuito a tierra.

Por lo tanto conviene la conexión directa y inversa los conductores de fase tierra, para que sea operativa.



#### 4.3. Cortocircuito entre dos fases y tierra (2pt)

Establezcamos los tres ecuaciones de defecto para este caso, considerando la fase a tierra.



① Ecuaciones de defecto

$$(1) = I_a$$

$$(2) = I_b$$

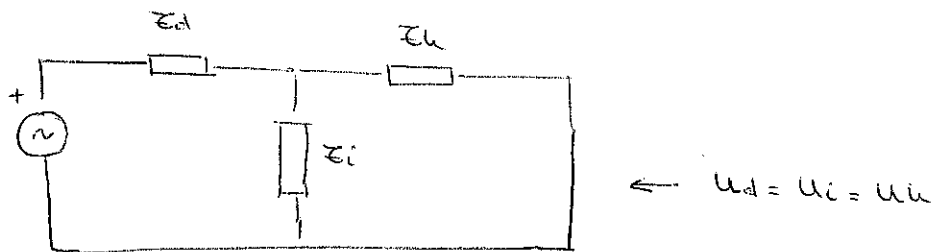
$$(3) = I_c$$

② Ecuaciones de defecto en función de los conductores simétricos.

a partir de (2) y (3) deducen o arriben (1)

los tres valores de corriente los que van a ser el resultado.

Resultado.



5. Hipótesis simplificadas, para el cálculo de cortocircuitos.

Siempre que aparezca un cortocircuito aplico tres hipótesis para simplificar los cálculos.

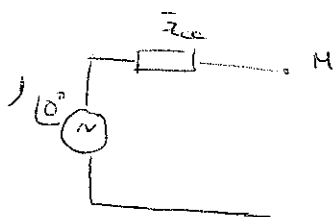
1. Normalmente se desprecia la impedancia del defecto, esta impedancia es muchísimo menor que la que aparece en la transmisión y por ende.

2. Cuando aparece el cortocircuito despreciamos la corriente que circula como consecuencia de la carga, esto es.

3. Los modelos de las líneas que vamos a emplear, tendrán únicamente la parte longitudinal. Despreciamos la transversal y usualmente también despreciamos la resistencia y los guantes con la reactancia, por alta y muy alta tensión.

6. Aparición del cortocircuito en redes con generadores síncronos.

Consideramos que tenemos un sistema, en el que aparece un cortocircuito y que tienen una potencia de cortocircuito infinita.



$$\bar{E}_{cc} = \frac{1}{\bar{S}_{cc}}$$

$\bar{S}_{cc}$  = potencia de cortocircuito

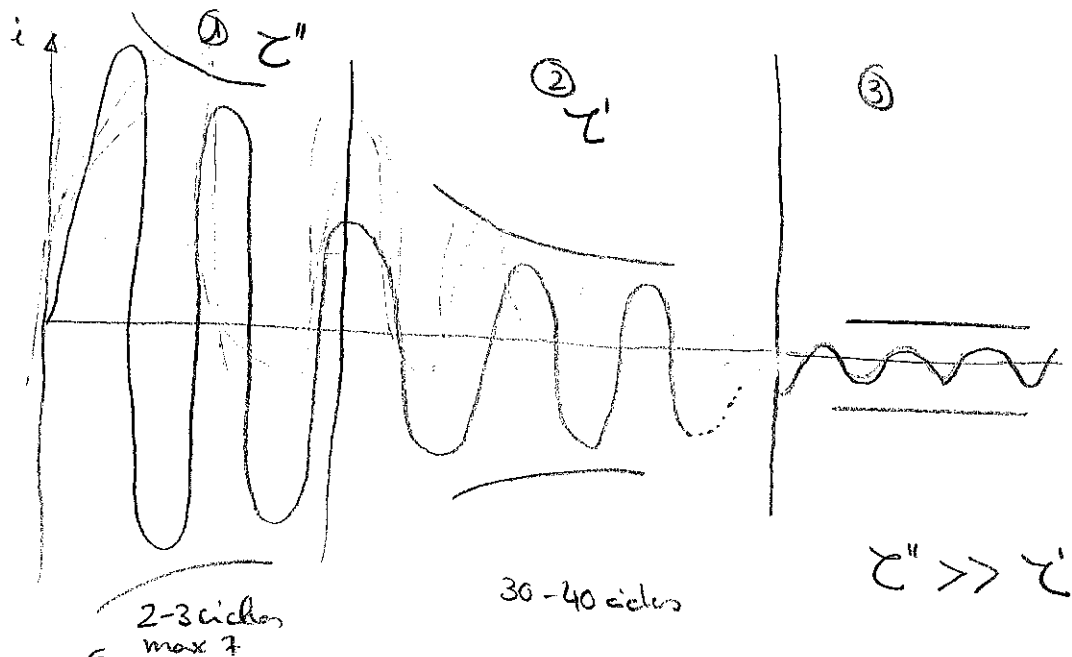
Equivalente de Thévenin.

Esto quiere decir que el equivalente de Thévenin se tiene solo por

una potencia ideal de tensión de impedancia.

Lo normal estover un generador sincrono, con lo que vemos a estudiar el comportamiento de un sistema cuando se as terminales. Se produce en tres fases distintas y cada una de estas fases con una reaccion distinta.

Suponemos que tenemos un osciloscopio en una de las tres fases que hemos caracterizado.



1. intervalo ① (período subtransitorio). en el que la corriente tiene una forma oscilada con una amortiguación exponencial.  $\tau''$ .

2. intervalo ②. la corriente disminuye de forma exponencial por un valor  $i$  por la anterior y se denomina (período transitorio.) este período tiene bastante mas ciclos en cualquier caso al final llegamos al intervalo 3.

3. intervalo ③. período de régimen permanente de corriente que tiene una forma oscilada tipo seno de la ley del Ohm. tiempo que se establece el circuito.

Cada período de una variable con una reactancia característica  $x$ .

$x''$  período subtransitorio

$x'$  período transitorio

$x$  reactancia de régimen permanente o reactancia sincrónica.

representada con un fuente de tensión igual que el 20% como un  
 la fuente es ideal.

tenemos siempre

$$X_d = X$$

$$X_i \cong X''$$

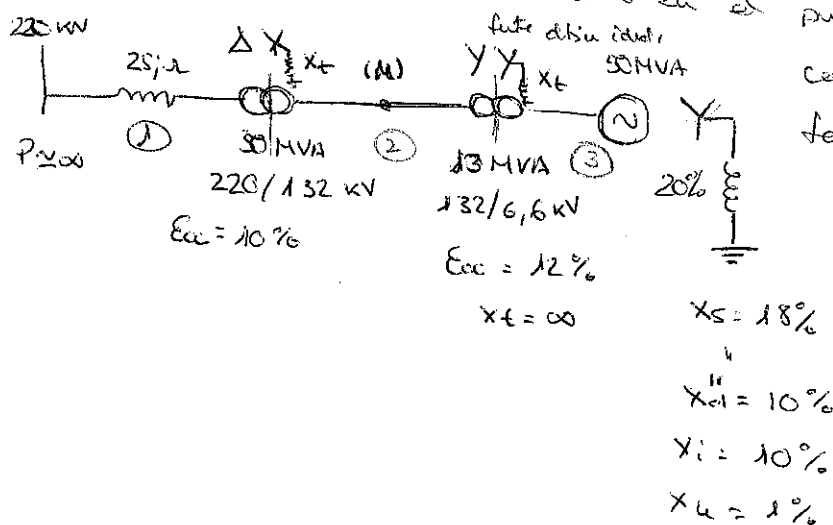
$X_u$  depende del tipo de fallo.

Los mayores valores electrodinámicos, aparece en el punto subtransitorio por  
 los altos efectos de repulsión y atracción, a parte de esto aparece el  
 del coeficiente que en el periodo transitorio depende por durar unos minutos  
 cuando existen riesgos de hacer los devanados como el propio cobre.

Si tenemos una máquina sincrona que no tiene amortiguadores  
 Overfideda y que sus polos sean laminados, no va a ser, en este caso  
 no existe proceso subtransitorio, iniciándose todo el proceso en el periodo  
 transitorio.

### Problema

→ Calcular la potencia de cortocircuito en el punto m, haremos un sistema unitario  
 como base tomamos 10 MVA, cortocircuito  
 fase b en el punto m.



Tenemos 3 fases.

Si el bus es un tipo de paralelo equivale  $X_s$ .

Si el bus es el colector, tenemos subtransitorio  $X''_d$  es  
 la del periodo subtransitorio, si no da un valor como está  
 en el transitorio  $X'_d$

$$S_b = 50 \text{ MV}$$

$$U_{b1} = 220 \text{ kV}$$

$$U_{b2} = 132 \text{ kV}$$

$$U_{b3} = 6,6 \text{ kV}$$

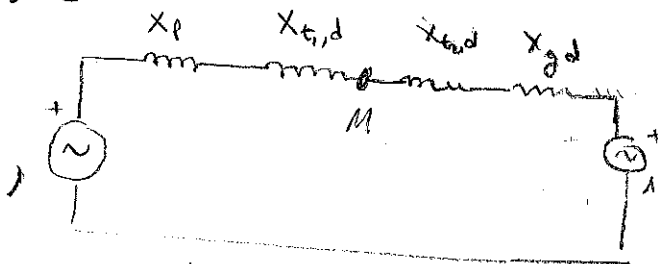
$$Z_{b1} = \frac{U_{b1}^2}{S_b} = \frac{220^2}{50} = 968 \quad \text{solo tenemos impedancia en la zona 1, porque tenemos una reactancia}$$

Calculamos la intensidad base en la zona donde aparece el corto

$$I_{b2} = \frac{S_b}{\sqrt{3} U_b} = \frac{50 \cdot 10^6}{\sqrt{3} \cdot 132 \cdot 10^3} = 219,7 \text{ A}$$

Redes de secuencia

a) S.D



Redes de secuencia indirecta

El valor final tiene que coincidir con la impedancia interna en el punto de la falla en unidades unidas.

$$X_p = \frac{1}{Z_{b1}} \cdot L = \frac{1}{968} \cdot 25j = 0,026$$

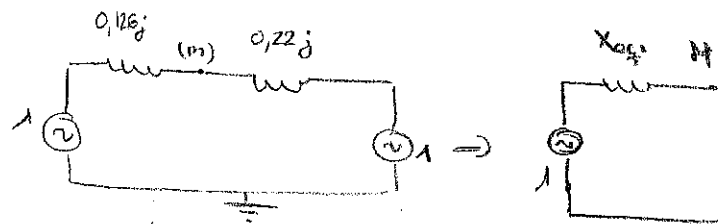
$X_{t1,d} = 0,1$  coincide la potencia nominal del transformador con la base

$$X_{t2,d} = 0,12$$

$X_{gd} = 0,1$  porque coincide con la potencia base de 33 MV.

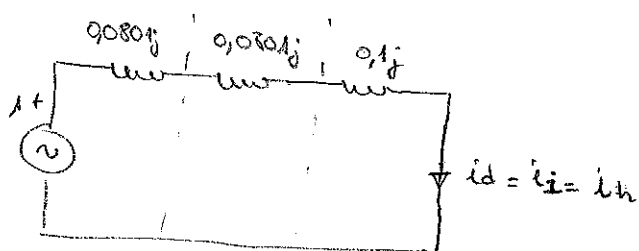
Simplifiquemos el circuito de secuencia directa.

SD



tenemos dos fuentes de tensión en paralelo y dos reactancias en paralelo, simplificamos las fuentes de tensión porque son idénticas, simplificamos a una y agrupamos las impedancias.

$$X_{eq} = \frac{0,126j \cdot 0,22j}{(0,126j + 0,22j)} = 0,0801j$$



la reactancia equivalente de la inversa es la misma que la directa,

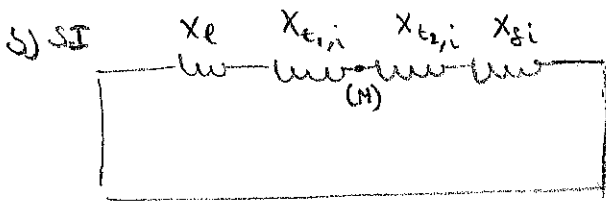
$$i_d = \frac{1 \angle 0^\circ}{0,0801 + 0,0801 + 0,1} = 3,84 \text{ sin unidades.}$$

Corriente de cortocircuito en la fase a

$$i_{cc} = i_a = i_d + i_i + i_h = 3 i_d = 3 \cdot 3,84 = 11,52$$

Corriente de corto en la fase a por la corriente unitaria por la intensidad base en la fase 2

$$I_{cc} = I_a = i_a \cdot I_{b2} = 11,52 \cdot 218,7 = \underline{\underline{2519,42 \text{ A}}}$$

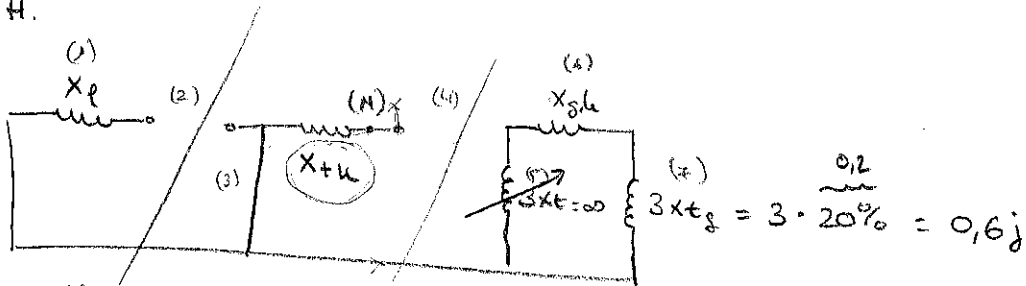


$$X_l = 0,026 \quad X_{gi} = X_i = 0,1$$

$$X_{gi} = 0,1$$

$$X_{t2,i} = 0,12$$

c) S.H.



$$X_l = 0,026$$

(1) (2) (3) (4) (5) (6) (7)

layou a u n'opli, cristo di'orte, segue estrella con pata a tierra fija  
 Nexto sin tierra, pata a tierra de la estrella, imped. base para del paralelo.  
 No vea la imped. de cable a'ien del paralelo.

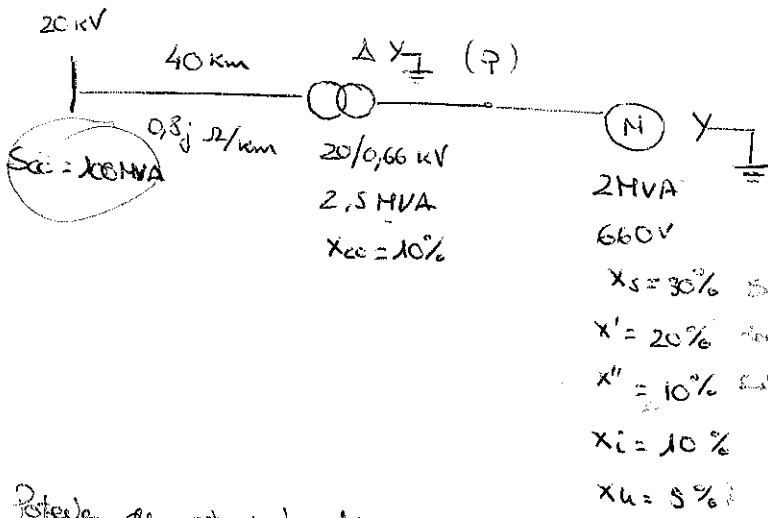
$$X_{gl} = 0,01j = X_u$$

imped. en el pite (u) solo por la react. inductiva de transformador, por  
 lo que hay a la derecha y a la izquierda como si este y no que existiera  
 la imped. del transformador 1  $X_{t,u} = 0,1$

Defecto fase tiene, conectado en serie, mostrar en el examen según  
 los convenciones de defecto.

Problema

Calcular los corrientes de cortocircuito que aparecen en las líneas, tanto en el lado de bajo como en el de alta, frente a un cortocircuito fase tierra en el punto P. Potencia base 2MVA.



$X'' = 10\%$  subtransiente  $\rightarrow$  cogen de del subtransiente porque en cualquier los corriente una de transientes

Redes de cortocircuito finita, lute con hipotesis en serie

\* Durante el corto el valor de corriente cae un poquito, porque se desequilibra los fases y alimenta el cortocircuito

$S_b = 2 \text{ MVA}$

$U_{b1} = 20 \text{ kV}$

$U_{b2} = 0,66 \text{ kV}$

$E_{b1} = \frac{U_{b1}^2}{S_b} = \frac{20^2}{2} = 200 \Omega$

$I_{b1} = \frac{S_b}{\sqrt{3} U_{b1}} = \frac{2 \cdot 10^6}{\sqrt{3} \cdot 20 \cdot 10^3} = 57,74 \text{ A}$

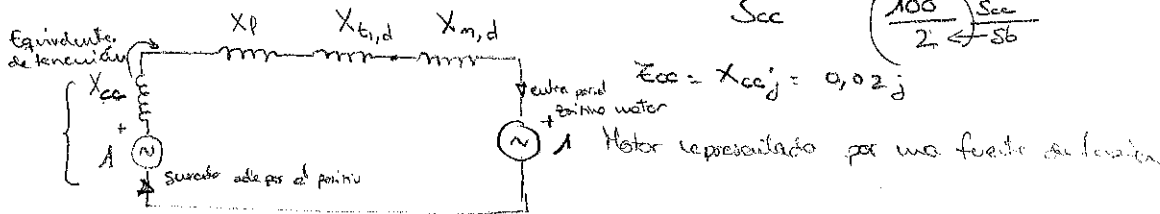
$I_{b2} = \frac{S_b}{\sqrt{3} U_{b2}} = \frac{2 \cdot 10^6}{\sqrt{3} \cdot 0,66 \cdot 10^3} = 1749,55 \text{ A}$

$X_g = X'd \cdot \frac{S_b}{S_n} = \frac{2}{100} = 0,02 \checkmark$

Redes de secuencia

a) R.D.

$X_{cc} = \frac{1}{S_{cc}} = \frac{1}{\left(\frac{100}{2} \leftarrow S_b\right) S_{cc}} = 0,02$



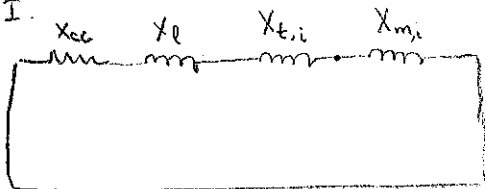
$E_{cc} = X_{cc} j = 0,02 j$   
Motor representado por una fuente de tensión

$X_l = \frac{1}{Z_{b1}} \cdot \omega \cdot L = \frac{1}{2000} \cdot 0,8 j \Omega / \text{km} \cdot 40 \text{ km} = 0,16 j$

$X_{b,d} = E_{cc} \cdot \frac{S_b}{S_n} = 0,1 \cdot \frac{2}{2,5} = 0,08 j$

$X_m = X'' = 0,1$  elegimos la subtransiente, que es durante de produccion los corriente más destructora.

b) S.I.



$Z = impedancia$   
 $X = reactancia$

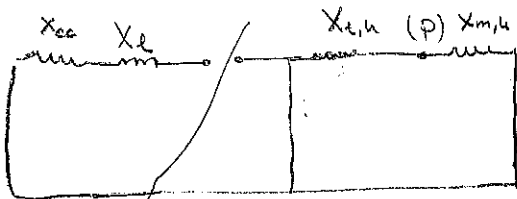
$X_l = 0,16$

$X_{t,i} = 0,08$

$X_{m,i} = 0,1$  coincide los valores numéricos valores base.

$X_{cc} = 0,02$

c) S.H.

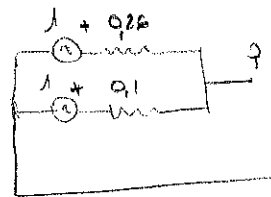
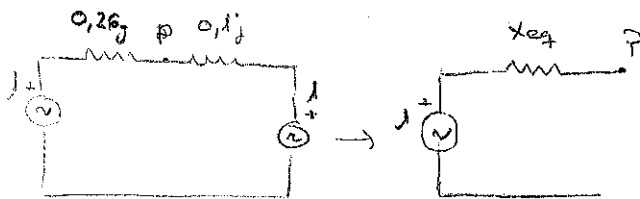


$X_{t,h} = 0,08$  la misma

$X_{m,h} = 0,05$

Si esta corriente se tiene a través de una impedancia  $Z$

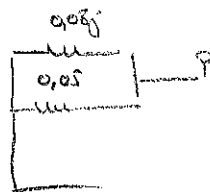
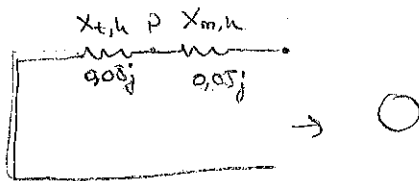
Simplifico el circuito de sucesión directa... dos reactancias en paralelo



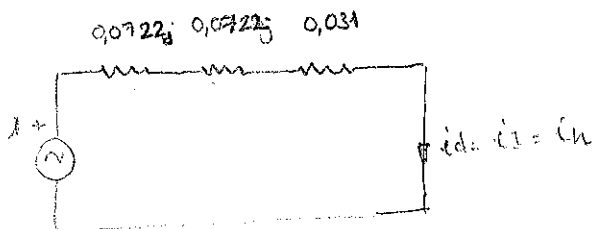
$X_{eq,d} = \frac{0,26 \cdot 0,1}{(0,26 + 0,1)} = 0,0722j$

la inversa igual pero sin fuente.

Simplifico el circuito homopolar de reactancias en paralelo



$X_{eq,h} = \frac{0,08 \cdot 0,05}{(0,08 + 0,05)} = 0,031$



$i_d = \frac{1 \angle 0^\circ}{0,0722 + 0,0722 + 0,031} = 5,70$

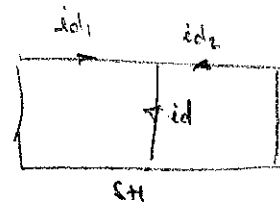
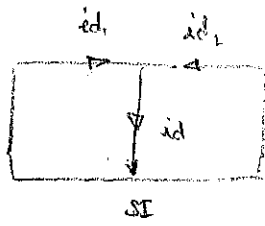
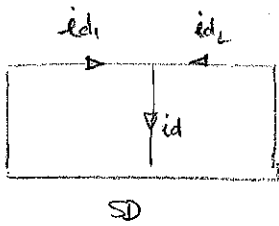
Conecto los circuitos en la base a

$i_{cc} = i_a = i_d + i_i + i_h = 3 i_d = 17,10 \text{ A}$

Corriente de corto en la zona 1 y 2

$$I_{cc} = I_{ca} = i_{ca} \cdot I_{b2} = 17,10 \cdot 1749,55 \text{ A} = 29917,31 \text{ A} \checkmark$$

División de intensidades.



$$SD \left\{ \begin{aligned} i_{d1} &= i_d \frac{X_{m,d}}{X_{m,d} + X_{cc} + X_{\ell} + X_{\ell,d}} = 5,70 \frac{0,1}{0,126} = 1,58 \\ i_{d2} &= i_d \frac{X_{cc} + X_{cc} + X_{\ell,d}}{X_{m,d} + X_{cc} + X_{\ell} + X_{\ell,d}} = 5,70 \frac{0,26}{0,36} = 4,11 \end{aligned} \right.$$

Le damos el resto = a la simonca.

$$SH \left\{ \begin{aligned} i_{d1} &= i_d \frac{X_{m,h}}{X_{m,h} + X_{t,h}} = 5,70 \frac{0,05}{0,08 + 0,08} = 2,19 \\ i_{d2} &= i_d \frac{X_{A_1}}{X_{m,h} + X_{t,h}} = 5,70 \frac{0,08}{0,08 + 0,08} = 3,51 \end{aligned} \right.$$

$$i_{ca1} = i_{d1} + i_{i1} + i_{in1} = 1,58 + 1,58 + 2,19 = 5,35$$

$$i_{ca2} = i_{d2} + i_{i2} + i_{in2} = 4,11 + 4,11 + 3,51 = 11,72$$

$$I_{ca1} = i_{ca1} \cdot I_{b1} = 5,35 \cdot 57,74 \text{ A} = 308,9 \text{ A}$$

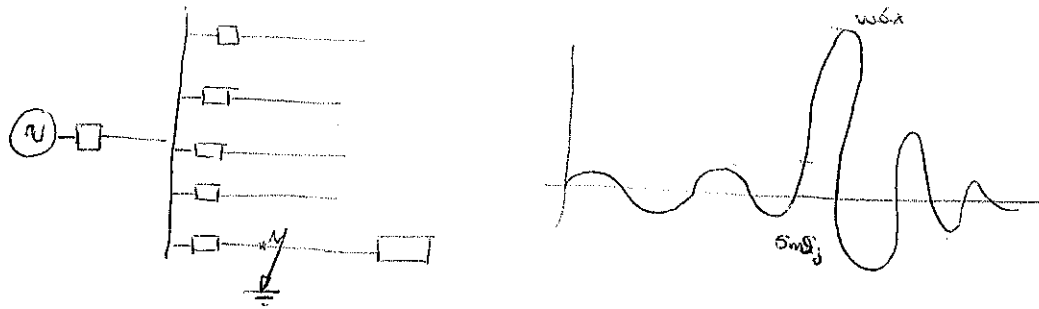
$$I_{ca2} = i_{ca2} \cdot I_{b2} = 11,72 \cdot 1749,55 = 20,56 \text{ kA}$$

Comparamos en magnitudes unitarias con la que contribuye más el vector que la red.

## 7. Técnicas de limitación de corrientes de corto circuito.

a) Desexcitación de generadores: consiste en reducir la corriente continua que estamos introduciendo en la red, disminuir la corriente de excitación. No es detectada de inmediato y precede a esto.

b) Desconexión "rápida"



Una desconexión de los interruptores que se produce de manera y es detectada y acción de que alcanza el valor máximo. No es fácil esta protección no es posible en cable testigo, por la aparición de un arco eléctrico, solo aplicable en bajo testigo.

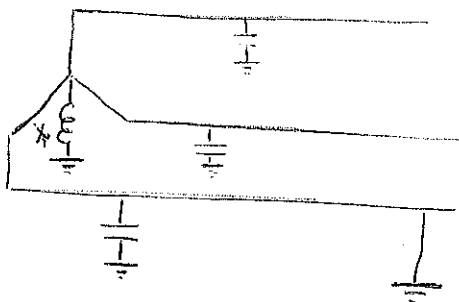
c) Tensiones elevadas: Elevamos la tensión variable para disminuir las pérdidas, en régimen permanente, pero también se utiliza en el corto circuito, con una potencia de cortocircuito elevada a tensión, la tensión alta reduce, tener intensidad de cortocircuito más elevada.

d) Limitación del voltaje: no tener un mayor exceso que de de el punto de vista crítico es bueno, pero si aparece el corto la distancia entre del otro punto y reduce, limitar este mayor.

e) Pérdidas limitadas en corto: aumentando la impedancia consecutiva reducir la corriente de cortocircuito, se evite en des uso. Supone pérdidas de potencia reactiva y en régimen permanente contra las pérdidas

f) Puestas a tierra no rígidas: las transformadoras, motores, generadores, bien, no conectados a tierra y si se conectan, a través de una impedancia elevada. Los neutros están conectados a una impedancia no rígida. Hay un ejemplo cuando aparecen defectos fase-tierra. El sistema es más estable cuando esta impedancia es muy baja con lo que tenemos que bajar a una única entre los días.

g) Puesta a tierra resonante (empleo de una bobina resonante o Petersen):



Presencia no requiere conexión debido a los capacitores presentes y por el corto puede retornar por estos caminos presentes. que pasa en un caso de neutro a tierra. Con la bobina Petersen conectamos el neutro a tierra con una bobina. Diseñemos la bobina adecuada.

$$Z_u = \frac{(3Xp) \left( -\frac{j}{\omega C_u} \right)}{3Xp - \frac{j}{\omega C_u}}$$

Elegimos una bobina, de tal modo que la impedancia equivalente sea infinita, lo conseguimos haciendo que el denominador sea 0

$$Z_u = \infty \Rightarrow 3Xp - \frac{j}{\omega C_u} = 0 \quad 3\omega L_p = \frac{1}{\omega C_u} \rightarrow L_p = \frac{1}{3\omega^2 C_u}$$

Si pongo una bobina de valor  $L_p$  conseguimos cambiar la conexión de falta entre fase y tierra. y al estar conectada a tierra conseguimos que esté de estabilidad a la red.

La inductancia es variable a lo largo del día con lo que está se puede regular. lo conseguimos con una bobina con un núcleo magnético

extraible, que según tengan, una potencia de toma dentro o no una  
de inductancia. Otra técnica, y la más utilizada, conectamos tres o  
cuatro bobinas en paralelo que aceptemos en función de los necesarios.

El inconveniente es que solo vale para ciertos voltajes a  
tierra. Otro problema es que la frecuencia tiene que ser estable, porque si  
apreciamos cambios de impedancia cambia.

## Tema 5

### Introducción a la estabilidad de los sistemas eléctricos.

#### 1. Definiciones

Estabilidad de un sistema eléctrico es la capacidad de alcanzar un nuevo punto de equilibrio hasta el punto de equilibrio estable original tras estar sometido a una perturbación.

Potencia eléctrica de generación = potencia eléctrica consumida y pueda estar indefinidamente.

Ante una perturbación (aumento en la generación, cortocircuito, pérdida de línea, que ocasiona un...

- 1) la perturbación no es muy grande y vuelve a su posición de equilibrio original.
- 2) la perturbación es más intensa y cambia la situación a otro distinto de la original de equilibrio.
- 3) la perturbación lleva al sistema a una situación inestable, y no se puede remediar con la red y el sistema se desconecta.

#### Tipos de estabilidad

##### a) Estabilidad de ángulo

- Estabilidad estática (en régimen permanente)
- Estabilidad transitoria
- Estabilidad dinámica

##### b) Estabilidad de tensión.

a) Capacidad de los generadores síncronos para seguir funcionando en síncronismo tras una perturbación.

Estabilidad estática: predisposición de los generadores tras perturbaciones muy pequeñas y parciales producidas en el funcionamiento normal del sistema.

Estabilidad transitoria: mayores perturbaciones, en rapidez e intensidad, no se tiene en cuenta los equipos de regulación de los máquinas síncronas, es decir, la potencia mecánica del generador, y la excitación permanecen constantes.

Estabilidad Dinámica: intervalos muy largos tras una perturbación importante, y acción los reguladores del generador.

Regulador de admisión  $\rightarrow$  potencia activa.

Regulador de excitación  $\rightarrow$  actuación sobre la excitación (C.C.)

Potencia reactiva.

b) Es muy relevante ya que se trata de tener los valores eficaces de los tensiones de los nodos del sistema dentro de unos límites aceptables tras la aparición de una perturbación.

Los rales de distribución tienen regulación en carga.

## Tema 6

### Protecciones de los sistemas eléctricos.

#### 1. Introducción

Las protecciones son frente a perturbaciones que se clasifican en 4 grupos:

- Variación de  $i$   $\Delta i$
  - Variación de  $u$   $\Delta u$
  - desequilibrios
  - variación de la frecuencia  $\Delta f$
- a) Intensidades que circulan por el sistema, pueden ser inferiores a la nominal o superior a la nominal, subintensidad e sobrintensidad. Los sobrintensidades son debidos a sobrecargas o a cortos circuitos.

#### Sobrecargas:

- Sobrintensidades menores al 5-15% del valor nominal.
- Menos efectos electrodinámicos.
- Le producen una pérdida por la difícil localización.
- Equipos sobre calentados.
- Riesgo de incendio.

#### Cortocircuito

- Intensidades mucho mayores al valor nominal.
- Datas grandes.
- Rápida detección de sobrintensidades.
- Los equipos han de estar diseñados para aguantar la elevada corriente.
- Efecto electrodinámicos muy importantes

b) Variaciones de tensión por encima o por debajo del valor nominal.

Sobre tensiones (Perforación del aislamiento y cortocircuito)

Sub tensiones Aumento de intensidad y precio del equipo.

c) En sistemas industriales, trifásicos se producen raramente desequilibrios por causas diversas.

Sistema  $\rightarrow$  secuencia directa.

Sistemas desequilibrados  $\rightarrow$  secuencia directa

Secuencia inversa (inversión de fase)

Secuencia homopolar (calentamiento).

d) variación de frecuencia, son muy raras (en instalaciones industriales como isla)

Sobrefrecuencia  $> 55 \text{ Hz}$

- los generadores se aceleran
- se van de ante los cargas.

Subfrecuencia  $< 45 \text{ Hz}$

- los generadores se ralentizan
- se van de ante el nivel de generadores.

## 2: Protección

Definición:

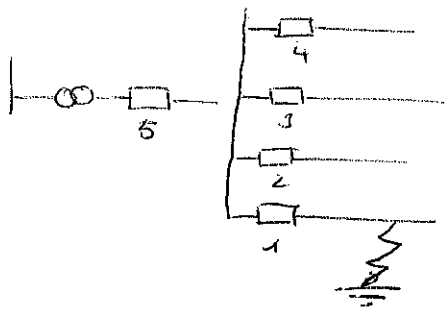
a) Protección: conjunto de dispositivos, destinado a prevenir o detectar estados anómalos de funcionamiento y según a iniciar acciones correctivas para devolver el sistema a su estado normal lo antes posible.

b) Características:

Fiabilidad: hace referencia a la probabilidad de que va a actuar en caso necesario.

Sensibilidad: variación de la magnitud que se está protegiendo o a la menor variación de la magnitud controlada que es capaz de detectar.

selectividad: (muy importante) la capacidad del sistema de protección para detectar una falta en la zona del sistema que se está protegiendo y eliminarla mediante la apertura del único interruptor posible de interruptores, ocasionando una perturbación mínima para el resto de la instalación.



Sólo se debe de activar el interruptor "1"

Rápidez de actuación:

- Se le da prioridad a la actuación.

- Zona de actuación.

- Actuación sobre el interruptor automático:

• Protecciones adelantadas, de alta velocidad, cortan la sobreintensidad antes de que alcance el nivel máximo, etc. en BT.

• Protecciones instantáneas: comienza su actuación tan pronto como detectan la anomalía.

• Retardadas: se introduce voluntariamente un tiempo de retardo a su actuación.

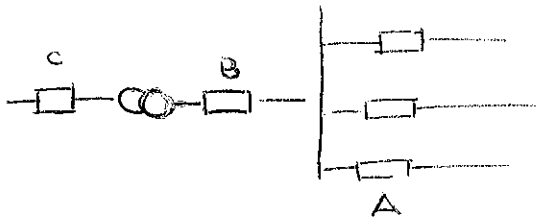
c) Zonas de protección:

Distintas zonas en las que se divide un sistema eléctrico en función del sistema de protección responsable de cada zona.

Están delimitadas por un lado por los equipos encargados de tener las magnitudes eléctricas, (transformadores de medida) y por otro lado el propio interruptor automático sobre el que actúa la protección.

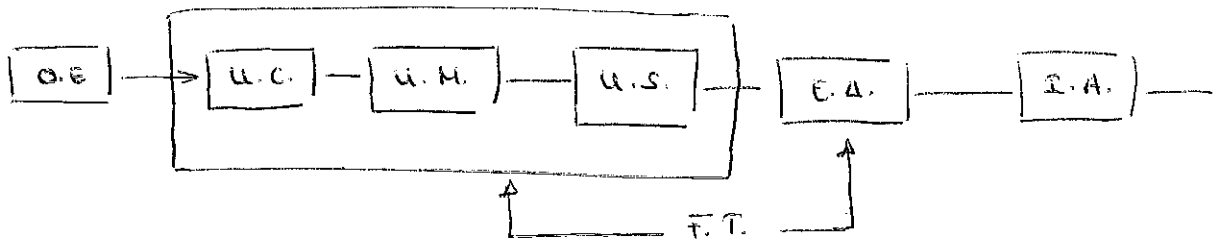
- Todos los elementos de un sistema eléctrico han de tener fôrta de al menos una zona de protección.
- las zonas de protección se adaptan.

d) Protecciones principales (A) y de respaldo (B y C) que actúan ante un fallo en la principal.



### 3. Relés de protección

Sistema de protección



O.E. Órgano de entradas: capta los magnitudes eléctricas ( $V$  e  $I$ ) para introducirlos en el relé de protección. Trates de ( $V$  e  $I$ )

U.C. Unidad convertidora: no siempre es necesario. Si existe es para adaptar las magnitudes del trató de medida a los requerimientos del siguiente bloque.

U.M. Unidad de medida: se toma la decisión de actuar o no.

U.S. Unidad de salida: convierte una onda lógica en una magnitud eléctrica adecuada de actuar sobre los contactos del interruptor automático.

E.A. Elementos auxiliares: no siempre existen, a activación es múltiple; aumentan la señal de la U.S.; señalar que el interruptor se activó.

I.A. Interruptor automático.

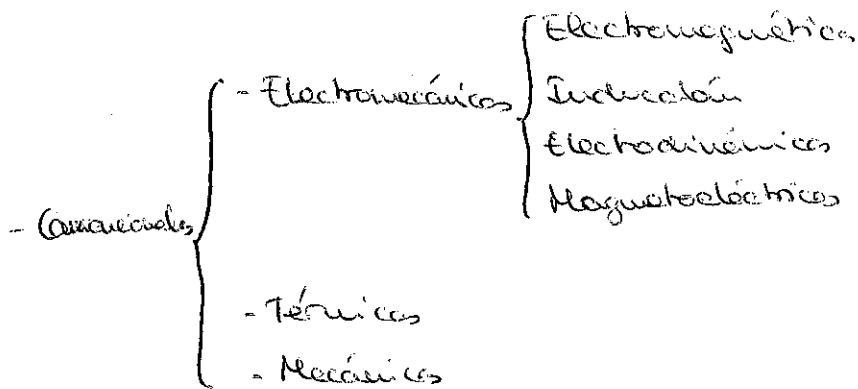
F.T. Fuente auxiliar de tensión: garantiza la alimentación.

## 4. Clasificación

a) según la función de protección que realizan.

- Amperímetros } 1 magnitud
- Voltímetros }
- Diferenciales } comparación de voltajes.
- Watímetros } Producto de dos magnitudes.
- Direccionales } diferencia, comparación de tens.
- De distancia
- De impedancia } Cociente entre 2 magnitudes.

b) Según la tecnología como están fabricados.



- Electrónicas

- Numéricas (Por ordenador): un mismo equipo puede realizar distintas funciones de protección, substituyendo a varios protectores convencionales.

c) Según el modo de actuación.

- Medida: actúan cuando la magnitud que está midiendo sobrepasa un determinado valor (amperimétrica, voltimétrica)
- Tercer o cuarto: actúan cuando existe o no un determinado magnitud (cuando existe una diferencia entre los armónicos de dos magnitudes).

d) Por el tiempo de funcionamiento.

- Instantáneos: En cuanto se detecta, la señal actúa.
- Retardados o diferidos:
  - Retardo independiente, con el mismo retardo independiente de la magnitud.
  - Retardo dependiente: el tiempo de retardo depende de la magnitud de la señal.

e) Por la forma de funcionamiento: si se actúa directamente sobre los contactos o se hace previamente sobre un equipo PNB (auxiliares).

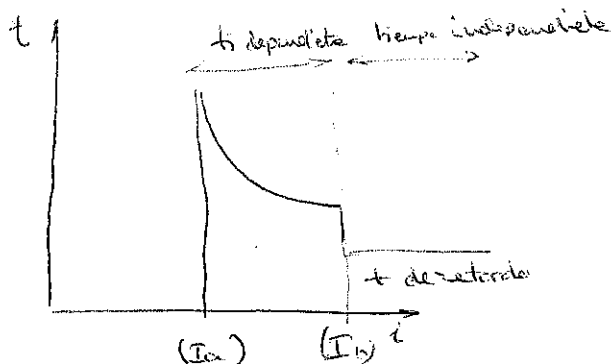
Primarios  
Secundarios.

f) Según la forma de conexión a la red

- De conexión directa  $\rightarrow$  conectados a la red directamente, no hay tramos de medida (En instalaciones de BT).
- De conexión indirecta  $\rightarrow$  conectados a la red a través de tramos de medida.

5. Protección de sobrecorrientes o asimétricas.

Depú el tiempo de actuación: tiempo independiente y dependiente.

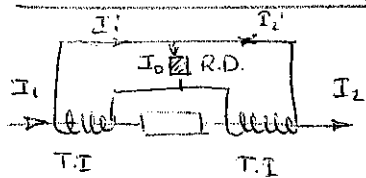


$I_b$  marca la frontera entre tiempo dependiente e independiente.

$I_a$  Por debajo no actúa la protección, intensidad nominal o corriente de arranque.

se puede ajustar todos los parámetros  $I_a$ ,  $I_b$ , tiempo de retardo, y la curva.

## 6. Protección diferencial

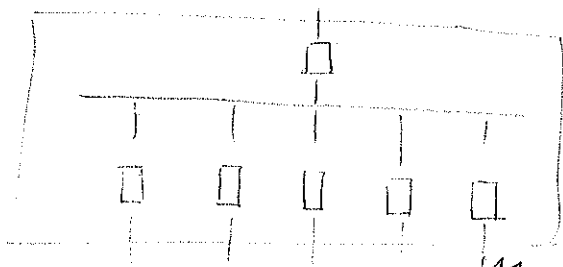


Protege a los pozos lateral es de B.T. en los de alta siempre una protección instantánea

mejora la intensidad a la subred, la intensidad a la salida, por medio de un hardware de sistemas, y conecta el sistema del momento de la intensidad al cable diferencial. Está accionado por la intensidad diferencial

$I_d$ ,  $I_1'$  e  $I_2'$  son los valores que pasan por  $I_1$  e  $I_2$ , si los hay delante  $I_1$  o  $I_2$  son iguales por lo tanto  $I_d = I_1' - I_2' = 0$ .

Presencia práctica importante que existe protección un juego de barras. Comprova la intensidad de entrada y la de salida, detectando



La cual es el juego de barras, sobre la protección instantánea, en la práctica, al trabajar con un hardware de medida, por cambiar el modo ferromagnético desde un subred magnética, ante un modo común en el mismo, como lo usamos por fabricación del medio, tienen distintas forma de subredes, con lo que tiene distintos recursos distintos, y al tener estos cables se van a distinguir y producirse un fallo fuera de la zona protegida ante el diferencial. Se consigue en los cables analógicos, como el problema viene en la transferencia de intensidad sin cables magnéticos, que tiene un problema que lo cambia siendo con muy pequeños como que se tienen que conectar en serie los corrientes, además tenemos que conectar un bobina de frenado que presenta un po del frenado por autojuntado al promover de la bobina que actúa cuando el po de la bobina sea mayor al de frenado.

$$M_m \propto I_1' - I_2'$$

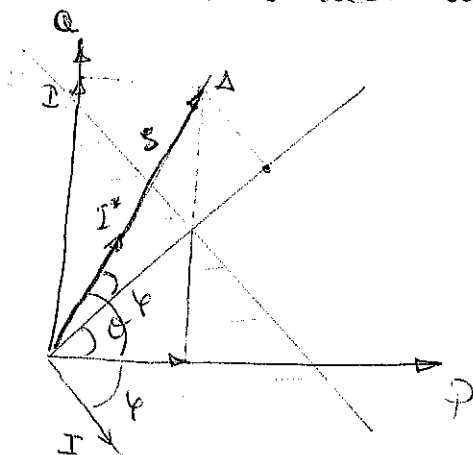
$$M_f \propto I_1' + I_2'$$

$$M_m > M_f$$

La selección actual de los rielos número, uso, intensidad, de intensidad económica, con sólo respecto, compare la señal de entre de los rielos  $I_1'$  e  $I_2'$  y los compare con la de los rielos sobre pose a la zona es un caso activo.

### I. Protección valométrica y direccional.

La protección valométrica activa cuando el producto de tensión e intensidad, es decir un producto.



$$S = U \times I^*$$

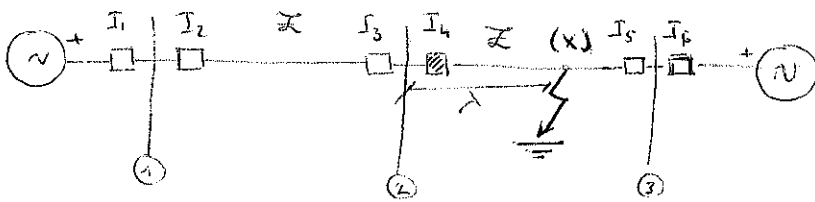
Un caso de un plano de referencia, que proyecta el punto de funcionamiento sobre la perpendicular al plano de referencia, y a veces sea  $U \cdot I \cos(\varphi - \theta)$  cuando la proyección está fuera del plano de referencia es un caso de activación. En este caso los elementos fuera del plano, por tanto sea a activar, vale a tener un activación cuando:

$$U \cdot I \cos(\varphi - \theta) > M_a$$

Cuando el producto es positivo al ser contrario al riel activo. Pedidos ajetos al campo del riel y al ser contrario, que es el plano.

Cuando pasen el plano en el origen, estenos protegidos  
 contra una inversión de la potencia cuando que cesen  
 una protección direccional. El por antepuesto es un b. protección en  
 desfase entre la intensidad y la tensión. Proteja contra cambios en dirección  
 de la corriente, cambios en el ángulo en la corriente respecto de la  
 de referencia.

### 8. Protección de impedancia



Cada uno de los interruptes tiene asociados sus protecciones, protección  
 de dirección, volúmica... Vamos a estudiar por la protección que  
 este implementada por el interrupter  $I_4$ .

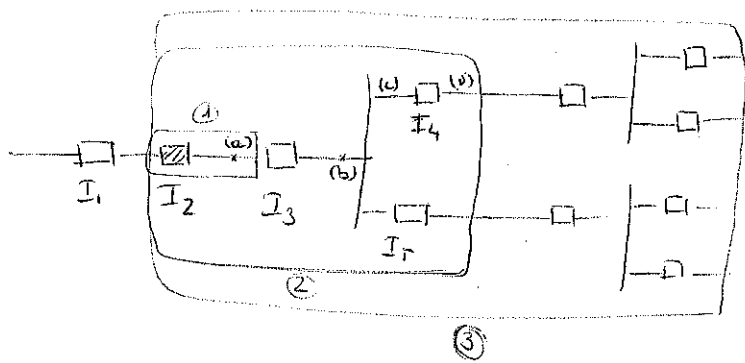
Ventajas sobre la protección de sobre intensidad, aparece que  
 en un punto (x) aparece un cortocircito a tierra. Cuando el cortocito  
 entre la tensión e intensidad que van unido se van entre los  
 centros.

$$\frac{U_2}{I_{23}} \quad \text{y es más sensible que los de intensidad.}$$

$$\frac{U_2}{I_{23}} = \lambda \cdot Z, \quad \text{nos mide la impedancia del tramo de línea afectada}$$

Por el cortocircito. Por esto se le llama también protección de distancia,  
 porque nos está dando la distancia, por eso se dice que se la  
 produce la falta sino en que punto.

El alcance del relé se denomina, a la longitud de línea que  
 está protegiendo, el alcance nunca supera el 80% de la línea,  
 Por ende de ella no actúa.



Inicialmente abre el interruptor  $I_2$  tres protecciones de distancia con tres distancias de actuación distinta.

El primer relé tiene un 80% de alcance de la línea, un segundo relé que tiene un alcance mayor y un tercero con un alcance aún mayor.

El primer relé, es la protección principal del interruptor  $I_2$  y opera en actuación instantánea.

Consideremos tres puntos, (b), (c) y (d), si nos hipotetizamos electricamente hablando los puntos son ~~tres~~ el mismo, porque no hay impedancia entre ellos, pasa en tramos del embudo y el interruptor que se comportan como un solo, por lo tanto si el alcance de relé 1 es vez del 80% fuese del 100%, en este caso el punto (d) el relé  $I_1$  lo consideramos dentro de su zona de actuación y actúa instantáneamente, y quien debería de actuar sería  $I_4$ , porque  $I_2$  opera sin suministro a dote de los embudos unificados.

Cualquier falla en la zona 2 lleva una actuación instantánea de un 300 ms y el proteccion 600 ms, pero la zona 3, la acción es en cascada.

$$Z_{cc} = E_{cc} \cdot \frac{U_{nL}^2}{S_n} = 0,1 \cdot \frac{(11 \cdot 10^3)^2}{25 \cdot 10^6} = 0,484 \Omega \quad \text{para directa e indirecta}$$

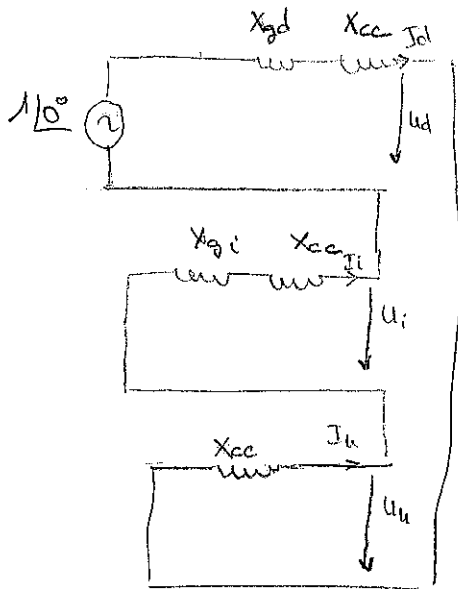
$$X_{gd} = 0,2 \cdot \frac{37,5}{37,5} = 0,2 \Omega \checkmark$$

$$X_{gi} = 0,15 \cdot \frac{37,5}{37,5} = 0,15 \Omega$$

$$X_{gu} = 0,05 \cdot \frac{37,5}{37,5} = 0,05 \Omega$$

$$3Z_{cp} + Z_{cc} =$$

a) Secuencia directa



$$i_d = \frac{1}{\sum Z_d} = \frac{1}{0,2 + 0,484} = 1,46 \text{ A}$$

$$i_i = \frac{1}{\sum Z_i} = \frac{1}{0,15 + 0,484} = 1,58 \text{ A}$$

$$i_u = \frac{1}{\sum Z_u} = \frac{1}{0,484} = 2,07 \text{ A}$$



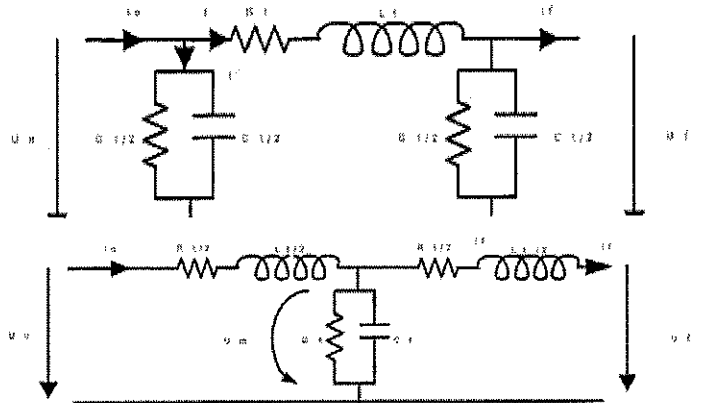
## MODELOS DE LÍNEAS

### Modelo en $\pi$ [ $\Omega$ ]

$$\begin{aligned} U_0 &= \left( 1 + \frac{Z_t Y_t}{2} \right) Z_t \cdot U_f \\ I_0 &= \left( Y_t + \frac{Z_t Y_t^2}{4} \right) \left( 1 + \frac{Z_t Y_t}{2} \right) \cdot I_f \end{aligned}$$

### Modelo en T [ $\Omega$ ]

$$\begin{aligned} U_0 &= \left( 1 + \frac{Z_t Y_t}{2} \right) Z_t + \frac{Y_t Z_t^2}{4} \cdot U_f \\ I_0 &= Y_t \left( 1 + \frac{Z_t Y_t}{2} \right) \cdot I_f \end{aligned}$$



### Modelo de parámetros distribuidos

$$\begin{aligned} U_0 &= \cosh(\gamma x) Z_c \sinh(\gamma x) \cdot U_f \\ I_0 &= Y_c \sinh(\gamma x) \cosh(\gamma x) \cdot I_f \end{aligned}$$

$$Z_c = \sqrt{\frac{Z}{Y}} \quad Z_c \rightarrow \text{impedancia característica } [\Omega/\text{Km}]$$

$$Y_c = \frac{1}{Z_c} = \sqrt{\frac{Y}{Z}} \quad Y_c \rightarrow \text{admitancia característica } [\Omega/\text{Km}]$$

$$\gamma = \gamma_1 + j\gamma_2 = \sqrt{ZY} \quad \gamma \rightarrow \text{Constante de propagación } [\Omega/\text{Km}]$$

$$\theta = \gamma x = \theta_1 + j\theta_2 \quad \theta \rightarrow \text{ángulo característico } [\Omega]$$

$$v = \frac{1}{\sqrt{LC}} \quad v \rightarrow \text{velocidad de propagación de la onda } [\text{Km/s}]$$

$$\lambda = \frac{v}{f} = \frac{2\pi}{\gamma_2} \quad \lambda \rightarrow \text{longitud de onda } [\text{Km}]$$

$$\text{Cosh}\theta = \cosh(\theta_1) \cdot \cos(\theta_2) + j \cdot \sinh(\theta_1) \cdot \text{sen}(\theta_2)$$

$$\text{Senh}\theta = \sinh(\theta_1) \cdot \cos(\theta_2) + j \cdot \cosh(\theta_1) \cdot \text{sen}(\theta_2)$$

## COMPONENTES SIMÉTRICAS

$$\begin{aligned} u_a &= 1 \quad 1 \quad 1 \quad u_h \\ u_b &= 1 \quad a^2 \quad a \quad u_d \\ u_c &= 1 \quad a \quad a^2 \quad u_i \\ \{U_a\} &= [A] \{U_{c.s.}\} \end{aligned}$$

$$\begin{aligned} u_h &= 1 \quad 1 \quad 1 \quad u_a \\ u_d &= \frac{1}{3} \quad 1 \quad a \quad a^2 \quad u_b \\ u_i &= 1 \quad a^2 \quad a \quad u_c \\ \{U_{c.s.}\} &= [A]^{-1} \{U_a\} \end{aligned}$$

### Impedancias de secuencia

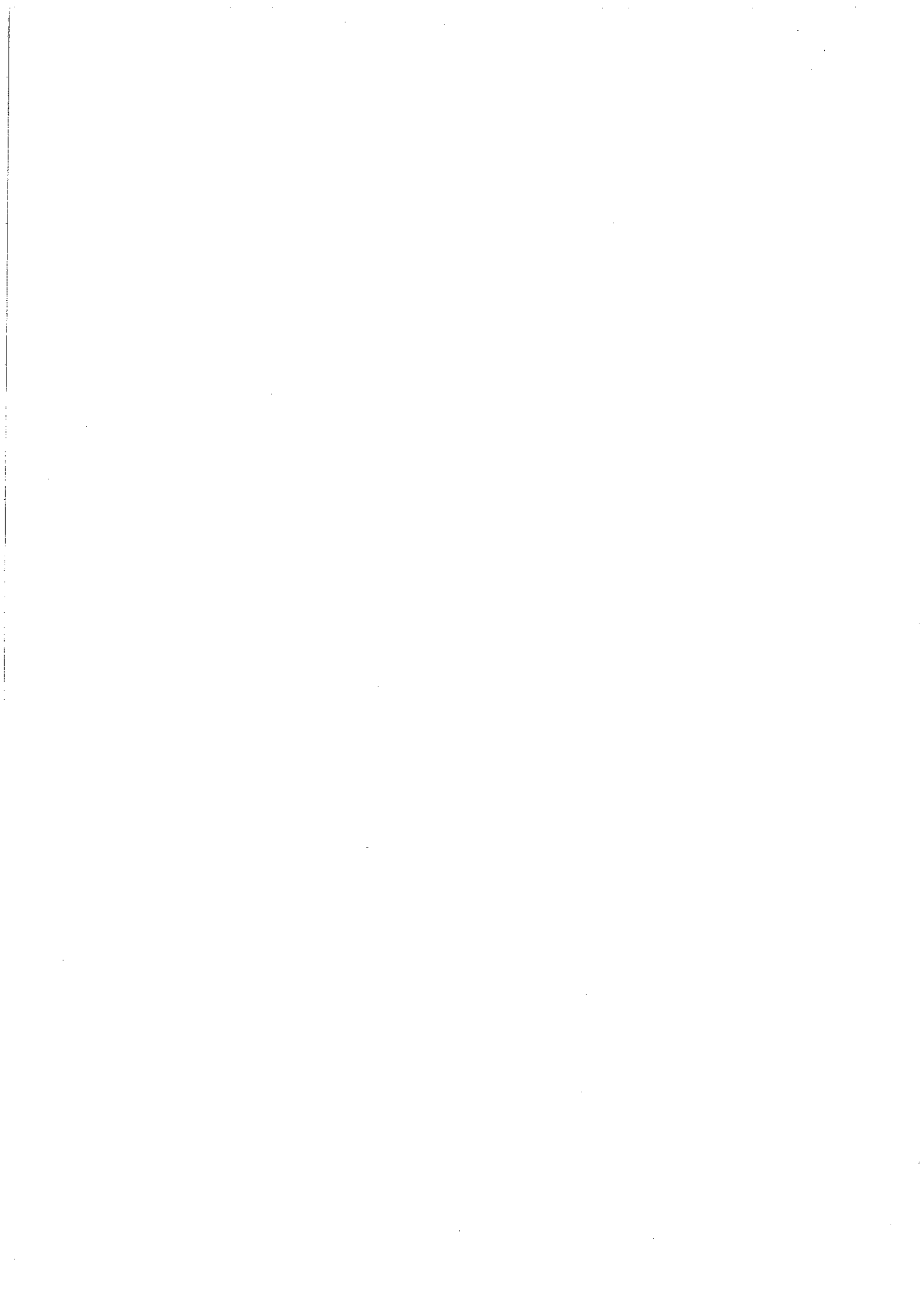
a) carga estática:  $Z_d = Z_i = Z_h = Z_{cc}$

b) línea equilibrada:  $Z_d = Z_i = Z_s - Z_m \quad Z_h = Z_s - 2Z_m \rightarrow Z_m \downarrow \downarrow$   
 $Z_d = Z_i = Z_h$

c) Transformadores

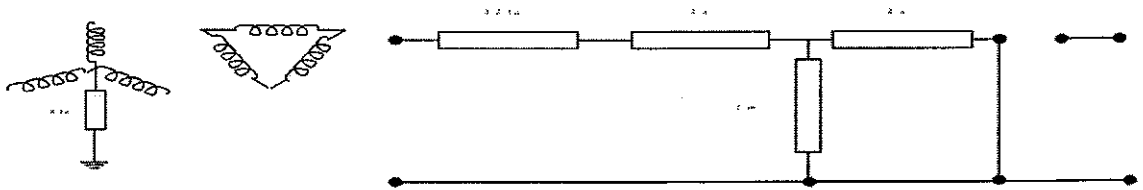
- Banco 3 trafos monofásicos:  $Z_d = Z_i = Z_h = Z_{cc}$

- Trafo de 5 columnas:  $Z_d = Z_i = Z_h \approx Z_{cc}$

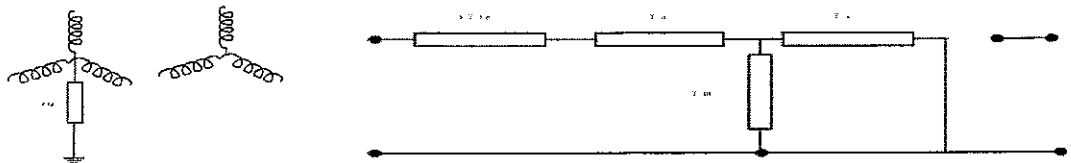


• *Trafo de 3 columnas:*

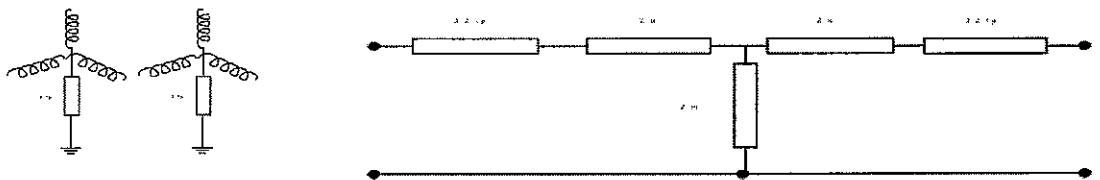
○ *Conexión estrella (neutro a tierra) – triángulo*



○ *Conexión estrella (neutro a tierra) – estrella*



○ *Conexión estrella- estrella (neutros a tierra)*



d) *Generador síncrono*

- *Reactancia subtransitoria:*  $X'' = X_i$
- *Reactancia transitoria:*  $X' \rightarrow$  ensayo de la máquina
- *Reactancia síncrona:*  $X_s = X_d$

**ESTABILIDAD**

*Transito de potencia en una línea inductiva pura*

$$S = P + Q \cdot j = \frac{E \cdot U}{X} \operatorname{sen}(\delta) + \frac{E \cdot U}{X} \cos(\delta) - \frac{U^2}{X}$$

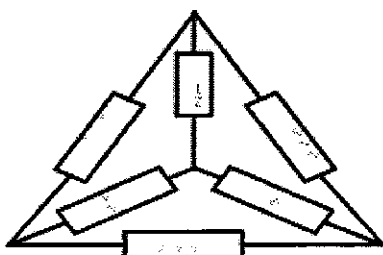
E  $\rightarrow$  f.e.m del generador

U  $\rightarrow$  tensión en el nudo de carga

X  $\rightarrow$  reactancia de la línea

$\delta \rightarrow$  diferencia de ángulos entre las tensiones E y U

*Conversiones*



Paso de  $\Delta$  a Y

$$Z_1 = \frac{Z_{12} \cdot Z_{13}}{Z_{12} + Z_{13} + Z_{23}}$$

$$Z_2 = \frac{Z_{12} \cdot Z_{23}}{Z_{12} + Z_{13} + Z_{23}}$$

$$Z_3 = \frac{Z_{13} \cdot Z_{23}}{Z_{12} + Z_{13} + Z_{23}}$$

Paso de  $\Delta$  a Y

$$Z_{12} = Z_1 + Z_2 + \frac{Z_1 \cdot Z_2}{Z_3}$$

$$Z_{13} = Z_1 + Z_3 + \frac{Z_1 \cdot Z_3}{Z_2}$$

$$Z_{23} = Z_2 + Z_3 + \frac{Z_2 \cdot Z_3}{Z_1}$$

